

بِسْمِ اللَّهِ الرَّحْمَنِ الرَّحِيمِ



دانشکده مهندسی برق و رباتیک

پایان نامه کارشناسی ارشد مهندسی کنترل

کنترل فازی تطبیقی برای سیستم گوی و میله

نگارنده : فراز رهبر

استاد راهنما :

دکتر علی اکبرزاده کلات

بهمن ۱۳۹۵

دانشگاه صنعتی شاهرود

دانشکده : مهندسی برق و رباتیک گروه : کنترل

پایان نامه کارشناسی ارشد آقای / خانمفراز رهبر.....
تحت عنوان: کنترل فازی تطبیقی سیستم گوی و میله

در تاریخ توسط کمیته تخصصی زیر جهت اخذ مدرک کارشناسی ارشد
ارزیابی و با درجه مورد پذیرش قرار گرفت.
مورد

امضاء	اساتید مشاور	امضاء	اساتید راهنما
	نام و نام خانوادگی :		نام و نام خانوادگی :
	نام و نام خانوادگی :		نام و نام خانوادگی :

امضاء	نماینده تحصیلات تکمیلی	امضاء	اساتید داور
	نام و نام خانوادگی :		نام و نام خانوادگی :
			نام و نام خانوادگی :
			نام و نام خانوادگی :
			نام و نام خانوادگی :

تقدیم به:

تقدیم به پدر و مادر عزیزم

خدای را بسی شاکرم که از روی کرم پدر و مادری فداکار نصیبم ساخته تا در سایه درخت پر بار وجودشان بیاسایم و از ریشه آنها شاخ و برگ گیرم و از سایه وجودشان در راه کسب علم و دانش تلاش نمایم . والدینی که بودنشان تاج افتخاری است بر سرم و نامشان دلیلی است بر بودنم چرا که این دو وجود پس از پروردگار مایه هستی ام بوده اند دستم را گرفتند و راه رفتن را در این وادی زندگی پر از فراز و نشیب آموختند.

آموزگارانی که برایم زندگی؛ بودن و انسان بودن را معنا کردند

حال این برگ سبزی است تحفه درویش تقدیم آنان....

تشکر و قدردانی:

از استاد بزرگوام جناب آقای دکتر علی اکبرزاده کلات که در طی تحصیل و انجام این پایان نامه زحمات فراوانی را بدون کوچکترین انتظاری برای بنده کشیده و با صبر فراوان من را در انجام اهداف پایان نامه یاری کردند، کمال تشکر را دارم. از اساتید محترمی که دعوت داوری این پایان نامه را پذیرفتند نیز بسیار سپاسگزارم.

تعهد نامه

اینجانبفراز رهبر دانشجوی دوره کارشناسی ارشد رشتهمهندسی برق گرایش کنترل..... دانشکدهمهندسی برق و رباتیک..... دانشگاه صنعتی شاهرود نویسنده پایان نامه کنترل فازی برای تطبیقی سیستم گوی و میله..... تحت راهنمایی.....دکتر علی اکبر زاده کلات.....متعهد می شوم .

- تحقیقات در این پایان نامه توسط اینجانب انجام شده است و از صحت و اصالت برخوردار است .
- در استفاده از نتایج پژوهشهای محققان دیگر به مرجع مورد استفاده استناد شده است .
- مطالب مندرج در پایان نامه تاکنون توسط خود یا فرد دیگری برای دریافت هیچ نوع مدرک یا امتیازی در هیچ جا ارائه نشده است .
- کلیه حقوق معنوی این اثر متعلق به دانشگاه صنعتی شاهرود می باشد و مقالات مستخرج با نام « دانشگاه صنعتی شاهرود » و یا « Shahrood University of Technology » به چاپ خواهد رسید .
- حقوق معنوی تمام افرادی که در به دست آمدن نتایج اصلی پایان نامه تأثیرگذار بوده اند در مقالات مستخرج از پایان نامه رعایت می گردد.
- در کلیه مراحل انجام این پایان نامه ، در مواردی که از موجود زنده (یا بافتهای آنها) استفاده شده است ضوابط و اصول اخلاقی رعایت شده است .
- در کلیه مراحل انجام این پایان نامه، در مواردی که به حوزه اطلاعات شخصی افراد دسترسی یافته یا استفاده شده است اصل رازداری ، ضوابط و اصول اخلاق انسانی رعایت شده است .

تاریخ

امضای دانشجو

مالکیت نتایج و حق نشر

- کلیه حقوق معنوی این اثر و محصولات آن (مقالات مستخرج ، کتاب ، برنامه های رایانه ای ، نرم افزار ها و تجهیزات ساخته شده است) متعلق به دانشگاه صنعتی شاهرود می باشد . این مطلب باید به نحو مقتضی در تولیدات علمی مربوطه ذکر شود .
- استفاده از اطلاعات و نتایج موجود در پایان نامه بدون ذکر مرجع مجاز نمی باشد.

* متن این صفحه نیز باید در ابتدای نسخه های تکثیر شده پایان نامه وجود داشته باشد .

چکیده

در این پایان‌نامه، کنترل کننده پسگام فازی تطبیقی به دو روش مستقیم و غیرمستقیم برای سیستم گوی و میله با استفاده از فیدبک خروجی ارائه شده است. بدین ترتیب که ابتدا یک مشاهده‌گر سرعت برای سیستم طراحی شده و سپس با استفاده از تخمین حالت‌های سیستم، کنترل پسگام فازی تطبیقی به انجام می‌رسد. از آنجایی که مدلسازی سیستم‌های فیزیکی همواره با عدم قطعیت همراه است و همچنین کنترل کننده طراحی شده به روش پسگام نیازمند اطلاعات دینامیکی سیستم می‌باشد، می‌بایست از یک سیستم فازی با مکانیزم تطبیق برای تخمین دینامیک‌های سیستم استفاده شود. به همین دلیل در ادامه با استفاده از حالت‌های تخمین زده شده، کنترل کننده پسگام فازی تطبیقی مستقیم و پسگام فازی تطبیقی غیرمستقیم برای سیستم گوی و میله ارائه می‌شود. همچنین پایداری مشاهده‌گر و کنترل کننده‌های ارائه شده، توسط تئوری لیاپانوف نشان داده می‌شود. نتایج شبیه‌سازی نشان از عملکرد مناسب مشاهده‌گر و همچنین کنترل کننده‌های طراحی شده برای سیستم گوی و میله دارد. همچنین برای نشان دادن سرعت و دقت کنترل کننده، نتایج روش ارائه شده با یک روش موجود مقایسه شده که نتایج نشان از عملکرد بهتر کنترل کننده ارائه شده از نظر سرعت و دقت می‌باشد.

کلمات کلیدی: سیستم گوی و میله، مشاهده‌گر سرعت، کنترل فازی تطبیقی، کنترل پسگام

فهرست مطالب

۱	فصل ۱: مقدمه و پیشینه تحقیق
۲-۱-۱	۱-۱- مقدمه
۳-۱-۲	۲-۱- پیشینه تحقیق
۹-۱-۳	۳-۱- مروری بر ساختار پایان نامه
۱۱	فصل ۲: معادلات سیستم
۱۲-۱-۲	۱-۲- مقدمه
۱۲-۲-۲	۲-۲- مدل سازی سیستم با استفاده از معادلات لاگرانژ
۱۶-۲-۳	۳-۲- مدل سازی سیستم با استفاده از قانون دوم نیوتون
۱۸-۲-۴	۴-۲- نمایش سیستم به فرم حالت
۱۹	فصل ۳: طراحی مشاهده گر سرعت برای سیستم گوی و میله
۲۰-۱-۳	۱-۳- مقدمه
۲۱-۲-۳	۲-۳- طراحی مشاهده گر سرعت غیر خطی
۲۲-۳-۳	۳-۳- اثبات پایداری مشاهده گر سرعت غیر خطی
۲۴-۳-۴	۴-۳- شبیه سازی مشاهده گر سرعت غیر خطی
۲۹	فصل ۴: کنترل پسگام برای سیستم گوی و میله
۳۰-۱-۴	۱-۴- مقدمه
۳۰-۲-۴	۲-۴- روش پسگام برای سیستم های غیر خطی خطی ناپذیر فیدبکی
۳۰-۱-۲-۴	۱-۲-۴- طراحی کنترل کننده پسگام
۳۲-۲-۲-۴	۲-۲-۴- گام اول طراحی کنترل کننده
۳۳-۳-۲-۴	۳-۲-۴- گام دوم طراحی کنترل کننده
۳۵-۳-۴	۳-۴- طراحی کنترل کننده پسگام برای سیستم گوی و میله
۳۷-۴-۴	۴-۴- شبیه سازی کنترل کننده طراحی شده برای سیستم گوی و میله
۳۷-۱-۴-۴	۱-۴-۴- مقادیر پارامترها و شرایط اولیه
۳۸-۲-۴-۴	۲-۴-۴- ورودی مرجع ثابت
۴۲-۳-۴-۴	۳-۴-۴- ورودی مرجع سینوسی
۴۵-۴-۴-۴	۴-۴-۴- ورودی مرجع مربعی
۵۱	فصل ۵: کنترل پسگام فازی تطبیقی غیرمستقیم سیستم گوی و میله بر پایه رویکرد
۵۲-۱-۵	۱-۵- مقدمه
۵۴-۲-۵	۲-۵- کنترل کننده پسگام فازی تطبیقی غیرمستقیم بر پایه رویکرد
۵۵-۱-۲-۵	۱-۲-۵- کنترل کننده پسگام فازی تطبیقی غیرمستقیم برای زیرسیستم اول
۵۷-۲-۲-۵	۲-۲-۵- تحلیل پایداری قانون کنترل و قوانین تطبیق زیرسیستم اول

۵۹	۳-۲-۵- کنترل کننده پسگام فازی تطبیقی غیرمستقیم برای زیرسیستم دوم
۶۱	۴-۲-۵- تحلیل پایداری قانون کنترل و قوانین تطبیق زیرسیستم دوم
۶۴	۳-۵- شبیه سازی کنترل کننده پسگام فازی تطبیقی غیرمستقیم
۶۴	۱-۳-۵- مقادیر پارامترها و شرایط اولیه
۶۶	۲-۳-۵- ورودی مرجع سینوسی
۶۹	۳-۳-۵- ورودی مرجع مربعی

فصل ۶: کنترل پسگام فازی تطبیقی مستقیم سیستم گوی و میله بر پایه روبتگر ۷۵

۷۶	۱-۶- مقدمه
۷۶	۲-۶- طراحی کنترل کننده پسگام فازی تطبیقی مستقیم بر پایه روبتگر
۷۷	۱-۲-۶- کنترل کننده پسگام فازی تطبیقی مستقیم برای زیرسیستم اول
۷۹	۲-۲-۶- تحلیل پایداری قانون کنترل و قوانین تطبیق زیرسیستم اول
۸۰	۳-۲-۶- کنترل کننده پسگام فازی تطبیقی مستقیم برای زیرسیستم دوم
۸۳	۴-۲-۶- تحلیل پایداری قانون کنترل و قوانین تطبیق زیرسیستم دوم
۸۶	۳-۶- شبیه سازی کنترل کننده پسگام فازی تطبیقی مستقیم
۸۶	۱-۳-۶- مقادیر پارامترها و شرایط اولیه
۸۷	۲-۳-۶- ورودی مرجع ثابت
۹۰	۳-۳-۶- ورودی مرجع سینوسی

فصل ۷: نتیجه گیری و پیشنهادات ۹۵

۹۶	۱-۷- نتیجه گیری
۹۷	۲-۷- پیشنهادات

مراجع ۹۸

فهرست اشکال

- شکل (۱-۱) سیستم گوی و میله [۱] ۲
- شکل (۱-۲) سیستم گوی و میله ۱۳
- شکل (۲-۲) مختصات دکارتی و مختصات تعمیم یافته ۱۳
- شکل (۳-۲) بلوک دیاگرام جسم آزاد از چرخش گوی ۱۶
- شکل (۴-۲) دیاگرام جسم آزاد میله ۱۷
- شکل (۱-۳) موقعیت گوی بر حسب سانتیمتر ۲۵
- شکل (۲-۳) سرعت گوی بر حسب سانتی متر بر ثانیه ۲۶
- شکل (۳-۳) زاویه میله بر حسب درجه ۲۶
- شکل (۴-۳) سرعت زاویه‌ای میله بر حسب درجه بر ثانیه ۲۷
- شکل (۵-۳) قانون کنترل اعمالی به سیستم بر حسب میلی نیوتون متر ۲۷
- شکل (۱-۴) موقعیت گوی بر حسب سانتیمتر ۳۹
- شکل (۲-۴) سرعت گوی بر حسب سانتیمتر بر ثانیه ۳۹
- شکل (۳-۴) زاویه میله بر حسب درجه ۴۰
- شکل (۴-۴) سرعت زاویه‌ای میله بر حسب درجه بر ثانیه ۴۰
- شکل (۵-۴) قانون کنترل اعمالی به سیستم بر حسب میلی نیوتون متر ۴۱
- شکل (۶-۴) نمودار خطای خروجی بر حسب سانتیمتر ۴۱
- شکل (۷-۴) موقعیت گوی بر حسب سانتیمتر ۴۲
- شکل (۸-۴) سرعت گوی بر حسب سانتیمتر بر ثانیه ۴۳
- شکل (۹-۴) زاویه میله بر حسب درجه ۴۳
- شکل (۱۰-۴) سرعت زاویه‌ای میله بر حسب درجه بر ثانیه ۴۴
- شکل (۱۱-۴) قانون کنترل اعمالی به سیستم بر حسب میلی نیوتون متر ۴۴
- شکل (۱۲-۴) نمودار خطای خروجی بر حسب سانتیمتر ۴۵
- شکل (۱۳-۴) موقعیت گوی بر حسب سانتیمتر ۴۶
- شکل (۱۴-۴) سرعت گوی بر حسب سانتیمتر بر ثانیه ۴۶
- شکل (۱۵-۴) زاویه میله بر حسب درجه ۴۷
- شکل (۱۶-۴) سرعت زاویه‌ای میله بر حسب درجه بر ثانیه ۴۷
- شکل (۱۷-۴) قانون کنترل اعمالی به سیستم بر حسب میلی نیوتون متر ۴۸
- شکل (۱۸-۴) نمودار خطای خروجی بر حسب سانتیمتر ۴۸
- شکل (۱-۵) مقایسه موقعیت گوی بر حسب سانتیمتر در هر دو روش ۶۶
- شکل (۲-۵) مقایسه سرعت گوی بر حسب سانتی متر بر ثانیه در هر دو روش ۶۷
- شکل (۳-۵) مقایسه زاویه میله بر حسب درجه در هر دو روش ۶۷

- شکل (۴-۵) مقایسه سرعت زاویه‌ای میله برحسب درجه بر ثانیه در هر دو روش ۶۸
- شکل (۵-۵) مقایسه قانون کنترل اعمالی به سیستم برحسب میلی نیوتون متر در هر دو روش ۶۸
- شکل (۶-۵) مقایسه خطای ردگیری خروجی بر حسب سانتی متر در هر دو روش ۶۹
- شکل (۷-۵) مقایسه موقعیت گوی برحسب سانتی متر در هر دو روش ۷۰
- شکل (۸-۵) مقایسه سرعت گوی برحسب سانتی متر بر ثانیه در هر دو روش ۷۰
- شکل (۹-۵) مقایسه زاویه میله برحسب درجه در هر دو روش ۷۱
- شکل (۱۰-۵) مقایسه سرعت زاویه‌ای میله برحسب درجه بر ثانیه در هر دو روش ۷۱
- شکل (۱۱-۵) مقایسه قانون کنترل اعمالی به سیستم برحسب میلی نیوتون متر در هر دو روش ۷۲
- شکل (۱۲-۵) مقایسه خطای ردگیری خروجی بر حسب سانتی متر در هر دو روش ۷۲
- شکل (۱-۶) مقایسه موقعیت گوی برحسب سانتی متر در هر دو روش ۸۸
- شکل (۲-۶) مقایسه سرعت گوی برحسب سانتی متر بر ثانیه در هر دو روش ۸۸
- شکل (۳-۶) مقایسه زاویه میله برحسب درجه در هر دو روش ۸۹
- شکل (۴-۶) مقایسه سرعت زاویه‌ای میله برحسب درجه بر ثانیه در هر دو روش ۸۹
- شکل (۵-۶) مقایسه ورودی کنترل برحسب میلی نیوتون متر در هر دو روش ۹۰
- شکل (۶-۶) مقایسه نمودار خطا در هر دو روش ۹۰
- شکل (۷-۶) مقایسه موقعیت گوی برحسب سانتی متر در هر دو روش ۹۱
- شکل (۸-۶) مقایسه سرعت گوی برحسب سانتی متر بر ثانیه در هر دو روش ۹۲
- شکل (۹-۶) مقایسه زاویه میله برحسب درجه در هر دو روش ۹۲
- شکل (۱۰-۶) مقایسه سرعت زاویه‌ای برحسب درجه بر ثانیه در هر دو روش ۹۲
- شکل (۱۱-۶) مقایسه ورودی کنترل برحسب میلی نیوتون متر در هر دو روش ۹۳
- شکل (۱۲-۶) مقایسه نمودار خطا بر حسب سانتی متر در هر دو روش ۹۳

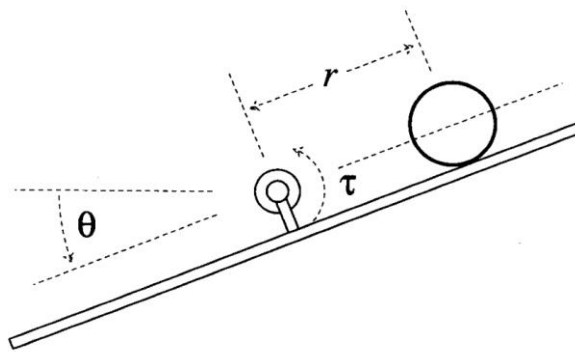
فهرست جداول

جدول (۱-۳) پارامترهای موردنیاز مشاهده گر.....	۲۴
جدول (۱-۴) پارامترهای موردنیاز سیستم گوی و میله.....	۳۷
جدول (۲-۴) پارامترهای موردنیاز کنترل کننده طراحی شده برای سیستم گوی و میله.....	۳۸
جدول (۱-۵) پارامترهای موردنیاز کنترل کننده پسگام.....	۶۵
جدول (۲-۵) پارامترهای موردنیاز کنترل کننده فازی تطبیقی غیرمستقیم.....	۶۵
جدول (۱-۶) پارامترهای موردنیاز کنترل کننده فازی تطبیقی مستقیم طراحی شده برای سیستم گوی و میله.....	۸۶

فصل ۱: مقدمه و پیشینه تحقیق

۱-۱- مقدمه

سیستم گوی و میله^۱ یکی از محبوب‌ترین و مهم‌ترین مدل‌های آزمایشگاهی برای آموزش سیستم‌های کنترل می‌باشد. سیستم گوی و میله به دلیل ساختار ساده و قابل فهمی که دارد به‌طور قابل ملاحظه‌ای مورد استفاده قرار گرفته است و همچنین روش‌های کنترلی کلاسیک و مدرن بسیاری را می‌توان بر روی آن اعمال و پیاده‌سازی کرد. این سیستم در حالت مدارباز و بدون کنترل کننده ناپایدار می‌باشد. در شکل (۱-۱) بلوک دیاگرام سیستم گوی و میله نشان داده شده است.



شکل (۱-۱) سیستم گوی و میله [۱]

عملکرد این سیستم بسیار ساده است. یک گوی بر روی یک میله بلند می‌لغزد همچنین آن میله بر روی شفت خروجی یک موتور نصب شده است که با اعمال یک سیگنال الکتریکی، می‌توان میله را حول مرکز آن به سمت چپ یا راست کج کرد. وظیفه سیستم کنترلی بدین صورت است که با تغییر زاویه میله، موقعیت گوی را بر روی میله تنظیم کند و گوی را در آن موقعیت به تعادل برساند. کنترل این سیستم کار مشکلی است زیرا گوی در یک مکان از میله به‌طور ثابت قرار نمی‌گیرد و با توجه به زاویه میله با یک شتاب متناسب با زاویه میله دائم در حرکت می‌باشد. در اصطلاح کنترلی این سیستم

¹ Ball and beam

حلقه باز می‌باشد زیرا خروجی سیستم که همان موقعیت توپ است با یک ورودی ثابت به‌طور مداوم و بدون محدودیت افزایش می‌یابد به همین دلیل استفاده از کنترلی فیدبکی برای پایدارسازی سیستم و یا به عبارتی کنترل توپ در موقعیت موردنظر الزامی می‌باشد. سیستم گوی و میله به دلیل دارا بودن ساختار غیرخطی شدید، نقطه تعادل ناپایدار و همچنین نامینیمم فاز بودن به‌عنوان یک محک برای سنجش میزان کارایی کنترل‌کننده‌های مختلف برای سیستم‌های غیرخطی، موردتوجه محققان و پژوهشگران حوزه کنترل قرار گرفته است [۲].

۱-۲- پیشینه تحقیق

همان‌طور که مشخص است بیشتر سیستم‌های فیزیکی غیرخطی می‌باشند و به همین دلیل برای کنترل این سیستم‌ها به دانش عمیقی درباره کنترل غیرخطی نیاز است. از آنجاکه سیستم گوی و میله شدیداً غیرخطی می‌باشد، این سیستم به‌عنوان یک سیستم معیار^۱ برای بررسی و ارزیابی انواع روش‌های کنترل غیرخطی شناخته‌شده و روش‌های کنترلی زیادی بر روی آن پیاده‌سازی شده است که در ادامه مروری اجمالی از کارهای انجام‌شده بر روی این سیستم ارائه خواهد شد. اگرچه سیستم‌های غیرخطی را در حول نقطه کار می‌توان به‌صورت خطی فرض و سیستم را با روش‌های کنترل خطی مثل جایابی قطب^۲ کنترل کرد ولی این روش فقط در حول نقطه کار معتبر بوده و برای عملکرد بهتر کنترل‌کننده، به روش‌های کنترل غیرخطی نیاز می‌باشد. در مرجع [۱] نشان داده شد که درجه نسبی^۳ [۳] سیستم گوی میله خوش‌تعریف^۴ نمی‌باشد و به همین دلیل روش خطی سازی ورودی خروجی دقیق بر روی این سیستم قابل پیاده‌سازی نیست و از روش خطی سازی تقریبی ورودی خروجی برای کنترل این سیستم استفاده شد. برای حل این مشکل، یک مدل غیرخطی ساده برای تقریب مدل غیرخطی اصلی

^۱ Benchmark

^۲ Pole placement

^۳ Relative degree

^۴ Well defined

سیستم گوی و میله استفاده شده است. با معرفی این سیستم تقریبی محققین زیادی کنترل کننده‌های متنوعی را برای کنترل این سیستم معرفی کردند [۴-۹]. در [۴] یک روش برای طراحی کنترل ردیاب غیرخطی برای دسته‌ای از سیستم‌ها که به‌طور دقیق قابل خطی سازی ورودی-خروجی نیستند ارائه شده است. ایده این روش از توسعه روش کنترل پسگام^۱ به‌دست آمده و در نهایت کارا بودن روش ارائه شده را بر روی سیستم گوی و میله بررسی شده است. در مرجع [۵] مقاوم بودن در برابر اغتشاشات خارجی سیستم تقریبی گوی و میله بررسی شده است. یکی از روش‌های کنترل مقاوم، روش کنترل پسگام است. در این روش در هر مرحله با استفاده از تابع لیاپانوف یک قانون کنترل برای یک دسته از معادلات به‌دست آمده و در مرحله آخر قانون کنترل نهایی برای سیستم به دست می‌آید. هدف مقاله [۸] تثبیت نوسانات برای یک دسته از سیستم‌های غیرخطی مانند سیستم گوی و میله می‌باشد. این روش از دو بخش تشکیل شده است. در مرحله اول یک زیرسیستم هامیلتونی مرتبه دوم که دارای نوسانات پایدار است برای این سیستم تشکیل می‌شود و در مرحله دوم، کنترل کننده برای سیستم اصلی به روش پسگام گسترش داده می‌شود. در [۹] هم ابتدا مدل تقریبی خطی سازی ورودی-خروجی سیستم را با یک مدل فازی جایگزین کرده و آن را کنترل کرده است. در مراجع [۱۰-۱۲] ایده تقریب سیستم، باز گسترش پیدا کرد به این معنا که خطی سازی تقریبی فقط زمانی اعمال می‌شود که سیستم در نزدیکی نقاط تکین باشد و در غیر اینصورت کنترلگر به کنترل کننده خطی سازی دقیق ورودی-خروجی تغییر پیدا می‌کند. به‌عنوان مثال در [۱۰] برای سیستم‌هایی که درجه نسبی آن‌ها خوش تعریف نیست یک قانون کنترل ارائه شده است که می‌تواند در نزدیکی نقاط تکین^۲ از قانون کنترل تقریبی و در نقاط دور از نقاط تکین از قانون کنترل دقیق استفاده کند و همچنین قابلیت اجرایی این قانون کنترل بر اساس رفتار دینامیک‌های صفر سیستم در مرزهای سوئیچینگ مورد مطالعه قرار گرفته است. روش‌های کنترل مقاوم در مواقعی که عدم قطعیت پارامتری یا غیر پارامتری در سیستم به وجود آید در صورتی که کران

¹ backstepping control

² singularities

این عدم قطعیت‌ها معلوم باشند از عملکرد مناسبی برخوردار می‌باشند. یکی از روش‌های کنترل مقاوم برای سیستم‌های غیرخطی روش مود لغزشی^۱ است. در این روش یک سطح لغزش عبور کننده از مبدأ مختصات تعریف شده و سعی می‌شود که خطای ردگیری^۲ بر روی این مسیر قرار گیرد تا به صفر برسد. در [۱۳] کنترل مد لغزشی تقریبی برای سیستم گوی و میله ارائه شده است. این تقریب در قانون کنترل، برای جلوگیری از تکینگی می‌باشد و همچنین این تقریب، سبب شده است که سطح لغزش محدود شود و به همین دلیل عملکرد کنترل کننده کمی بدتر شده است. همچنین در [۱۴-۱۶] یک کنترل سطح لغزشی افزایشی برای سیستم گوی و میله پیشنهاد شده است. در ادامه در مراجع [۱۷-۲۱] چندین کنترل کننده غیرخطی برای سیستم گوی و میله طراحی شده است. در [۱۷] از روش کنترل مقاوم غیرخطی برای طراحی کنترل ردیاب در سیستم‌هایی شبیه سیستم گوی و میله استفاده شده است. هدف روش ارائه شده هم بدین صورت می‌باشد که در حضور عدم قطعیت جرم توپ و اینرسی^۳ میله، موقعیت توپ بتواند به صورت مجانبی به فرمان ورودی همگرا شود. همچنین در [۱۸] کنترل تطبیقی مقاوم برای دینامیک‌های سیستم گوی و میله ارائه شده است. که در آن معادلات دینامیکی خطا، از دینامیک‌های سیستم گوی و میله به دست آمده و سپس این خطاها با یک کنترل کننده تطبیقی مقاوم جبران شده است. در کنترل یادگیری نشان داده شد تمام سیگنال‌های خطا محدود می‌باشند و نتیجه یادگیری هم، همگرایی خطای ردیابی به صفر می‌باشد. در مرجع [۲۰] برای اولین بار یک کنترل نرم با استفاده از تابع لیاپانوف^۴ برای سیستم گوی و میله ارائه شده که ایجاد این روش به بخش‌های جدیدی از کنترل غیرخطی به نام‌های پس‌خور و پیش‌خور وابسته است. بیشتر روش‌های ارائه شده در حوزه کنترل غیرخطی نیازمند مدل دقیق ریاضی سیستم می‌باشند از همین رو برای کنترل سیستم‌هایی که مدل دقیق آن در دسترس نمی‌باشد از روش‌هایی مانند کنترل فازی که بر اساس قواعد اگر آنگاه

¹ Sliding mode

² Tracking error

³ inertia

⁴ smooth control Lyapunov function

سیستم را کنترل می‌کند، استفاده می‌شود. این روش‌ها از نظر کاربردی عملکرد مناسبی دارند ولی در حوزه تحقیقاتی به دلیل ناتوانی در اثبات پایداری سیستم حلقه بسته به روش لیاپانوف، زیاد مورد توجه محققین قرار نمی‌گیرد. از سویی دیگر روش‌های کنترل هوشمند مانند شبکه‌های عصبی و کنترل فازی برای کنترل سیستم گوی و میله استفاده شده است. به‌عنوان مثال کاربرد شبکه‌های عصبی بلادرنگ^۱ را در مراجع [۲۲-۲۵] می‌توان یافت. در مرجع [۲۲] با استفاده از شبکه عصبی، از روش‌های مختلف یادگیری آن همانند الگوریتم پس انتشار خطا^۲، تفاوت زمانی^۳ و یادگیری تقویتی^۴ برای کنترل سیستم گوی و میله استفاده شده است. همچنین در [۲۳] از یک شبکه عصبی پیش‌خور برای کنترل سیستم گوی و میله در شرایط اولیه مختلف استفاده شده است که پارامترهای تنظیم این شبکه توسط الگوریتم ژنتیک تنظیم شده است تا کنترل‌کننده به‌دست‌آمده بهینه باشد. در ادامه در [۲۵] از روش شبکه عصبی تطبیقی سطح لغزشی جداشده^۵ برای کنترل سیستم گوی و میله به کار رفته است. این کنترل‌کننده از یک شبکه عصبی و یک کنترل‌کننده جبرانساز تشکیل شده است. روش جداشده استفاده‌شده در این مرجع یک روش ساده برای دستیابی به پایداری مجانبی در دسته‌ای از سیستم‌های درجه چهار غیرخطی می‌باشد. همچنین کارکرد روش کنترل فازی برای سیستم گوی و میله در مراجع [۲۶-۲۹] بررسی شده است. به‌عنوان مثال در [۲۶] روش کنترل فازی ساختار متغیر^۶ ارائه شده است. که در آن معادل فازی کنترل‌کننده‌های سطح لغزشی، کنترل‌کننده اشباع^۷ و کنترل‌کننده تانژانت هایپربولیک^۸ ارائه شده و با استفاده از روش مبتنی بر ساختار متغیر، پایداری هر یک از این کنترل‌کننده‌ها تضمین شده است.

¹ Real time

² back-propagation error

³ temporal difference

⁴ reinforcement learning

⁵ decoupled

⁶ variable structures

⁷ saturating controllers

⁸ tanh controllers

همچنین در [۲۸] روش‌های فازی تطبیقی، تطبیقی سنتی و تعدادی روش‌های کنترلی غیرخطی غیرتطبیقی باهم مقایسه و تجزیه و تحلیل شده‌اند. در مرجع [۲۹] هم کنترل‌کننده فازی بهینه و پایدار برای سیستم‌های خطی توسعه یافته است. بر اساس برخی از نتایج کنترل کلاسیک در تئوری کنترل، در این مقاله روشی ارائه شده است که ساختار و پارامترهای کنترل فازی به گونه‌ای طراحی شده که سیستم حلقه بسته پایدار باشد البته به شرطی که سیستم مورد استفاده خطی و یک مجموعه شرایط خاص را برآورده کند. در نهایت کنترل‌کننده فازی بهینه به سیستم گوی و میله اعمال شده است. همچنین در [۳۰، ۳۱] کنترل‌کننده تناسبی مشتقی^۱ معمولی و فازی ارائه شده است که به‌طور مجانبی موقعیت گوی بر روی میله را در این سیستم تثبیت می‌کند. در ادامه در مرجع [۳۲] یک کنترل‌کننده هایبرید برای کنترل سیستم گوی و میله ارائه شده است که در آن از یک کنترل‌کننده غیرخطی برای پایداری متغیرهای حالت سیستم که بر روی درجه نسبی سیستم اثر می‌گذارد، استفاده شده است. با توجه به درجه نسبی سیستم کنترل‌شده، می‌توان از یک کنترل‌کننده در حلقه بیرونی برای پایداری بیشتر سیستم حلقه بسته استفاده کرد. روش‌هایی که به مدل ریاضی سیستم وابسته می‌باشند به دلیل وجود عدم قطعیت در مدل‌سازی سیستم مشکلات خاص خود را دارند و از این روش‌های کنترل مقاوم و کنترل تطبیقی و ترکیبی از این دو برای مقابله با این عدم قطعیت‌ها ارائه شدند. در مرجع [۳۳] یک کنترل‌کننده تطبیقی برای کنترل سیستم گوی و میله با پارامترهای نامشخص طراحی شده است. در [۳۴، ۳۵] روش کنترل فازی تطبیقی و همچنین فازی تطبیقی سطح لغزشی برای کنترل موقعیت گوی بر روی میله مورد استفاده قرار گرفت و نتایج مناسبی هم از آن حاصل شد ولی این امکان وجود داشت تا با اعمال تغییراتی در قواعد تطبیق و کنترل‌کننده، پاسخ بسیار بهتری به دست آورد. در ادامه در [۳۶، ۳۷] کنترل‌کننده PID فازی و PID بهینه هم برای سیستم گوی و میله طراحی شده و شبیه‌سازی نشان از عملکرد مناسب این کنترل‌کننده داشت اما یکی از ضعف‌های این دو تحقیق استفاده از سیستم

^۱ PD controller

خطی شده گوی و میله می‌باشد. در سال‌های اخیر، روش‌های کنترلی متعددی بر اساس تقریب بکار گرفته شده‌اند و نتایج مهمی هم از آن‌ها به دست آمده است. از جمله این روش‌ها می‌توان به کنترل سیستم‌های غیرخطی دارای عدم قطعیت با روش پسگام فازی تطبیقی یا پسگام عصبی تطبیقی اشاره کرد [38-47]. در [38-43] برای سیستم‌های غیرخطی دارای عدم قطعیت تک ورودی - تک خروجی در فرم فیدبک صریح، روش‌های کنترلی پسگام فازی تطبیقی یا پسگام عصبی تطبیقی ارائه شدند. با توجه به نتایج تحقیقات انجام‌شده بر روی سیستم‌های غیرخطی تک ورودی - تک خروجی دارای عدم قطعیت، در [44, 45] روش‌های کنترل پسگام فازی تطبیقی یا عصبی تطبیقی برای سیستم‌های غیرخطی چند ورودی - چند خروجی دارای عدم قطعیت ارائه شدند. همچنین در [46, 47] برای سیستم‌های دارای عدم قطعیت مقیاس بزرگ روش کنترلی پسگام فازی تطبیقی ارائه شد. به دلیل اینکه در بسیاری از سیستم‌ها تمامی متغیرهای حالت در دسترس نمی‌باشند، مشاهده گرهای حالت مختلفی برای اینگونه از سیستم‌ها طراحی شدند. در [48-53] برای سیستم‌های غیرخطی دارای عدم قطعیت تک ورودی - تک خروجی، کنترل‌کننده با استفاده از فیدبک خروجی طراحی شده است. و همچنین در [54, 55] برای دسته‌ای از سیستم‌های غیرخطی دارای عدم قطعیت چند ورودی - چند خروجی کنترل بر اساس فیدبک خروجی انجام گرفته است. در [56] هم کنترل بر اساس فیدبک خروجی برای سیستم‌های غیرخطی مقیاس بزرگ دارای عدم قطعیت ارائه شده است. با این وجود در اکثر مقالات ارائه شده برای کنترل سیستم گوی و میله، از همه متغیرهای حالت فیدبک گرفته شده است که در عمل در این سیستم، همه متغیرهای حالت در دسترس نمی‌باشند و می‌بایست حتماً از یک مشاهده‌گر استفاده و یا فقط از متغیرهای حالتی فیدبک گرفته شود که در دسترس باشند. از جمله کارهایی که در طراحی مشاهده‌گر برای سیستم گوی و میله استفاده شده است می‌توان به [57-60] اشاره کرد. در [58] مشاهده‌گر طراحی شده عملکرد خوبی دارد ولی در هنگام کنترل سیستم از سیستم تقریبی ارائه شده در [1] استفاده شده است و از برخی از دینامیک‌های سیستم صرف نظر شده است که امر مطلوبی نمی‌باشد و همچنین به دلیل اینکه درجه نسبی سیستم گوی و میله خوش تعریف

نمی‌باشد، روش ارائه شده در [۵۷] را نیز نمی‌توان بر روی این سیستم پیاده‌سازی کرد.

۱-۳- مروری بر ساختار پایان‌نامه

در ادامه، فصل‌های دیگر این پایان‌نامه به‌صورت زیر تنظیم شده است:

در فصل دوم معادلات سیستم گوی و میله با روش‌های لاگرانژ و نیوتون به دست خواهد آمد و همچنین معادلات سیستم به فرم حالت نمایش داده می‌شوند. در ادامه در فصل سوم یک مشاهده گر غیرخطی برای سیستم طراحی شده و آن دسته‌ای از متغیرهای حالت که در حالت عادی در دسترس نبودند تخمین زده شده و در فصل‌های بعدی از آن برای کنترل سیستم استفاده خواهد شد. در فصل چهارم روش کنترل پسگام معرفی خواهد شد و از آنجایی که این روش به‌طور معمول بر روی سیستم گوی و میله قابل پیاده‌سازی نیست، در این فصل روشی مخصوص دسته‌ای خاص از سیستم‌ها معرفی می‌شود که سیستم گوی و میله نیز در آن دسته می‌باشد. سپس این روش بر روی سیستم گوی و میله اعمال شده و قانون کنترل پسگام به دست می‌آید. در انتها هم کارآمد بودن روش انجام شده به‌وسیله شبیه‌سازی موردبررسی قرار می‌گیرد. در فصل پنجم ابتدا در مورد روش کنترلی فازی تطبیقی کمی بحث خواهد شد. به دلیل وجود عدم قطعیت در دینامیک‌های مدل، در این فصل از سیستم فازی تطبیقی برای تقریب دینامیک‌های سیستم استفاده می‌شود. ابتدا کنترل‌کننده پسگام فازی تطبیقی غیرمستقیم برای سیستم گوی و میله طراحی شده و قوانین تطبیق نیز از طریق نظریه لیاپانوف به دست می‌آیند. در انتهای این فصل هم شبیه‌سازی انجام شده و نتایج با روش فازی تطبیقی سطح لغزشی مقایسه خواهد شد. در فصل ششم روش پسگام فازی تطبیقی مستقیم ارائه خواهد شد و ورودی کنترل به‌وسیله سیستم فازی تطبیقی به گونه تقریب زده خواهد شد که عملکرد مطلوب از سیستم به دست آید و ورودی مرجع موردنظر را دنبال کند. پایداری روش مذکور نیز از طریق نظریه لیاپانوف اثبات شده است و قواعد تطبیق نیز از همین روش به دست می‌آید. در انتهای فصل روش به‌دست‌آمده شبیه‌سازی و موردبررسی قرار

خواهد گرفت و همچنین نتایج این روش با یک روش موجود مورد مقایسه قرار می‌گیرد. در فصل آخر هم یک نتیجه‌گیری کلی از کارهای انجام‌شده در این پایان‌نامه و همچنین یکسری پیشنهادهایی برای ادامه کار و یا بهبود روش فعلی ارائه شده است.

فصل ۲: معادلات سیستم

۲-۱- مقدمه

در این بخش معادلات دینامیکی سیستم گوی و میله با استفاده از معادلات لاگرانژ و قانون دوم نیوتون ارائه می‌شود [۶۱]. پارامترهای استاندارد سیستم بدون در نظر گرفتن اصطکاک و سایر نیروهای تأثیرگذار به صورت زیر در نظر گرفته شده است.

J_B : ممان اینرسی میله

J : ممان اینرسی گوی

M : جرم گوی

R : شعاع گوی

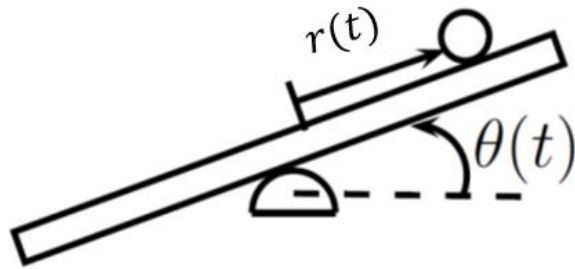
g : ثابت گرانش زمین

r : موقعیت گوی

θ : زاویه میله

۲-۲- مدل سازی سیستم با استفاده از معادلات لاگرانژ

روش لاگرانژ یک رویکرد مبتنی بر انرژی برای دستیابی به معادلات حرکتی سیستم‌های دینامیکی می‌باشد. این روش به دلیل عدم استفاده از بردارها، روش مناسبی می‌باشد به همین دلیل بسیاری از سیستم‌های پیچیده اغلب از همین روش مورد تجزیه و تحلیل قرار گرفته‌اند. سیستم گوی و میله به صورت خلاصه در شکل (۲-۱) در نظر گرفته شده است.



شکل (۱-۲) سیستم گوی و میله

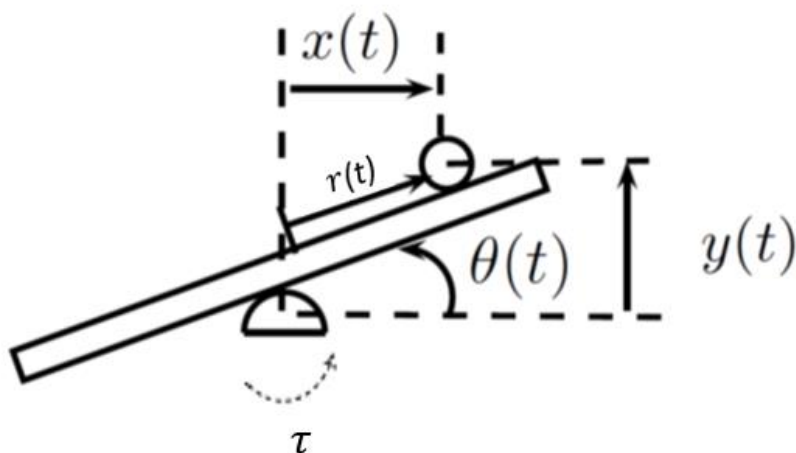
گوی بر روی میله تحت نیروی گرانش بدون داشتن لغزش می‌غلتد. میله با یک گشتاور خارجی برای کنترل موقعیت توپ بر روی میله کج و راست می‌شود. ابتدا یک مجموعه متغیر که کل سیستم را توصیف می‌کند به صورت زیر در نظر گرفته شده است.

$$q(t) = \begin{bmatrix} r(t) \\ \theta(t) \end{bmatrix} \quad (1-2)$$

که در آن $r(t)$ نشان‌دهنده موقعیت توپ و $\theta(t)$ بیانگر زاویه میله می‌باشد. تابع لاگرانژ سیستم به صورت زیر می‌باشد

$$L = K - U \quad (2-2)$$

که در آن K انرژی جنبشی و U انرژی پتانسیلی سیستم می‌باشد. به منظور تسهیل در به دست آوردن K و U مختصات دکارتی $x(t)$ و $y(t)$ به صورت شکل (۲-۲) در نظر گرفته شده است.



شکل (۲-۲) مختصات دکارتی و مختصات تعمیم یافته

انرژی جنبشی میله به صورت زیر می باشد.

$$K_1 = \frac{1}{2} J_b \dot{\theta}^2 \quad (3-2)$$

انرژی جنبشی گوی به صورت زیر است.

$$K_2 = \frac{1}{2} J \dot{\theta}_B^2 + \frac{1}{2} M v_b^2 + \frac{1}{2} J \dot{\theta}^2 \quad (4-2)$$

که در آن $\dot{\theta}_B$ سرعت چرخشی گوی و v_b سرعت خطی گوی می باشد. متغیر $\dot{\theta}_B$ به صورت زیر خواهد

بود:

$$\dot{\theta}_B = \frac{\dot{r}}{R} \quad (5-2)$$

که در آن r موقعیت گوی بر روی میله و R شعاع گوی می باشد. همچنین v_b به صورت زیر به دست

می آید.

$$v_b^2 = \dot{x}^2 + \dot{y}^2 \quad (6-2)$$

$$x = r \cos \theta \quad (7-2)$$

$$\dot{x} = \dot{r} \cos \theta - r \dot{\theta} \sin \theta \quad (8-2)$$

$$\dot{x}^2 = \dot{r}^2 \cos^2 \theta - 2r \dot{r} \dot{\theta} \cos \theta \sin \theta + r^2 \dot{\theta}^2 \sin^2 \theta \quad (9-2)$$

$$y = r \sin \theta \quad (10-2)$$

$$\dot{y} = \dot{r} \sin \theta + r \dot{\theta} \cos \theta \quad (11-2)$$

$$\dot{y}^2 = \dot{r}^2 \sin^2 \theta + 2r \dot{r} \dot{\theta} \cos \theta \sin \theta + r^2 \dot{\theta}^2 \cos^2 \theta \quad (12-2)$$

با جایگذاری (۹-۲) و (۱۲-۲) در (۶-۲) نتیجه می شود:

$$v_b^2 = \dot{r}^2 + r^2 \dot{\theta}^2 \quad (13-2)$$

با جایگذاری (۵-۲) و (۱۳-۲) در (۴-۲)، انرژی جنبشی گوی به صورت زیر خواهد شد:

$$K_2 = \frac{1}{2} \left(\frac{J}{R^2} + M \right) \dot{r}^2 + \frac{1}{2} (M r^2 + J) \dot{\theta}^2 \quad (14-2)$$

انرژی پتانسیل سیستم به صورت زیر به دست می آید:

$$U = Mgr\sin\theta \quad (15-2)$$

با جایگذاری (۳-۲)، (۱۴-۲) و (۱۵-۲) در (۲-۲) معادله لاگرانژ سیستم به صورت زیر خواهد شد

$$L = \frac{1}{2} \left(\frac{J}{R^2} + M \right) \dot{r}^2 + \frac{1}{2} (Mr^2 + J_b + J) \dot{\theta}^2 - Mgr\sin\theta \quad (16-2)$$

معادله اول لاگرانژ به صورت زیر به دست می آید

$$\frac{d}{dt} \left(\frac{\partial L}{\partial \dot{r}} \right) - \frac{\partial L}{\partial r} = 0 \quad (17-2)$$

$$\frac{\partial L}{\partial \dot{r}} = \left(\frac{J}{R^2} + M \right) \dot{r} \quad (18-2)$$

$$\frac{d}{dt} \left(\frac{\partial L}{\partial \dot{r}} \right) = \left(\frac{J}{R^2} + M \right) \ddot{r} \quad (19-2)$$

$$\frac{\partial L}{\partial r} = Mr\dot{\theta}^2 - Mgsin\theta \quad (20-2)$$

با جایگذاری (۱۸-۲) تا (۲۰-۲) در (۱۷-۲) معادله اول حرکتی سیستم گوی و میله به صورت زیر

به دست می آید

$$\left(\frac{J}{R^2} + M \right) \ddot{r} + Mgsin\theta - Mr\dot{\theta}^2 = 0 \quad (21-2)$$

معادله دوم لاگرانژ به صورت زیر به دست می آید

$$\frac{d}{dt} \left(\frac{\partial L}{\partial \dot{\theta}} \right) - \frac{\partial L}{\partial \theta} = \tau \quad (22-2)$$

که در آن τ گشتاور خارجی اعمالی به میله می باشد. با روشی مشابه معادله به صورت زیر خواهد شد.

$$\frac{\partial L}{\partial \dot{\theta}} = (Mr^2 + J_b + J) \dot{\theta} \quad (23-2)$$

$$\frac{d}{dt} \left(\frac{\partial L}{\partial \dot{\theta}} \right) = 2Mr\dot{r}\dot{\theta} + (Mr^2 + J_b + J) \ddot{\theta} \quad (24-2)$$

$$\frac{\partial L}{\partial \theta} = -Mgr\cos\theta \quad (25-2)$$

با جایگذاری (۲۴-۲) و (۲۵-۲) در (۲۲-۲) دومین معادله حرکتی سیستم گوی و میله به صورت زیر

به دست می آید.

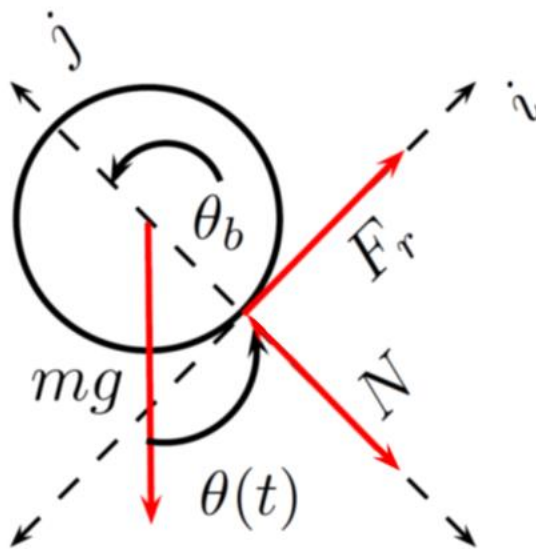
$$(Mr^2 + J_b + J) \ddot{\theta} + 2Mr\dot{r}\dot{\theta} + Mgr\cos\theta = \tau \quad (26-2)$$

در نتیجه معادلات (۲۱-۲) و (۲۶-۲) معادلات حرکتی سیستم گوی و میله می باشند.

۳-۲- مدل سازی سیستم با استفاده از قانون دوم نیوتون

در این بخش معادلات حرکتی سیستم گوی و میله به روش نیوتون به دست می آید. دیاگرام جسم

آزاد این سیستم مطابق شکل (۳-۲) می باشد.



شکل (۳-۲) بلوک دیاگرام جسم آزاد از چرخش گوی

در مرجع [۶۱] رابطه بین شتاب با محور چرخشی به صورت زیر به دست آمد.

$$a = (\ddot{r} - r\dot{\theta}^2)i + (r\ddot{\theta} + 2\dot{\theta}\dot{r})j \quad (۲۷-۲)$$

جمع گشتاورها حول محور چرخش گوی رابطه زیر را نتیجه می دهد.

$$J\ddot{\theta}_b = F_r \cdot R \quad (۲۸-۲)$$

که در آن J ممان اینرسی گوی حول مرکز آن می باشد. زاویه چرخش گوی حول مرکز آن θ_b از

رابطه زیر به دست می آید.

$$\theta_b = -\frac{r}{R} \quad (۲۹-۲)$$

که در آن R شعاع توپ می باشد. با جایگذاری (۲۹-۲) در (۲۸-۲)، F_r به صورت زیر به دست می آید.

$$F_r = -\frac{J}{R^2} \ddot{r} \quad (۳۰-۲)$$

در ادامه به جمع نیروهای وارد بر توپ در راستای محور i پرداخته می شود. با استفاده از مؤلفه مرتبط

با i در رابطه شتاب نسبی که در (۲۷-۲) ذکر شده است، نتیجه به صورت زیر می شود.

$$F_r - Mg \sin \theta = M(\ddot{r} - r\dot{\theta}^2) \quad (۳۱-۲)$$

با جایگذاری (۳۰-۲) در (۳۱-۲)، اولین معادله حرکتی سیستم گوی و میله به دست می آید.

$$\left(\frac{J}{R^2} + M\right)\ddot{r} + Mg \sin \theta - Mr\dot{\theta}^2 = 0 \quad (۳۲-۲)$$

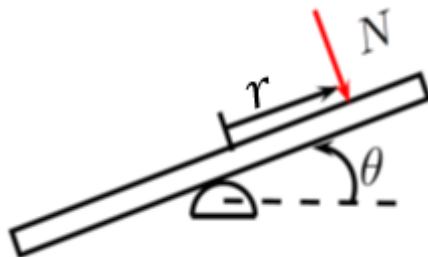
که مشابه (۲۱-۲) می باشد.

برای به دست آوردن دومین معادله حرکتی، می بایست نیروی N در شکل (۳-۲) به دست آید. با

جمع نیروهای وارد بر توپ در راستای محور z رابطه زیر را نتیجه می دهد.

$$N = M(r\ddot{\theta} + 2\dot{\theta}\dot{r}) + Mg \cos \theta \quad (۳۳-۲)$$

دیگرام جسم آزاد این سیستم را مطابق شکل (۳-۲) در نظر بگیرید.



شکل (۴-۲) دیگرام جسم آزاد میله

جمع گشتاورهای وارد بر میله رابطه زیر را نتیجه می دهد.

$$\tau - Nr = (J_b + J)\ddot{\theta} \quad (۳۴-۲)$$

که در آن τ گشتاور خارجی اعمالی، J_b ممان اینرسی میله و J ممان اینرسی گوی می باشد. با

جایگذاری (۳۳-۲) در رابطه (۳۴-۲) معادله دوم حرکتی سیستم گوی و میله به صورت زیر به دست

می آید.

$$(Mr^2 + J_b + J)\ddot{\theta} + 2Mr\dot{r}\dot{\theta} + Mgr \cos \theta = \tau \quad (۳۵-۲)$$

که مشابه (۲۶-۲) می باشد.

اگر اثر چرخش میله در نظر گرفته نمی‌شد، عبارت $Mr\dot{\theta}^2$ در (۳۲-۲) و همچنین عبارت $2Mr\dot{r}\dot{\theta}$ در (۳۵-۲) به دست نمی‌آمدند. این عبارتها برای شبیه‌سازی غیرخطی سیستم گوی و میله خیلی ضروری می‌باشند.

۲-۴- نمایش سیستم به فرم حالت

معادلات حرکتی که برای سیستم گوی و میله در روابط (۳۲-۲) و (۳۵-۲) به دست آورده شد را می‌توان به فرم معادلات حالت هم نمایش داد. ابتدا یک بردار حالت به صورت زیر در نظر گرفته می‌شود.

$$x(t) = \begin{bmatrix} x_1(t) \\ x_2(t) \\ x_3(t) \\ x_4(t) \end{bmatrix} = \begin{bmatrix} r(t) \\ \dot{r}(t) \\ \theta(t) \\ \dot{\theta}(t) \end{bmatrix} \quad (۳۶-۲)$$

که متغیرهای به کاررفته در (۳۶-۲) به صورت زیر می‌باشند.

$r(t)$: موقعیت گوی بر روی میله

$\dot{r}(t)$: سرعت گوی

$\theta(t)$: زاویه میله

$\dot{\theta}(t)$: سرعت زاویه‌ای میله

این بردار حالت از حداقل مجموعه‌ی متغیرهای موردنیاز تشکیل شده است که با آن بتوان با توجه به ورودی و وضعیت فعلی متغیرها، پاسخ آینده سیستم را تعیین کرد. فرم معادلات حالت سیستم گوی و میله به صورت زیر می‌باشد.

$$\begin{aligned} \dot{x}_1 &= x_2 \\ \dot{x}_2 &= b(x_1 x_4^2 - g \sin x_3) \\ \dot{x}_3 &= x_4 \end{aligned} \quad (۳۷-۲)$$

$$\dot{x}_4 = a(\tau - 2Mx_1x_2x_4 - Mgx_1 \cos x_3)$$

که در آن $a = \frac{1}{Mx_1^2 + J + J_b}$ و $b = M(JR^{-2} + M)^{-1}$ می‌باشد.

فصل ۳: طراحی مشاهده گر سرعت برای سیستم گوی و میله

۳-۱- مقدمه

در اکثر کارهای انجام شده برای کنترل سیستم گوی و میله، از همه متغیرهای حالت فیدبک گرفته شده است اما در عمل در این سیستم، همه متغیرهای حالت در دسترس نمی‌باشند و می‌بایست حتماً از یک مشاهده‌گر استفاده شود و یا فقط از متغیرهای حالتی فیدبک گرفته شود که در دسترس باشند. در کلیه روشهای طراحی کنترل‌کننده فیدبک حالت فرض بر این است که تمام متغیرهای حالت در دسترس می‌باشند. در صورتی که در عمل برای اندازه‌گیری هر یک از متغیرهای حالت لازمست یک سنسور و سیستم اندازه‌گیری تعبیه نمود که مستلزم هزینه زیادی است.

به‌عنوان مثال در معادلات حالت سیستم خطی زیر:

$$\begin{aligned}\dot{x} &= Ax + Bu \\ y &= Cx\end{aligned}\tag{۱-۳}$$

تنها برخی از متغیرهای حالت و یا ترکیب خطی آنها اندازه‌گیری می‌شوند و یا در فرم کلاسیک تنها فیدبک خروجی در دسترس است. بدین ترتیب به نظر می‌رسد که کاربرد فیدبک حالت بشدت تحت الشعاع قرار می‌گیرد. اما این مشکل در بسیاری از مواقع قابل حل است. راه حل منطقی آن، تخمین متغیرهای حالت توسط ورودی‌ها و خروجی‌های سیستم است که در صورتی که سیستم رؤیت پذیر باشد. این عملیات تخمین توسط سیستم دینامیکی بنام "رؤیتگر حالت" صورت می‌پذیرد، که ورودی این سیستم دینامیکی جدید، خروجی سیستم اصلی است و خروجی رؤیتگر، متغیرهای حالت تخمین زده شده می‌باشند. در اینصورت امکان استفاده عمومی از فیدبک حالت حتی در مواردی که کلیه متغیرهای حالت اندازه‌گیری نشود امکان پذیر است. با اینکه تئوری تخمین متغیرهای حالت با انگیزه استفاده در فیدبک حالت بسط داده شده است، اما استفاده از این تئوری به این کاربرد محدود نشده و امروزه در بسیاری از کاربردهای مهندسی نظیر پیش بینی وقوع خطا و جبرانسازی آن مورد استفاده قرار گرفته است [۶۲].

۲-۳- طراحی مشاهده گر سرعت غیر خطی

در این بخش، مشاهده گر سرعت غیر خطی برای سیستم گوی و میله طراحی خواهد شد. از متغیرهای حالت تخمین زده شده در این قسمت، در فصل های بعدی برای کنترل سیستم گوی و میله استفاده خواهد شد. ابتدا معادلات سیستم گوی و میله در نظر گرفته می شود که به صورت زیر می باشد.

$$\begin{aligned} \dot{x}_1 &= x_2 \\ \dot{x}_2 &= b(x_1 x_4^2 - g \sin x_3) \\ \dot{x}_3 &= x_4 \\ \dot{x}_4 &= a(\tau - 2Mx_1 x_2 x_4 - Mgx_1 \cos x_3) \end{aligned} \quad (2-3)$$

متغیرهای حالت x_1 و x_3 در دسترس می باشند و هدف از طراحی مشاهده گر، تخمین متغیرهای

حالت x_2 و x_4 می باشد. در ابتدا سطر اول و سوم رابطه (۲-۳) می بایست به صورت زیر مرتب شوند:

$$\dot{X}_1 = X_2 \quad (3-3)$$

که در آن $X_1 = [x_1, x_3]^T$ و $X_2 = [x_2, x_4]^T$ می باشند. با توجه به [۶۳] و [۶۴]، می بایست فرض

زیر همواره برقرار باشد:

$$\begin{aligned} \|X_2\| &\leq \zeta_1 \\ \|\dot{X}_2\| &\leq \zeta_2 \\ \|\ddot{X}_2\| &\leq \zeta_3 \end{aligned} \quad (4-3)$$

که در آن ζ_1 ، ζ_2 و ζ_3 پارامترهای مثبت می باشند. فرض (۴-۳) با توجه به روش کنترلی ارائه شده

با ورودی کنترل محدود همواره برقرار است که این روش کنترلی در فصل بعد ارائه خواهد شد.

بنابراین بردار خطای تخمین X_1 که قابل محاسبه می باشد، به صورت زیر تعریف می شود

$$\tilde{X}_1 := [\tilde{x}_1 \quad \tilde{x}_3]^T = X_1 - \hat{X}_1 \quad (5-3)$$

که در آن \hat{X}_1 تخمین X_1 می باشد که توسط مشاهده گر غیر خطی زیر به دست می آید.

$$\dot{\hat{X}}_1 = \hat{X}_2 \quad (6-3)$$

بردار تخمین X_2 یعنی $\hat{X}_2 = [\hat{x}_2, \hat{x}_4]^T \in R^{2 \times 1}$ بر طبق [۶۳] و [۶۴] به صورت زیر به دست

می آید.

$$\dot{\hat{X}}_2 = -(K_s + \alpha_s)\hat{X}_2 + \Gamma_s \text{sgn}(\tilde{X}_1) + \alpha_s K_s \tilde{X}_1 \quad (7-3)$$

که در آن $K_s, \alpha_s, \Gamma_s \in R^{2 \times 2}$ به صورت ماتریس های قطری می باشند که درایه های قطر اصلی آن ها یک عدد ثابت مثبت می باشد که با $K_{si}, \alpha_{si}, \Gamma_{si}$ نشان داده می شوند و همچنین $\text{sgn}(\tilde{X}_1)$ یک تابع علامت استاندارد می باشد که به تمام درایه های ماتریس اعمال می شود. در نتیجه معادله خطا بین (۳-۳) و (۳-۶) به صورت زیر بیان می شود

$$\dot{\hat{X}}_1 = \tilde{X}_2 \quad (8-3)$$

که در آن $\tilde{X}_2 := [\tilde{x}_2 \quad \tilde{x}_4]^T = X_2 - \hat{X}_2$ می باشد. برای به دست آوردن یک خطای تخمین فیلتر شده داریم:

$$s = \dot{\hat{X}}_1 + \alpha_s \tilde{X}_1 \quad (9-3)$$

که s از رابطه زیر نتیجه می شود

$$\dot{s} = \eta - K_s s - \text{sgn}(\tilde{X}_1) \quad (10-3)$$

که در آن $\eta := [\eta_1 \quad \eta_2]^T \in R^{2 \times 1}$ به صورت زیر تعریف می شود

$$\eta = \dot{X}_2 + (K_s + \alpha_s)X_2 \quad (11-3)$$

محدود بودن X_2 و \dot{X}_2 منجر به روابط زیر می شود

$$\begin{aligned} \|\eta(\cdot)\| &\leq \zeta_4 \\ \|\dot{\eta}(\cdot)\| &\leq \zeta_5 \end{aligned} \quad (12-3)$$

که در آن ζ_4 و ζ_5 اعداد ثابت مثبت می باشند. در ادامه پایداری مشاهده گر غیرخطی طراحی شده

(۳-۶) و (۳-۷) مورد بررسی قرار می گیرد.

۳-۳- اثبات پایداری مشاهده گر سرعت غیرخطی

قضیه: برای سیستم گوی و میله که با معادله (۳-۲) نشان داده شده است، تا زمانی که درایه های

قطر اصلی ماتریس Γ_s شرط زیر را برآورده سازند

$$\Gamma_{si} \geq \zeta_4 + \frac{1}{\alpha_{si}} \zeta_5 \quad i = 1, 2 \quad (13-3)$$

همواره $\dot{\tilde{X}}_2$ و \tilde{X}_2 محدود هستند و همچنین صفر شدن مجانبی \tilde{X}_2 تضمین می‌شود. قابل ذکر است که ζ_4 و ζ_5 موجود در رابطه (13-3)، در (12-3) تعریف شده اند.

اثبات:

تابع لیاپانوف به صورت زیر پیشنهاد می‌گردد:

$$V = \frac{1}{2} s^T s \quad (14-3)$$

همانطور که مشخص است (14-3) مثبت معین می‌باشد. پس از مشتق گرفتن از (14-3) و

جایگذاری دینامیک خطای سیستم که در (10-3) به دست آمد، رابطه زیر نتیجه می‌شود:

$$\dot{V} = -s^T K_s s + (\dot{\tilde{X}}_1 + \alpha_s \tilde{X}_1)^T \cdot \{\eta - \text{sgn}(\tilde{X}_1)\} \quad (15-3)$$

با انجام عملیاتی مشابه آنچه که در [63] و [65] ذکر شده‌اند، انتگرال رابطه (15-3) با استفاده از

(13-3) به صورت زیر خواهد شد

$$V(t) \leq V(t_0) - \int_{t_0}^t s K_s s(\tau) d\tau + \sigma \quad (16-3)$$

که در آن $\sigma = -\tilde{X}_1(t_0)^T \eta(t_0) + \Gamma_s |\tilde{X}_1(t_0)|$ یک عدد ثابت می‌باشد. با توجه به رابطه (16-3)

نتیجه می‌شود که $s \in L_2$ می‌باشد. از طرفی با توجه به اینکه $s \in L_\infty$ است، با استفاده از روابط (5-3)

و (9-3) می‌توان نشان داد

$$\tilde{X}_1, \dot{\tilde{X}}_1, \hat{X}_1, \dot{\hat{X}}_1 \in L_\infty \quad (17-3)$$

در نتیجه با توجه به (6-3) و (7-3) داریم:

$$\hat{X}_2, \dot{\hat{X}}_2 \in L_\infty \quad (18-3)$$

بر اساس (4-3)، عبارات (10-3) و (11-3) نشان می‌دهند که

$$\eta, \dot{\eta}, \dot{s} \in L_\infty \quad (19-3)$$

با توجه به اینکه $s, \dot{s} \in L_\infty$ و همچنین $s \in L_2$ ، با استفاده از لم باربالات [3] می‌توان نشان داد:

$$\|s\| \rightarrow 0 \text{ as } t \rightarrow \infty \quad (20-3)$$

بنابراین، با استفاده از آنالیز خطی استاندارد می‌توان نشان داد

$$\|\tilde{X}_1\| \rightarrow 0, \quad \|\dot{\tilde{X}}_1\| \rightarrow 0 \text{ as } t \rightarrow \infty \quad (21-3)$$

در نتیجه با توجه با (3-5) و (3-8) می‌توان نشان داد که در نهایت \tilde{X}_1 به X_1 و همچنین $\dot{\tilde{X}}_2$ به X_2 همگرا می‌شوند.

3-4- شبیه سازی مشاهده گر سرعت غیر خطی

جهت بررسی عملکرد مشاهده گر سرعت غیرخطی، این مشاهده گر را بر روی سیستم گوی و میله شبیه سازی کرده و در ادامه مورد بررسی قرار می‌گیرد. مقادیر پارامترهای مورد استفاده در مشاهده گر در جدول (3-1) درج شده است.

جدول (3-1) پارامترهای مورد نیاز مشاهده گر

پارامترهای بخش مشاهده گر	مقدار
K_s	$\begin{bmatrix} 500 & 0 \\ 0 & 500 \end{bmatrix}$
α_s	$\begin{bmatrix} 1000 & 0 \\ 0 & 1000 \end{bmatrix}$
Γ_s	$\begin{bmatrix} 0.01 & 0 \\ 0 & 0.01 \end{bmatrix}$

در ادامه شرایط اولیه متغیرهای حالت سیستم اصلی و مشاهده گر به صورت زیر در نظر گرفته شده اند. لازم به ذکر است که مقادیر موجود در شرایط اولیه برای هر متغیر حالت، به ترتیب بر حسب متر، متر بر ثانیه، رادیان و رادیان بر ثانیه، زمان کل شبیه سازی در این بخش برابر با ۰,۵ ثانیه و همچنین برای از بین بردن پدیده چترینگ، به جای تابع $sgn(\tilde{X}_1)$ در (3-7) از تابع $sat\left(\frac{\tilde{X}_1}{0.1}\right)$ استفاده شده است.

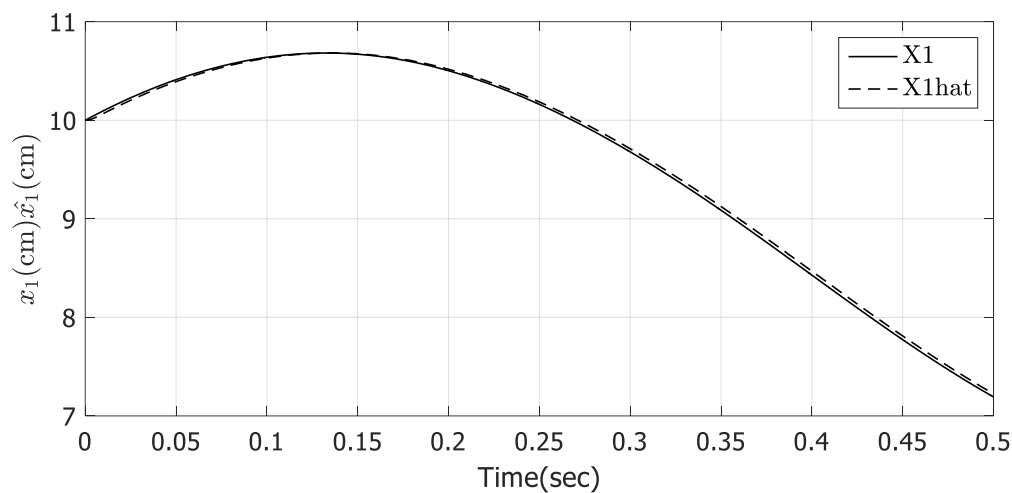
$$X(0) = [0.1 \ 0.1 \ 0.1 \ 0.1] \quad (22-3)$$

$$\hat{X}(0) = [0.1 \ 0 \ 0.1 \ 0] \quad (23-3)$$

در این بخش ورودی کنترل سیستم به صورت زیر در نظر گرفته شده است .

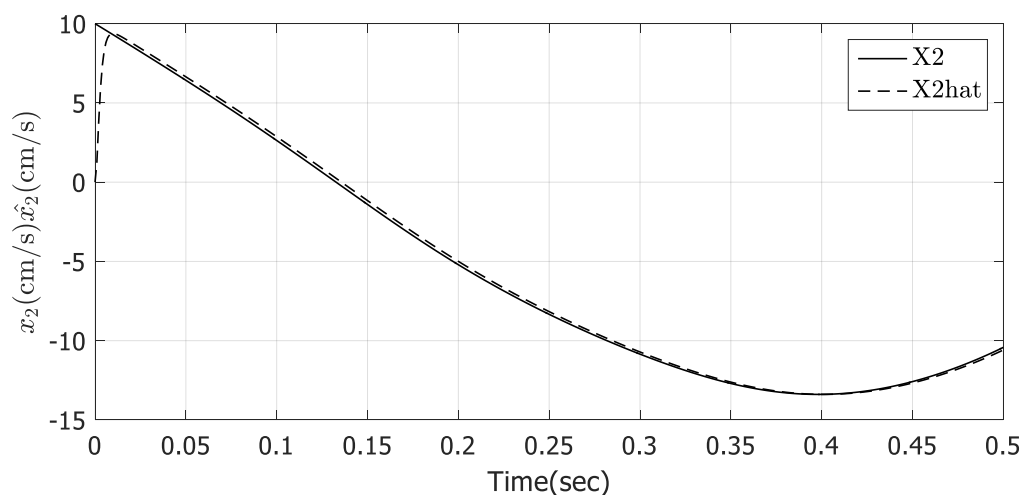
$$\tau = 0.1\sin(10\pi t) \quad (24-3)$$

پس از شبیه سازی، در شکل (۱-۳) موقعیت گوی بر حسب سانتی متر، در شکل (۲-۳) سرعت گوی بر حسب سانتی متر بر ثانیه، در شکل (۳-۳) زاویه میله بر حسب درجه، در شکل (۴-۳) سرعت زاویه ای میله بر حسب درجه بر ثانیه و در شکل (۵-۳) قانون کنترل اعمالی به سیستم بر حسب میلی نیوتون متر نشان داده شده است.



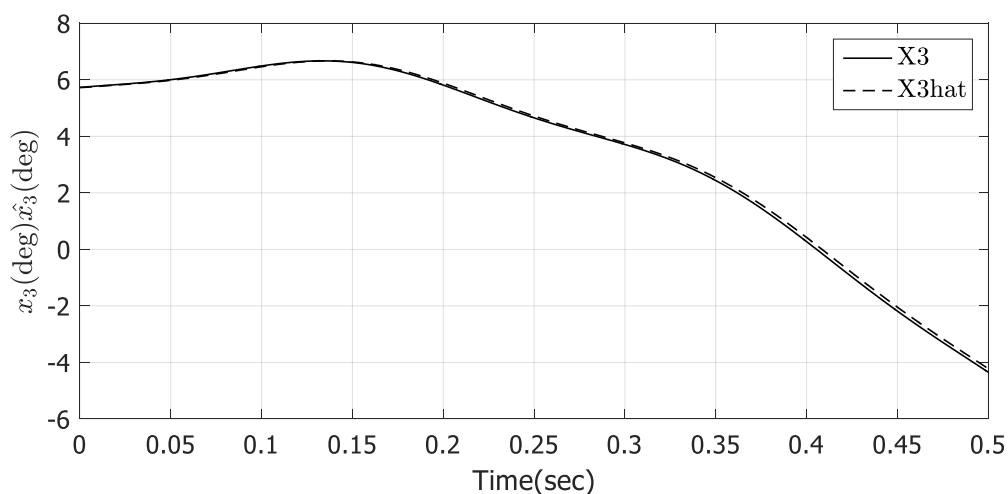
شکل (۱-۳) موقعیت گوی بر حسب سانتی متر

همانطور که در شکل (۱-۳) مشخص می باشد x_1 و \hat{x}_1 هر دو از موقعیت ۱۰ سانتی متر حرکت خود را آغاز کرده کامل بر هم منطبق می باشند.



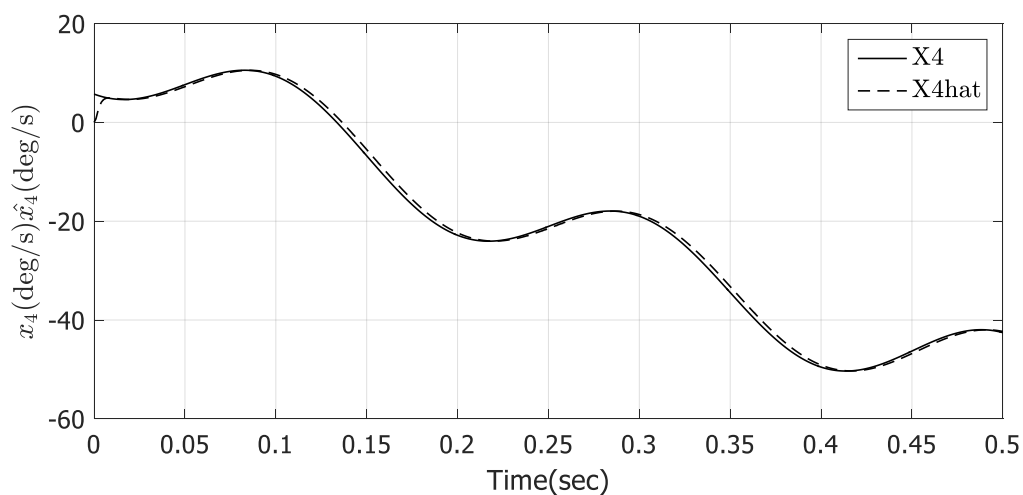
شکل (۲-۳) سرعت گوی بر حسب سانتی متر بر ثانیه

با توجه به شکل (۲-۳) مشخص می باشد که x_2 و \hat{x}_2 به ترتیب از سرعت ۱۰ و ۰ سانتی متر بر ثانیه آغاز شده اند و پس گذشت زمان خیلی کوتاهی، \hat{x}_2 به x_2 همگرا شده است و در ادامه به خوبی آن را دنبال می کند.



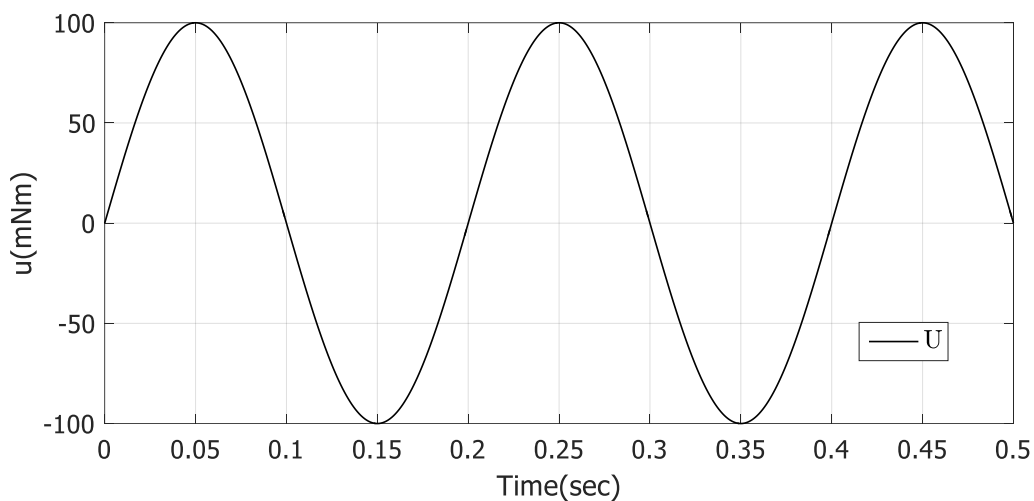
شکل (۳-۳) زاویه میله بر حسب درجه

به دلیل اینکه شرایط اولیه x_3 و \hat{x}_3 هر دو یکسان بوده اند در شکل (۳-۳) مشخص می باشد که x_3 و \hat{x}_3 از یک نقطه شروع شده اند و در ادامه به خوبی بر هم منطبق می باشند.



شکل (۴-۳) سرعت زاویه‌ای میله برحسب درجه بر ثانیه

در شکل (۴-۳) متغیرهای حالت x_4 و \hat{x}_4 نشان داده شده اند و همانطور که مشخص است ابتدا از دو نقطه متفاوت آغاز شده اند و پس از گذشت مدت زمان کوتاهی \hat{x}_4 به x_4 همگرا شده و در ادامه به خوبی آن را دنبال می‌کند.



شکل (۵-۳) قانون کنترل اعمالی به سیستم برحسب میلی نیوتون متر

در شکل (۵-۳) هم سیگنال کنترلی نشان داده شده است که با رابطه (۲۴-۳) مشخص شده است.

فصل ۴:

کنترل پسگام برای سیستم گوی و میله

۴-۱- مقدمه

در تئوری کنترل، روش پسگام تکنیکی است که در طی سال‌های ۱۹۹۰ توسط پیتر کوتوویچ و همکارانش برای طراحی کنترل‌های پایدارکننده جهت کلاس خاصی از سیستم‌های پویای غیرخطی توسعه یافته است [۶۶]. این سیستم‌ها از زیرسیستم‌هایی ساخته شده‌اند که از یک زیرسیستم غیرقابل تقلیل که می‌تواند با استفاده از روش‌های دیگر پایدار شود، ایجاد می‌شوند. به دلیل وجود این ساختار بازگشتی، طراح می‌تواند فرایند طراحی را از سیستمی که می‌داند پایدار است شروع کند و بعد به کنترل‌کننده‌های جدیدی که هر یک زیرسیستم قبلی را پایدار می‌کنند پردازد (بازگشت به عقب). این فرایند زمانی که به کنترل نهایی برسیم، به پایان می‌رسد. بنابراین، این فرایند را با نام پسگام نام‌گذاری می‌کنند. روش پسگام یک روش بازگشتی برای پایدارسازی مبدأ یک سیستم در قالب بازخوردی صریح، ارائه می‌کند.

۴-۲- روش پسگام برای سیستم‌های غیرخطی خطی ناپذیر فیدبکی

معادلات سیستم گوی و میله به گونه‌ای می‌باشد که از روش متداول پسگام برای این سیستم نمی‌توان استفاده کرد و می‌بایست کمی تغییر در آن ایجاد شود. در [۴] با توسعه روش کنترل پسگام، یک روشی برای کنترل سیستم‌های غیرخطی که قابلیت خطی سازی فیدبکی ورودی خروجی ندارند، ارائه شد. در این فصل با اعمال این روش بر روی سیستم گوی و میله کارایی آن بررسی می‌شود.

۴-۲-۱- طراحی کنترل‌کننده پسگام

در بسیاری از سیستم‌های عملی به دلیل وجود یک صفر ناپایدار یا به دلیل خوش تعریف نبودن درجه نسبی سیستم، روش خطی سازی فیدبکی بر روی این گونه از سیستم‌ها قابل اعمال نمی‌باشد. سیستم غیرخطی زیر در نظر گرفته می‌شود [۴]

$$\dot{x} = F_1(x, \bar{z}) + F_2(x, \bar{z})g(z_1) \quad (1-4)$$

$$\dot{z} = L_1(z) + L_2(z)u \quad (2-4)$$

$$y = x_1 \quad (3-4)$$

که در آن $x = [x_1, x_2, \dots, x_n]^T$ و $z = [z_1, z_2, \dots, z_m]^T = [z_1, \bar{z}]^T$ متغیرهای حالت سیستم یا به عبارتی \bar{z} شامل همه متغیرهای حالت z به جز z_1 است، u ورودی کنترل، $L_1(z)$ و $L_2(z)$ توابع غیرخطی از متغیرهای حالت z و همچنین $F_1(x, \bar{z})$ و $F_2(x, \bar{z})$ به صورت زیر می باشند:

$$F_1(x, \bar{z}) = \begin{bmatrix} x_2 \\ x_3 \\ \vdots \\ f_1(x, \bar{z}) \end{bmatrix} \quad (4-4)$$

$$F_2(x, \bar{z}) = \begin{bmatrix} 0 \\ 0 \\ \vdots \\ f_2(x, \bar{z}) \end{bmatrix} \quad (5-4)$$

که در آن f_1 ، f_2 و g توابع اسکالر هموار و $y \in R$ هم خروجی سیستم می باشد. هدف کنترلی بدین صورت می باشد که u به گونه ای طراحی شود تا خروجی y به صورت مجانبی خروجی هدف $y_d(t)$ را دنبال کند.

$$\lim_{t \rightarrow \infty} (y(t) - y_d(t)) = 0 \quad (6-4)$$

در ادامه فرضیات زیر مورد استفاده قرار می گیرند.

فرض ۱: سیستم (۲-۴) با ورودی کنترل u و خروجی z_1 به صورت فیدبکی خطی پذیر ورودی خروجی باشد.

فرض ۲: تابع $f_2(x, z)$ غیرصفر و $\frac{dg}{dv}(v)$ برای همه $x \in \mathbb{R}^n$ ، $z \in \mathbb{R}^m$ و $v \in \mathbb{R}$ محدود می باشد.

فرض ۳: تابع $g(\cdot)$ در محدوده مورد نظر معکوس پذیر است.

هدف این بخش طراحی ورودی کنترل به روش پسگام برای دستیابی به اهداف کنترلی سیستم می باشد. ایده اصلی به صورت خلاصه در ادامه مطرح می شود. ابتدا، از دینامیک زیرسیستم (۲-۴) صرف نظر

می‌شود و \bar{z} به صورت اغتشاش نامطلوب در نظر گرفته شده و همچنین z_1 به صورت ورودی برای زیرسیستم (۴-۱) در نظر گرفته می‌شود. در ادامه z_1 به گونه‌ای در نظر گرفته می‌شود که اثر دینامیک‌های نامطلوب را حذف کرده و هدف کنترلی (۴-۶) را هم برآورده کند و آن z_{1d} نامیده می‌شود. در گام بعدی، بر اساس z_{1d} ساخته شده به دنبال یک ورودی کنترل مجازی گشته تا شرط زیر را برآورده کند

$$\lim_{t \rightarrow \infty} (z_1(t) - z_{1d}(t)) = 0 \quad (۷-۴)$$

و این روند به همین ترتیب ادامه پیدا می‌کند تا در نهایت ورودی کنترل u به گونه‌ای طراحی شود تا شرط (۷-۴) را برآورده سازد. در ادامه تابع لیاپانوف برای z_{1d} و u ارائه می‌شود، در نتیجه پایداری سیستم حلقه بسته تضمین می‌شود.

۴-۲-۲- گام اول طراحی کنترل کننده

سیستم (۴-۱) با خروجی (۴-۳) را در نظر بگیرید. $y_d(t)$ مسیر مطلوب می‌باشد که می‌بایست

توسط $y(t)$ ردگیری شود. با تعریف خطای ردیابی به صورت $e = [e_1, e_2, \dots, e_n]^T$ داریم

$$\begin{aligned} e_1 &:= y - y_d = x_1 - y_d \\ e_2 &:= \dot{e}_1 = \dot{x}_1 - \dot{y}_d = x_2 - \dot{y}_d \\ e_3 &:= \dot{e}_2 = \dot{x}_2 - \dot{y}_d = x_3 - \ddot{y}_d \\ &\vdots \\ e_n &:= \dot{e}_{n-1} = \dot{x}_{n-1} - y_d^{(n-1)} \end{aligned} \quad (۸-۴)$$

در نتیجه داریم

$$\dot{e}_n = \dot{x}_n - y_d^{(n)} = f_1(x, \bar{z}) + f_2(x, \bar{z})g(z_1) - y_d^{(n)} \quad (۹-۴)$$

با توجه به فرضیات ۲ و ۳، برای معادلات خطا (۴-۸) و (۴-۹) ورودی زیر در نظر گرفته می‌شود.

$$z_{1d} := g^{-1} \left(\frac{1}{f_2(x, \bar{z})} [-f_1(x, \bar{z}) + y_d^{(n)} - \sum_{i=1}^n c_i e_i] \right) \quad (۱۰-۴)$$

که در آن ثابت‌های c_i ، $i = 1, \dots, n$ ، در ادامه تعیین می‌شوند. تحت شرط زیر

$$z_1 = z_{1d} \quad (11-4)$$

زیرسیستم (۲-۲۴) و (۲-۲۶) در فرم کانونیکال به صورت زیر خواهد شد

$$\dot{e} = Ce \quad (12-4)$$

که در آن

$$C = \begin{bmatrix} 0 & 1 & 0 & 0 & 0 \\ 0 & 0 & 1 & 0 & 0 \\ \vdots & \vdots & \vdots & \ddots & \vdots \\ 0 & 0 & 0 & 0 & 1 \\ -c_1 & -c_2 & -c_2 & \dots & -c_n \end{bmatrix} \quad (13-4)$$

با انتخاب مناسب ثابت‌های c_i $i = 1, \dots, n$ می‌توان ماتریس C را هرویتز کرد. در این قسمت برای هر ماتریس معین مثبت Q ، تابع زیر

$$C^T P + PC = -Q \quad (14-4)$$

یک پاسخ معین مثبت منحصر به فرد دارد. تابع لیاپانوف به صورت زیر در نظر گرفته می‌شود.

$$V_1(e) = e^T P e \quad (15-4)$$

که در آن P حل معادله (۴-۱۴) می‌باشد. همچنین مشتق تابع لیاپانوف برای $e \neq 0$ نیز منفی می‌باشد.

$$\dot{V}_1 = \dot{e}^T P e + e^T P \dot{e} = e^T (C^T P + PC) e = -e^T Q e < 0 \quad (16-4)$$

۴-۲-۳- گام دوم طراحی کنترل کننده

در این بخش، زیرسیستم (۴-۲) را در نظر گرفته و تلاش می‌شود تا یک سیگنال کنترلی u به گونه‌ای

طراحی شود تا z_1 به صورت مجانبی به z_{1d} همگرا شود. با توجه به فرض ۱ می‌توان یک تغییر مختصات

غیرخطی به صورت زیر در نظر گرفت

$$\xi = \Phi(z) \quad (17-4)$$

که در آن $\xi_1 = z_1$ می‌باشد. در نتیجه در مختصات ξ ، زیرسیستم (۴-۲) به صورت زیر بازنویسی می‌شود

$$\begin{aligned}
\dot{\xi}_1 &= \xi_2 \\
\dot{\xi}_2 &= \xi_3 \\
&\vdots \\
\dot{\xi}_{m-1} &= \xi_m \\
\dot{\xi}_m &= v
\end{aligned} \tag{۱۸-۴}$$

که در آن v یک ورودی جدید به صورت $u = \alpha(\xi) + \beta(\xi)v$ می‌باشد. برای سادگی در نمایش ζ_i را به صورت زیر تعریف می‌کنیم

$$\zeta_i := \xi_i - \xi_{id} \quad i = 1, 2, \dots, m \tag{۱۹-۴}$$

که در آن

$$\xi_{1d} = z_{1d} \tag{۲۰-۴}$$

که در (۱۰-۴) به دست آمد. در [۴] با روش لیپانوف اثبات شد که ξ_{id} به ازای $i = 2, 4, \dots, m$ به صورت زیر به دست می‌آیند

$$\xi_{2d} = \dot{\xi}_{1d} - k_1 \zeta_1 - \frac{1}{\gamma_1} \frac{\partial V_1}{\partial e_n}(e) f_2(x, \bar{z}) \frac{g(\xi_1) - g(\xi_{1d})}{\xi_1 - \xi_{1d}} \tag{۲۱-۴}$$

$$\xi_{id} = \dot{\xi}_{(i-1)d} - k_{i-1} \zeta_{i-1} - \frac{\gamma_{i-2}}{\gamma_{i-1}} \zeta_{i-2} \quad i = 3, 4, \dots, m \tag{۲۲-۴}$$

که در آن برای $j = 1, 2, \dots, m$ و $k_j > 0$ و $\gamma_j > 0$ می‌باشد و همچنین ζ_j در (۱۹-۴) تعریف شده است.

به صورت خلاصه کنترل کننده طراحی شده برای این دسته از سیستم‌ها به صورت زیر خواهد شد

$$u = \alpha(\xi) + \beta(\xi)v \tag{۲۳-۴}$$

که در آن v از رابطه زیر به دست می‌آید:

$$v = \dot{\xi}_{md} - k_m \xi_m - \frac{\gamma_{m-1}}{\gamma_m} \zeta_{m-1} \tag{۲۴-۴}$$

که در آن ξ_m از رابطه (۲۲-۴) محاسبه می‌شود. در نتیجه روابط (۲۳-۴) و (۲۴-۴) پایداری سیستم حلقه بسته را تضمین کرده و به طور مجانبی خروجی y را به سمت y_d هدایت می‌کند.

۳-۴- طراحی کنترل کننده پسگام برای سیستم گوی و میله

در این بخش، روش ارائه شده در قسمت قبلی بر روی سیستم گوی و میله اعمال می شود. همان طور که مشخص است سیستم گوی و میله در دسته ای از سیستم ها که با معادله (۴-۱) تا (۴-۳) نشان داده شد، قرار دارد. در ادامه نشان داده خواهد شد که چگونه روش ارائه شده بر روی سیستم گوی و میله پیاده سازی می شود.

با توجه به گام اول طراحی کنترل کننده پسگام، ابتدا سیستم به صورت دو زیرسیستم جداگانه در نظر گرفته می شود که به صورت زیر می باشند:

زیرسیستم اول:

$$\begin{aligned} \dot{x}_1 &= x_2 \\ \dot{x}_2 &= bx_1x_4^2 - bgsinx_3 = f_1(X) + g_1\sin(x_3) \end{aligned} \quad (۲۵-۴)$$

که در آن $b = M(JR^{-2} + M)^{-1}$ ، $g_1 = -bg$ ، $f_1(X) = bx_1x_4^2$ و همچنین x_3 به عنوان ورودی کنترل مجازی در نظر گرفته شده است.

زیرسیستم دوم:

$$\begin{aligned} \dot{x}_3 &= x_4 \\ \dot{x}_4 &= a(\tau - 2Mx_1x_2x_4 - Mgx_1\cos x_3) = f_2(X) + g_2(X)\tau \end{aligned} \quad (۲۶-۴)$$

که در آن $a = \frac{1}{Mx_1^2 + J + J_b}$ و $g_2(X) = a$ و $f_2(X) = -a(2Mx_1x_2x_4 + Mgx_1\cos x_3)$ می باشد. برای تعریف یک ورودی جدید u از تبدیل غیرخطی معکوس پذیر زیر استفاده می شود

$$\tau = 2Mx_1x_2x_4 + Mgx_1\cos x_3 + (Mx_1^2 + J + J_b)u = \frac{1}{g_2(X)}(u - f_2(X)) \quad (۲۷-۴)$$

در نتیجه معادلات زیر سیستم دوم به صورت زیر نتیجه خواهد شد.

$$\begin{aligned} \dot{x}_3 &= x_4 \\ \dot{x}_4 &= u \end{aligned} \quad (۲۸-۴)$$

برای سیستم گوی و میله متغیرهای x ، z ، \bar{z} و n و m که در بخش قبلی مورد استفاده قرار گرفتند، به صورت زیر می باشند

$$\begin{aligned}
x &= [x_1 \ x_2]^T \\
z &= [x_3 \ x_4]^T \\
z_1 &= x_3 \\
\bar{z} &= x_4 \\
n &= 2 \\
m &= 2
\end{aligned} \tag{۲۹-۴}$$

که در آن n و m به ترتیب تعداد درایه های بردار x و z می باشند.

در ادامه با توجه به (۸-۴) و (۲۹-۴) بردار خطا به صورت زیر تعریف می شود.

$$e = [e_1, e_2]^T = [x_1 - y_d, x_2 - \dot{y}_d]^T \tag{۳۰-۴}$$

با انتخاب پارامترهای طراحی $k_i > 0, c_i > 0, i = 1, 2$ و همچنین c_1, c_2 به گونه ای انتخاب می شوند که ماتریس زیر

$$C = \begin{bmatrix} 0 & 1 \\ -c_1 & -c_2 \end{bmatrix} \tag{۳۱-۴}$$

هرویتز گردد.

در ادامه یک ماتریس معین مثبت $P \in \mathbb{R}^{2 \times 2}$ به نحوی انتخاب می شود تا $C^T P + PC$ معین منفی شود.

در نتیجه با جایگذاری (۲۹-۴) در (۲۱-۴)، (۲۲-۴) و (۲۴-۴)، ورودی کنترل مجازی و حقیقی برای سیستم گوی و میله به صورت زیر طراحی می شوند

$$x_{3d} = \sin^{-1} \left(\frac{1}{g_1} (-f_1(X) + \dot{y}_d - c_2(x_2 - \dot{y}_d) - c_1(x_1 - y_d)) \right) \tag{۳۲-۴}$$

$$x_{4d} = \dot{x}_{3d} - k_1(x_3 - x_{3d}) - \frac{1}{\gamma_1} \frac{\partial V_1}{\partial e_2}(e) g_1 \frac{\sin(x_3) - \sin(x_{3d})}{x_3 - x_{3d}} \tag{۳۳-۴}$$

$$u = \dot{x}_{4d} - k_2(x_4 - x_{4d}) - \frac{\gamma_1}{\gamma_2} (x_3 - x_{3d}) \tag{۳۴-۴}$$

که در آن $f_1(X)$ ، g_1 در رابطه (۲۵-۴) مشخص شده است و همچنین به ازای $k_j > 0, j = 1, 2$ و نیز داریم $\gamma_j > 0$

$$V_1(e) = e^T P e \tag{۳۵-۴}$$

در نهایت با جایگذاری (۴-۳۴) در (۴-۲۷) ورودی کنترل سیستم گوی و میله به صورت زیر به دست می آید:

$$\begin{aligned} \tau &= \frac{1}{g_2(X)} \left(\dot{x}_{4d} - k_2(x_4 - x_{4d}) - \frac{\gamma_1}{\gamma_2}(x_3 - x_{3d}) - f_2(X) \right) \\ &= 2Mx_1x_2x_4 + Mgx_1\cos x_3 + (Mx_1^2 + J + J_b)(\dot{x}_{4d} - k_2(x_4 - x_{4d}) \\ &\quad - \frac{\gamma_1}{\gamma_2}(x_3 - x_{3d})) \end{aligned} \quad (۴-۳۶)$$

که در آن $f_2(X)$ و در $g_2(X)$ تعریف شده اند و همچنین باید در نظر داشت که \dot{x}_{3d} و \dot{x}_{4d} با تخمین عددی محاسبه می شوند. علاوه بر این در (۴-۳۲) مشخص است که برای ردگیری پایدار متغیرهای حالت و همچنین y_d می بایست شرط زیر را برقرار کند

$$\left| \frac{1}{g_1} [-f_1(X) + \ddot{y}_d - c_2(x_2 - \dot{y}_d) - c_1(x_1 - y_d)] \right| < 0 \quad (۴-۳۷)$$

شرط (۴-۳۷) با شرطهای (۴-۳۴) و (۴-۳۳) بر روی منطقه ای که سیستم حلقه بسته در آن پایدار است، یک محدودیتی اعمال می کند.

۴-۴- شبیه سازی کنترل کننده طراحی شده برای سیستم گوی و میله

۴-۴-۱- مقادیر پارامترها و شرایط اولیه

جهت بررسی عملکرد کنترل کننده پسگام، کنترل کننده طراحی شده را بر روی سیستم گوی و میله شبیه سازی کرده و در ادامه مورد بررسی قرار می گیرد. مقادیر پارامترهای مورد استفاده در این سیستم در جدول (۴-۱) درج شده است.

جدول (۴-۱) پارامترهای مورد نیاز سیستم گوی و میله

M	$0.05kg$	R	$0.01m$
J	$0.02 \frac{kg}{m^2}$	J_b	$2 \times 10^{-6} \frac{kg}{m^2}$
g	$9.8 \frac{m}{s^2}$	b	0.7143

همچنین پارامترهای مورد نیاز در کنترل کننده طراحی شده در جدول (۴-۲) آورده شده است.

جدول (۲-۴) پارامترهای مورد نیاز کنترل کننده طراحی شده برای سیستم گوی و میله

c_1	2	c_2	5
γ_1	5	γ_2	10
k_1	1	k_2	1

برای بررسی عملکرد کنترل کننده از سه ورودی مرجع ثابت، سینوسی و مربعی استفاده شده است. مدل مرجع به به صورت زیر انتخاب شده است.

$$G(s) = \frac{1}{s^2 + 2s + 1} \quad (۳۸-۴)$$

در همه شبیه سازی های انجام شده در این بخش زمان شبیه سازی ۵۰ ثانیه در نظر گرفته شده و همچنین شرایط اولیه متغیرهای حالت به صورت زیر می باشد.

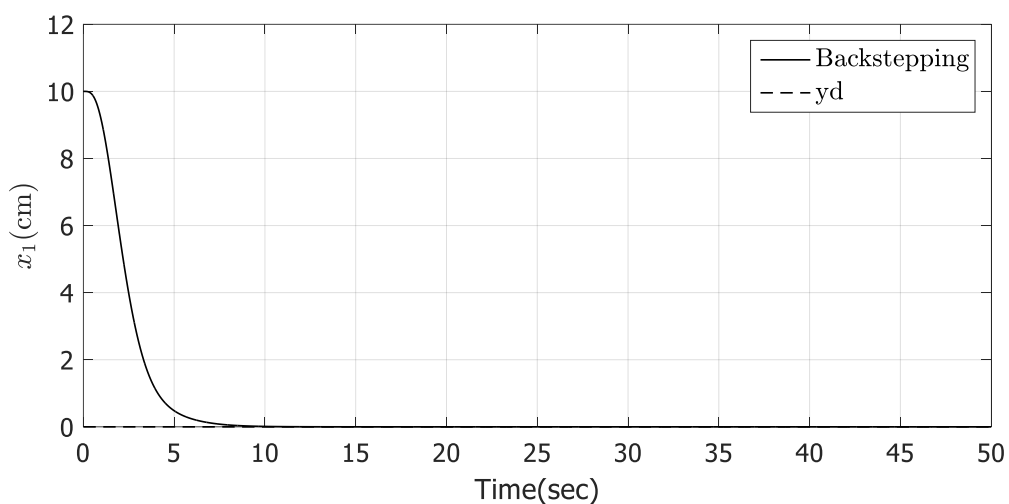
$$X(0) = [0.1 \ 0 \ 0 \ 0] \quad (۳۹-۴)$$

۴-۴-۲- ورودی مرجع ثابت

در این بخش ورودی مرجع را صفر در نظر گرفته و به عبارتی، رگولاسیون مورد بررسی قرار می گیرد.

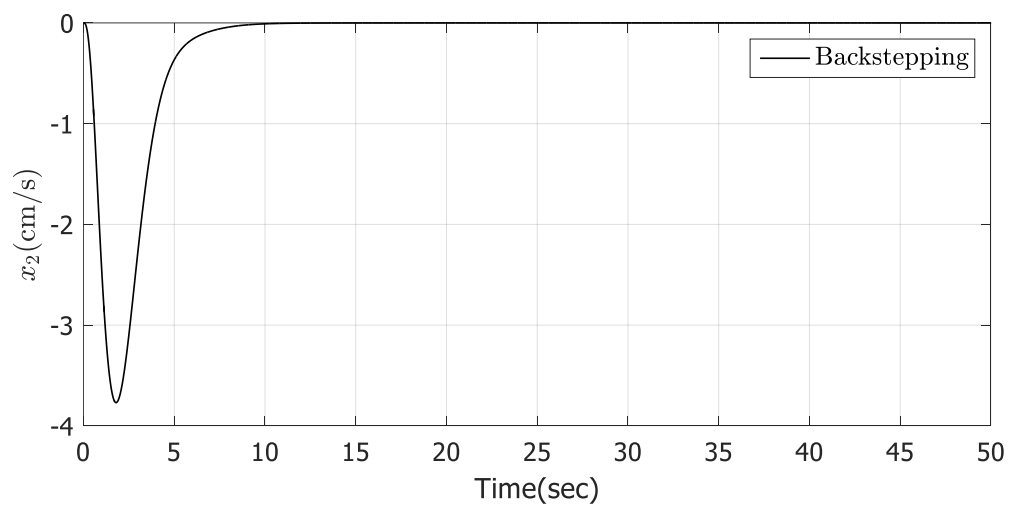
$$y_d = 0 \quad (۴۰-۴)$$

پس از شبیه سازی، در شکل (۱-۴) موقعیت گوی بر حسب سانتی متر، در شکل (۲-۴) سرعت گوی بر حسب سانتی متر بر ثانیه، در شکل (۳-۴) زاویه میله بر حسب درجه، در شکل (۴-۴) سرعت زاویه ای میله بر حسب درجه بر ثانیه، در شکل (۵-۴) قانون کنترل اعمالی به سیستم بر حسب میلی نیوتون متر و در شکل (۶-۴) نمودار خطای ردگیری خروجی بر حسب سانتی متر نشان داده شده است.



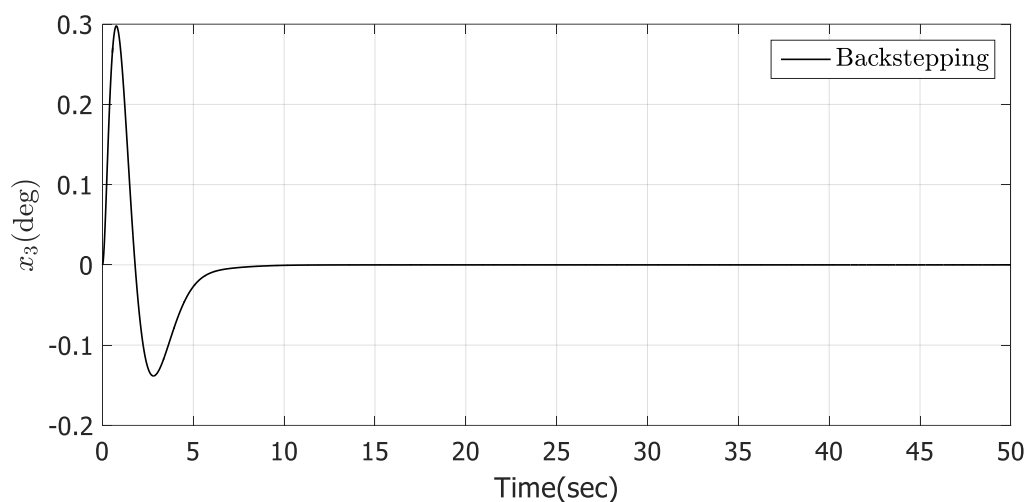
شکل (۱-۴) موقعیت گوی بر حسب سانتی متر

همان طور که در شکل (۱-۴) مشخص است خروجی سیستم پس از زمان ۷ ثانیه به مقدار مطلوب خود همگرا شده است.



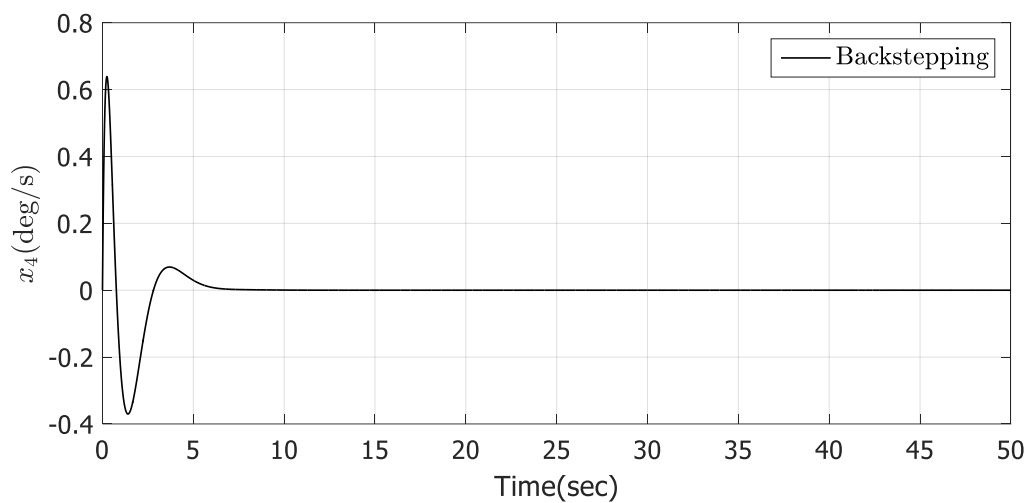
شکل (۲-۴) سرعت گوی بر حسب سانتی متر بر ثانیه

با توجه به شکل (۲-۴) ابتدا گوی سرعت می گیرد و رفته رفته این سرعت کم شده و پس از رسیدن گوی به مکان مورد نظر، سرعت گوی هم به صفر رسیده است.



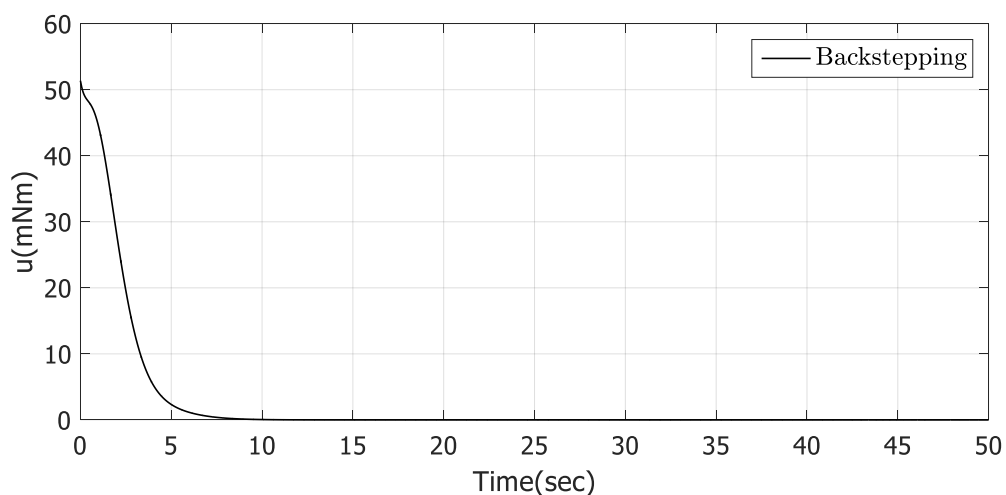
شکل (۳-۴) زاویه میله بر حسب درجه

در شکل (۳-۴) تغییرات زاویه میله نشان داده شده است که پس از همگرا شدن خروجی، این تغییرات نیز صفر شده‌اند.



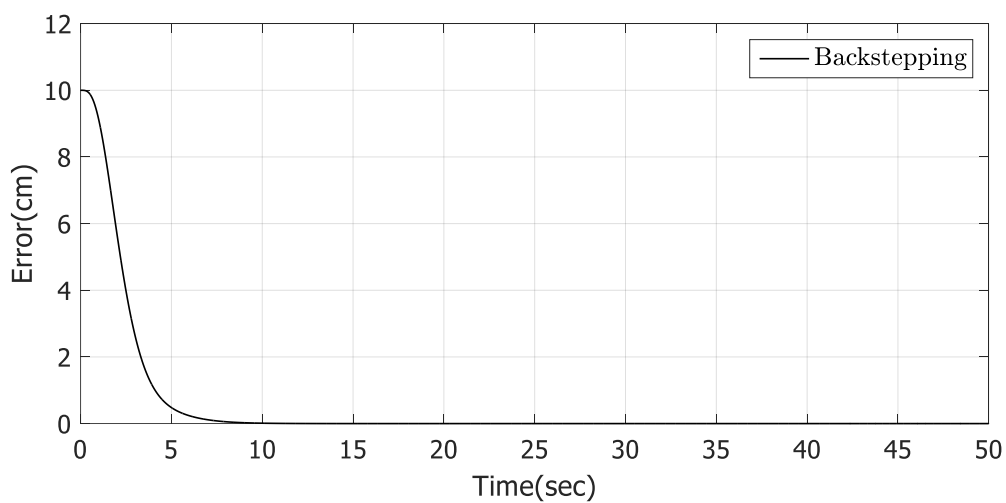
شکل (۴-۴) سرعت زاویه‌ای میله بر حسب درجه بر ثانیه

در شکل (۴-۴) سرعت زاویه‌ای میله نشان داده شده است و پس از آنکه خروجی به مقدار مطلوب خود همگرا شد، مقدار سرعت زاویه‌ای میله هم به صفر رسیده است.



شکل (۵-۴) قانون کنترل اعمالی به سیستم بر حسب میلی نیوتون متر

همان گونه که در شکل (۴-۴) شکل (۵-۴) مشخص می باشد، سیگنال کنترلی پس از پایدارسازی سیستم صفر شده است.



شکل (۶-۴) نمودار خطای خروجی بر حسب سانتی متر

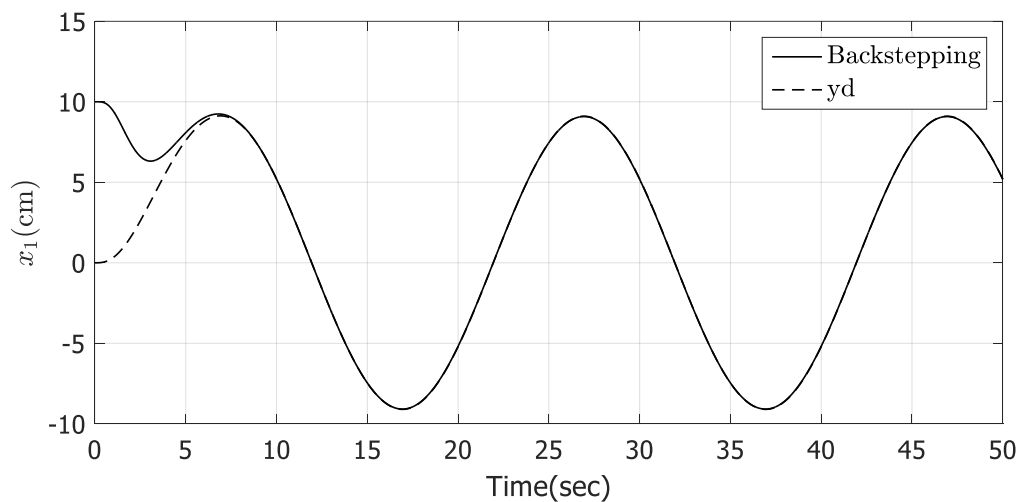
در شکل (۵-۴) نمودار خطای خروجی نشان داده شده و در ابتدا چون موقعیت اولیه گوی در ۱۰ سانتی متر بوده است، خطای اولیه نیز ۱۰ شده و پس از پایداری سازی سیستم، مقدار خطا به صفر همگرا شده است.

۴-۴-۳- ورودی مرجع سینوسی

در این بخش ورودی مرجع را به صورت یک سیگنال سینوسی با دامنه ۱۰ سانتی متر و دوره تناوب ۲۰ ثانیه در نظر گرفته و پس از عبور از مدل مرجع ارائه شده در (۴-۳۸) به سیستم اعمال شده است.

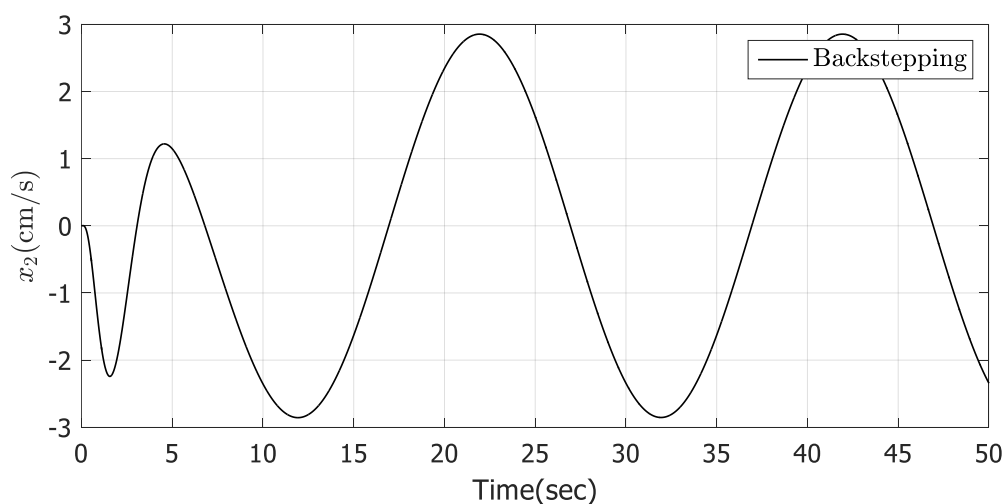
$$y_d = 0.1 \sin\left(\frac{\pi}{10}t\right) \quad (4-41)$$

پس از شبیه سازی، در شکل (۴-۷) موقعیت گوی بر حسب سانتی متر، در شکل (۴-۸) سرعت گوی بر حسب سانتی متر بر ثانیه، در شکل (۴-۹) زاویه میله بر حسب درجه، در شکل (۴-۱۰) سرعت زاویه ای میله بر حسب درجه بر ثانیه، در شکل (۴-۱۱) قانون کنترل اعمالی به سیستم بر حسب میلی نیوتون متر و در شکل (۴-۱۲) نمودار خطای ردگیری خروجی بر حسب سانتی متر نشان داده شده است.



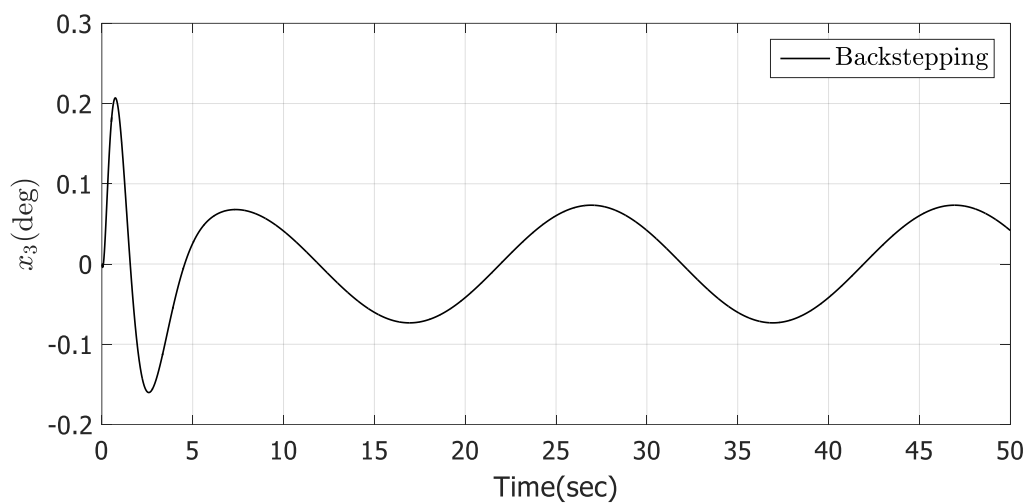
شکل (۴-۷) موقعیت گوی بر حسب سانتی متر

همان طور که در شکل (۴-۷) مشخص است خروجی سیستم پس از زمان ۶ ثانیه به ورودی مرجع که در این بخش یک سیگنال سینوسی بوده است، همگرا شده و در ادامه به خوبی این مسیر را دنبال می کند.



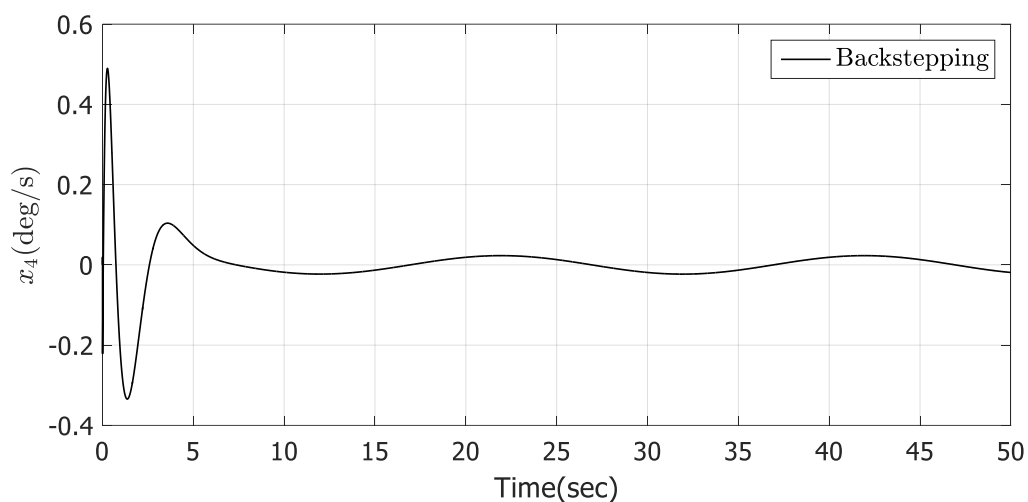
شکل (۸-۴) سرعت گوی بر حسب سانتی متر بر ثانیه

با توجه به شکل (۸-۴) چون مسیر حرکت گوی یک مسیر سینوسی می باشد یعنی گوی به سمت چپ و راست مرکز میله به طور دائم حرکت می کند، تغییرات سرعت گوی هم سینوسی شده است و قابل ذکر است که منفی شدن سرعت گوی هم به علت جهت حرکت گوی می باشد.



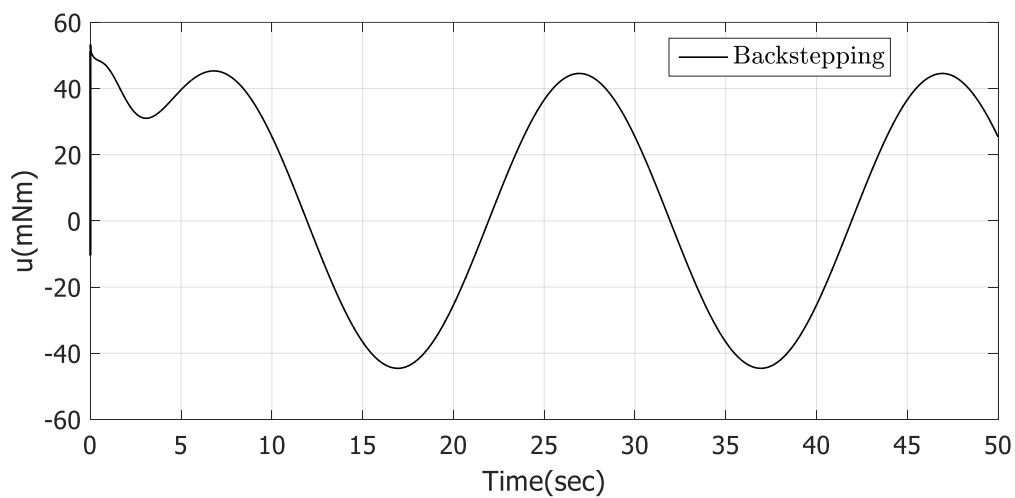
شکل (۹-۴) زاویه میله بر حسب درجه

در شکل (۹-۴) تغییرات زاویه میله نشان داده شده است که پس از همگرا شدن خروجی به سیگنال مرجع که سینوسی می باشد، زاویه میله تغییرات سینوسی وار دارد و به طور دائم به سمت چپ و راست کج می شود.



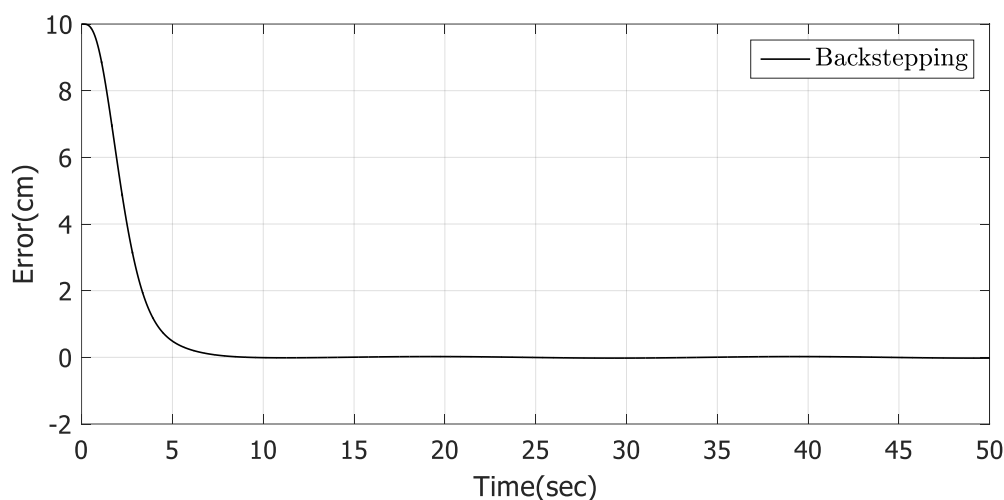
شکل (۴-۱۰) سرعت زاویه‌ای میله بر حسب درجه بر ثانیه

همان‌طور که در شکل (۴-۱۰) مشخص است ابتدا تغییرات سرعت زاویه میله زیاد بوده و پس از همگرا شدن خروجی، سرعت این تغییرات نیز کاهش پیدا کرده است.



شکل (۴-۱۱) قانون کنترل اعمالی به سیستم بر حسب میلی نیوتون متر

همان‌گونه که در شکل (۴-۱۱) مشخص می‌باشد، سیگنال کنترلی که گشتاور موتور بر حسب میلی‌نیوتون متر می‌باشد، پس از پایدارسازی سیستم به صورت سینوسی تغییر کرده تا سیستم را به مسیر مطلوب همگرا کند.

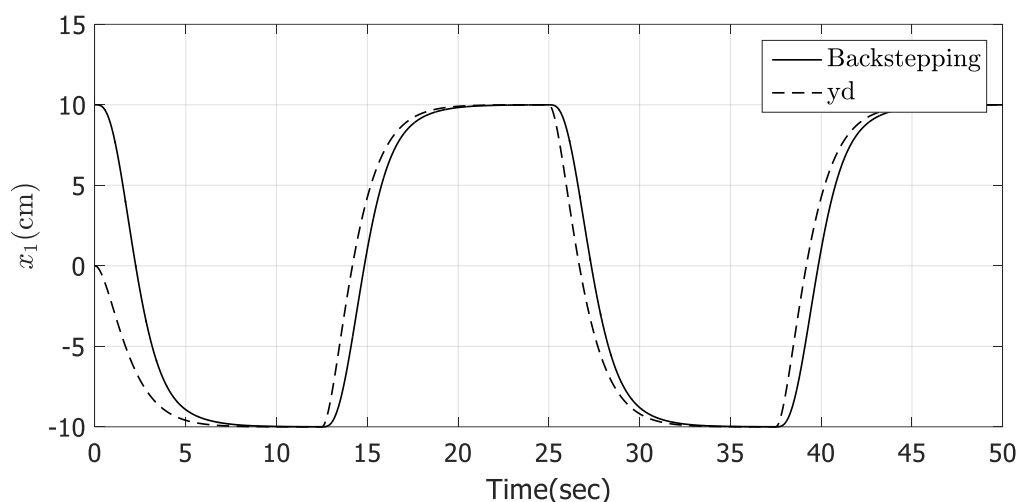


شکل (۱۲-۴) نمودار خطای خروجی بر حسب سانتی متر

در شکل (۱۲-۴) نمودار خطای خروجی نشان داده شده و در ابتدا چون موقعیت اولیه گوی در ۱۰ سانتی متر بوده است، خطای اولیه نیز ۱۰ شده و پس از پایداری سازی سیستم، مقدار خطا به صفر همگرا شده است.

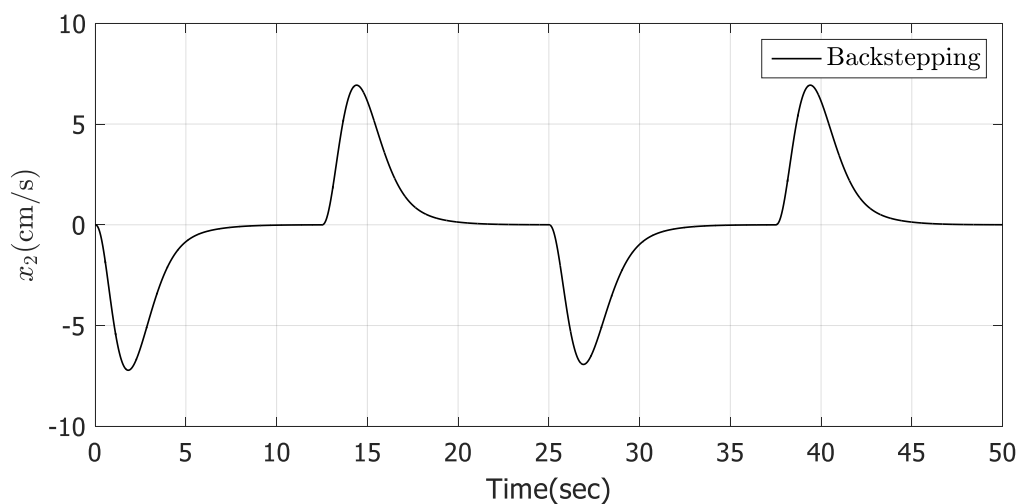
۴-۴-۴- ورودی مرجع مربعی

در این بخش ورودی مرجع را به صورت یک سیگنال مربعی با دامنه ۱۰ سانتی متر و دوره تناوب ۲۵ ثانیه در نظر گرفته و پس از عبور از مدل مرجع ارائه شده در (۴-۳۸) به سیستم اعمال شده است. پس از شبیه سازی، در شکل (۴-۱۳) موقعیت گوی بر حسب سانتی متر، در شکل (۴-۱۴) سرعت گوی بر حسب سانتی متر بر ثانیه، در شکل (۴-۱۵) زاویه میله بر حسب درجه، در شکل (۴-۱۶) سرعت زاویه ای میله بر حسب درجه بر ثانیه، در شکل (۴-۱۷) قانون کنترل اعمالی به سیستم بر حسب میلی-نیوتون متر و در شکل (۴-۱۸) نمودار خطای ردگیری خروجی بر حسب سانتی متر نشان داده شده است.



شکل (۴-۱۳) موقعیت گوی بر حسب سانتی متر

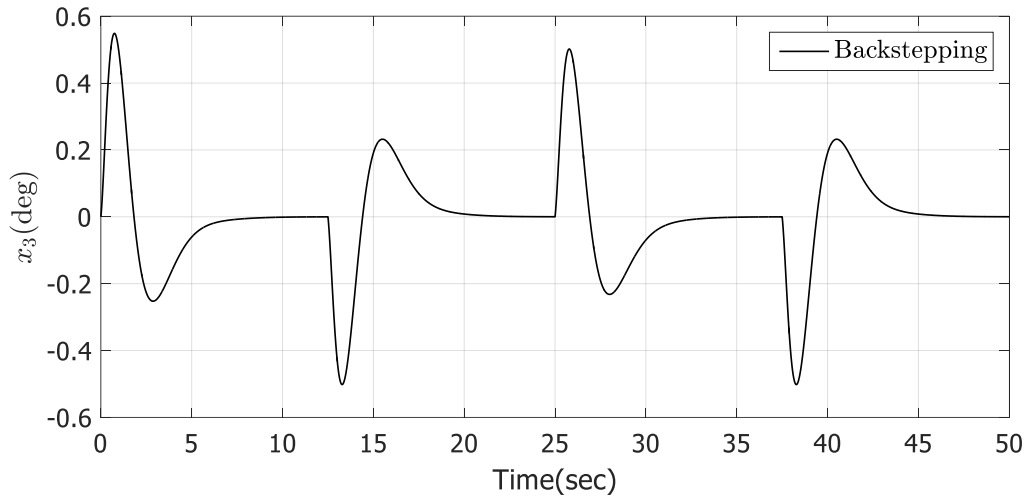
همان طور که در شکل (۴-۱۳) مشخص است خروجی سیستم پس از زمان ۷ ثانیه به ورودی مرجع که در این بخش یک سیگنال مربعی بوده است، همگرا شده و در ادامه این مسیر را تقریباً خوب دنبال می کند. چون تغییرات ورودی مرجع به صورت سریع بوده، به همین دلیل در لحظاتی که سیگنال مربعی تغییر مقدار می دهد، خروجی با حدود هفت ثانیه تاخیر به مقدار اصلی همگرا می شود و قبل از این زمان با کمی خطا سیگنال مرجع را دنبال می کند.



شکل (۴-۱۴) سرعت گوی بر حسب سانتی متر بر ثانیه

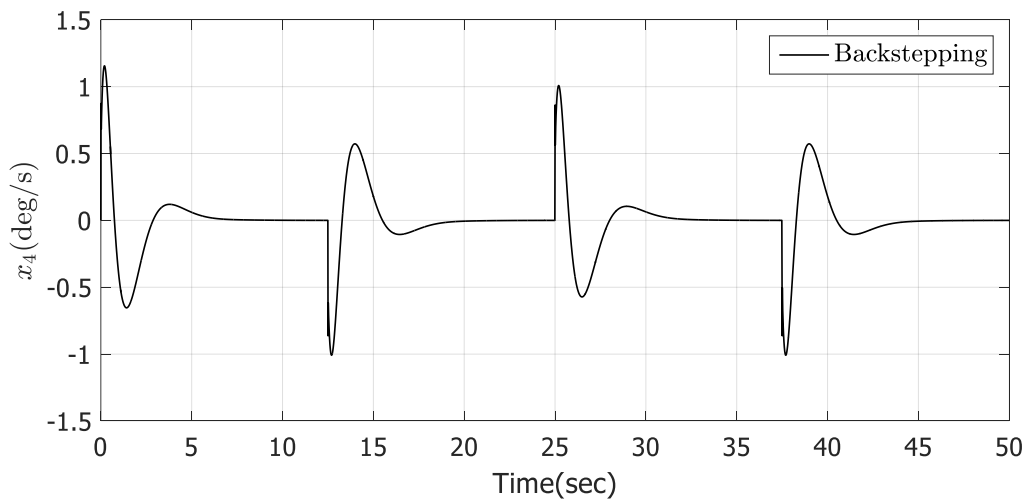
با توجه به شکل (۴-۱۴)، چون مسیر حرکت گوی یک مسیر مربعی می باشد در نتیجه در لحظاتی

که سیگنال مربعی به زمان تغییرات خود می‌رسد، سرعت گوی نیز در آن لحظات با تغییر مواجه می‌شود و در جهت مثبت یا منفی سرعتش افزایش یافته و پس از چند ثانیه دوباره سرعت گوی به صفر می‌رسد.



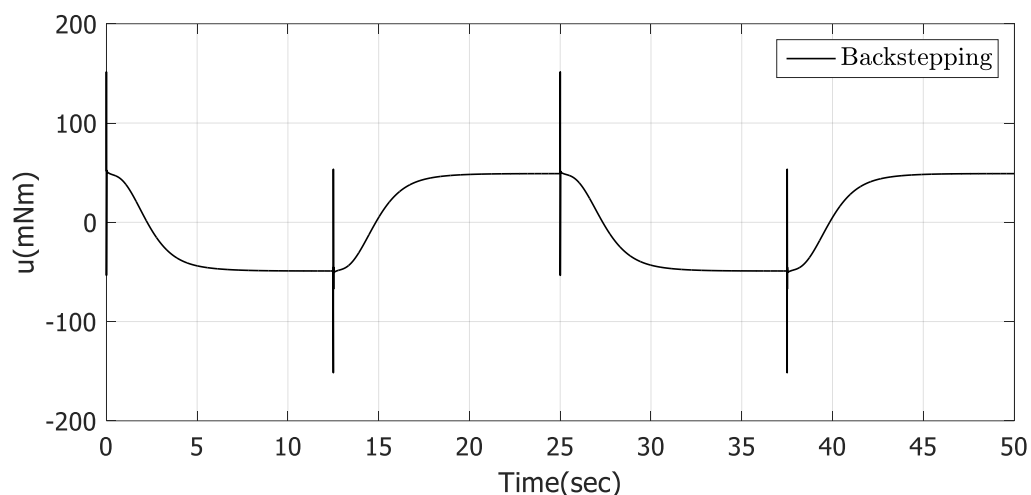
شکل (۴-۱۵) زاویه میله بر حسب درجه

در شکل (۴-۱۵) تغییرات زاویه میله نشان داده شده است و با توجه به اینکه سیگنال مرجع مربعی می‌باشد، این تغییرات طبیعی می‌باشد.



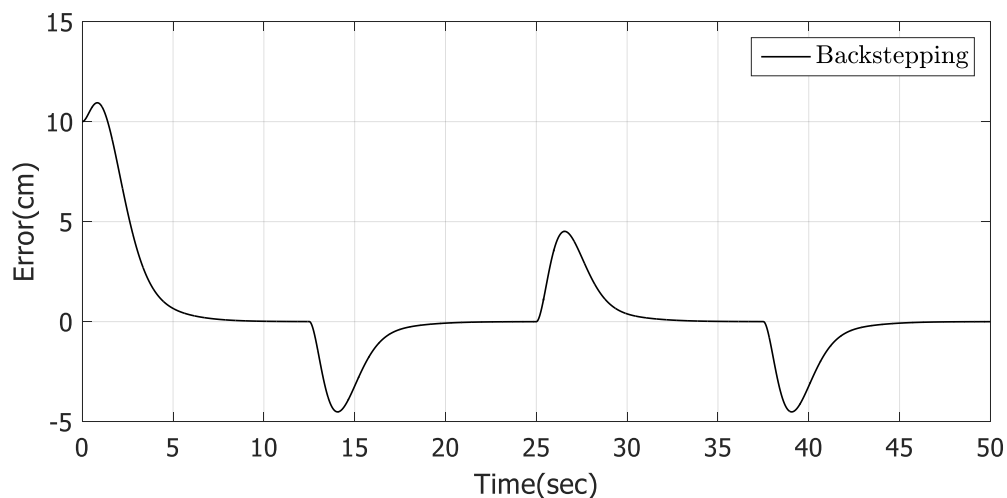
شکل (۴-۱۶) سرعت زاویه‌ای میله بر حسب درجه بر ثانیه

در شکل (۴-۱۶) نیز تغییرات سرعت زاویه‌ای میله نشان داده شده و همان‌طور که مشخص است، در لحظاتی که سیگنال مربعی تغییر مقدار می‌دهد، سرعت زاویه‌ای میله نیز با تغییر مواجه می‌شود.



شکل (۴-۱۷) قانون کنترل اعمالی به سیستم برحسب میلی نیوتون متر

همان گونه که در شکل (۴-۱۷) مشخص می‌باشد، سیگنال کنترلی که همان گشتاور موتور می‌باشد، تغییراتی شبیه به سیگنال مربعی دارد و این امر هم به دلیل نوع سیگنال مرجع انتخاب شده می‌باشد. همچنین در بعضی لحظات یک پیک در سیگنال کنترلی دیده می‌شود که با توجه به روابط (۴-۳۳) و (۴-۳۴)، در رابطه سیگنال کنترل از مشتق x_{3d} و x_{4d} استفاده شده است. در لحظاتی که سیگنال مربعی تغییر مقدار می‌دهد، مقادیر x_{3d} و x_{4d} به صورت آنی تغییر می‌کنند در نتیجه مشتق آنها مقدار بزرگی می‌شود و چون مستقیماً در سیگنال کنترلی وارد می‌شوند باعث ایجاد چنین پیکی می‌شوند.



شکل (۴-۱۸) نمودار خطای خروجی بر حسب سانتی‌متر

در شکل (۴-۱۸) نمودار خطای خروجی نشان داده شده و در ابتدا چون موقعیت اولیه گوی در ۱۰ سانتی متر بوده است، خطای اولیه نیز ۱۰ شده و رفته رفته این خطا به صفر همگرا شده و زمانی که در سیگنال مرجع تغییرات اعمال می شود سریعاً کنترل کننده ردگیری را انجام داده و خطا را صفر می کند.

فصل ۵:

کنترل پسگام فازی تطبیقی غیر مستقیم سیستم گوی و میله بر پایه رویکرد

۵-۱- مقدمه

روش ارائه شده در فصل قبل، با فرض معلوم بودن دینامیک، پارامترهای مدل و هم چنین در دسترس بودن تمامی متغیرهای حالت انجام شده است اما در عمل مقادیر دقیق پارامترها معلوم نبوده و با تغییر هر یک از اجزای آن مانند جرم میله، طول میله و ... کنترل کننده می بایست دوباره تنظیم شود. بعلاوه ممکن است در سیستم دینامیک مدل نشده هم وجود داشته باشد. به همین دلیل در این فصل برای رفع مشکل های ذکر شده، دینامیک های سیستم به صورت فازی تطبیقی تخمین زده شده و همچنین از متغیرهای حالت تخمین زده شده به جای متغیرهای حالت اصلی سیستم استفاده می شود.

کلمه فازی در فرهنگ لغت آکسفورد به صورت "مبهم، نادقیق، درهم و نامشخص" تعریف شده است [۶۷]. با معرفی تئوری فازی توسط "زاده" در سال ۱۹۶۵، این روش توجه پژوهشگران زیادی در علوم مختلف را به خود جلب کرد. از اصلی ترین کاربردهای این روش در حوزه کنترل، می توان به تقریب دینامیک های نامعلوم سیستم های غیرخطی، با استفاده از قوانین فازی اشاره کرد. همین امر سبب شد تا از سیستم های فازی به عنوان تقریب زنده های جامع استفاده شود. به بیان دیگر، از سیستم های فازی می توان به عنوان یک مدل جایگزین برای سیستم های غیرخطی استفاده کرد. هر سیستم فازی متشکل از سه بخش فازی ساز، موتور استنتاج فازی و غیرفازی ساز است. فازی سازها به عنوان نگاشتی از یک نقطه $X \in U \in R^n$ به یک مجموعه فازی A در U مورد استفاده قرار می گیرند. موتور استنتاج فازی، عملیات منطق فازی را برای ترکیب قواعد اگر آنگاه فازی انجام می دهد. از غیرفازی سازها به عنوان یک نگاشت از مجموعه فازی B در V به یک نقطه قطعی $Y \in V$ مورد استفاده قرار می گیرند. هر کدام از این بخش ها انواع مختلفی دارند. به عنوان مثال سه نوع فازی ساز (منفرد، گوسین و مثلثی) و سه نوع غیرفازی ساز (مرکز ثقل، میانگین مراکز و ماکزیمم) و پنج موتور استنتاج فازی (ضرب، مینیمم، لوکاشیویکز، زاده، دنیس رشر) معرفی شده است. در نتیجه با ترکیب موارد فوق الذکر می توان انواع مختلفی از سیستم فازی مختلف را طراحی کرد که برخی از آنها بسیار کاربردی و سودمند و همچنین

بعضی از آن‌ها کاربردی ندارند [۶۷]. در این پایان‌نامه از منطق فازی، برای تقریب توابع غیرخطی موجود در مدل سیستم استفاده می‌گردد. اگر $X \in R^n$ بردار ورودی یک تابع غیرخطی و $f \in R^m$ خروجی آن باشد، موتور استنتاج فازی از مجموعه قواعد اگر آنگاه فازی برای نگاشت بردار ورودی $X \in R^n$ به بردار خروجی $f \in R^m$ استفاده می‌کند. لذا i امین قانون اگر آنگاه فازی که در قسمت پایگاه قواعد ساخته می‌شود به صورت زیر نوشته می‌شود.

$$R^i: \text{IF } X_1 \text{ is } A_1^i \text{ and } X_2 \text{ is } A_2^i \text{ and ... and } X_n \text{ is } A_n^i \text{ THEN } f \text{ is } f^i \quad (1-5)$$

$$i = 1, 2, \dots, m$$

که m و n به ترتیب تعداد ورودی‌ها و تعداد قوانین سیستم فازی می‌باشند و همچنین A_n^i گروه فازی برای n امین ورودی در i امین قانون و f^i مرکز گروه‌های فازی خروجی در قانون i ام می‌باشد. حال اگر از فازی‌ساز منفرد، موتور استنتاج ضرب و غیرفازی‌ساز میانگین مراکز، در طراحی سیستم فازی استفاده کنیم، سیستم فازی موردنظر به صورت زیر خواهد بود [۶۷].

$$f(X) = \frac{\sum_{i=1}^m f^i (\prod_{j=1}^n \mu_{A_j^i}(x_j))}{\sum_{i=1}^m \prod_{j=1}^n \mu_{A_j^i}(x_j)} \quad (2-5)$$

که در آن تعداد $\mu_{A_j^i}$ درجه تعلق به A_j^i می‌باشد و اگر $\xi(X)$ به صورت زیر در نظر گرفته شود

$$\xi(X) = \frac{\prod_{j=1}^n \mu_{A_j^i}(x_j)}{\sum_{i=1}^m \prod_{j=1}^n \mu_{A_j^i}(x_j)} \quad (3-5)$$

و آن به صورت یک بردار، به صورت زیر نوشته شود

$$\xi(X) = [\xi^1 \xi^2 \dots \xi^m]^T \quad (4-5)$$

همچنین اگر مراکز گروه‌های فازی خروجی به صورت بردار زیر در نظر گرفته شود

$$\theta^T = [\theta^1 \quad \theta^2 \quad \dots \quad \theta^m] \quad (5-5)$$

آنگاه می‌توان رابطه (۲-۵) را به صورت زیر نوشت

$$f(X) = \theta^T \xi(X) \quad (6-5)$$

از سیستم فازی (۵-۶) می توان به عنوان یک سیستم تقریب زننده عمومی استفاده کرد اما از آنجایی که عملکرد درست سیستم فازی منوط به انتخاب درست مراکز گروه های فازی خروجی می باشد لذا برای آموزش سیستم فازی از روش های ابتکاری، روش های آموزش با استفاده از الگوریتم نزول گرادیان و روش آموزش با استفاده از الگوریتم حداقل مربعات بازگشتی استفاده می شود. در تمامی روش های مذکور، سیستم فازی بر اساس زوج داده های ورودی - خروجی طراحی می شود. یعنی سیستم را به صورت یک جعبه فرض کرده و با اعمال یک دسته ورودی به سیستم، سیستم فازی از روی خروجی حاصل از این ورودی ها تنظیم می شود. در ضمن همه روش های ذکر شده، هم به صورت برخط و هم به صورت خارج خط می توانند مورد استفاده قرار بگیرند. اما به دلیل آنکه بیشتر روش های مذکور بر اساس نظریه لیپانوف نمی باشند، لذا برای اثبات پایداری سیستم پس از طراحی کنترل کننده فازی و اعمال آن به سیستم، می بایست پایداری سیستم حلقه بسته بررسی شود. اما یکی از روش هایی که می توان برای آموزش سیستم فازی (۵-۶) در نظر گرفت، در نظر گرفتن (۵-۵) به عنوان پارامتر تطبیق است و از آنجایی که پارامترهای تطبیق سیستم کنترل بر اساس لیپانوف به دست می آید لذا پایداری سیستم کنترل تضمین می شود.

۵-۲- کنترل کننده پسگام فازی تطبیقی غیرمستقیم بر پایه رویکرد^۱

در فصل قبل طراحی انجام گرفته با فرض معلوم بودن $f_1(X)$ ، g_1 ، $f_2(X)$ و $g_2(X)$ انجام پذیرفت. از آنجایی که توابع $f_1(X)$ ، g_1 ، $f_2(X)$ و $g_2(X)$ مستقیماً در قانون کنترل طراحی شده در روابط (۴-۳۲) تا (۴-۳۴) وجود دارند، در این بخش با فرض نامعلوم بودن این توابع و همچنین با استفاده از متغیرهای حالت تخمین زده شده توسط مشاهده گر، قانون کنترل طراحی خواهد شد. همان طور که در بخش ۴-۳ در روابط (۴-۲۵) و (۴-۲۶) ذکر شد، سیستم گوی و میله به صورت دو زیرسیستم جداگانه در نظر

¹Indirect Adaptive Fuzzy Backstepping Control (IAFBC)

گرفته شده بودند. در این بخش برای هر زیر سیستم به صورت جداگانه کنترل کننده فازی تطبیقی طراحی خواهد شد.

۵-۲-۱- کنترل کننده پسگام فازی تطبیقی غیرمستقیم برای زیر سیستم اول

ابتدا زیر سیستم اول را در نظر گرفته که به صورت زیر می‌باشد:

$$\begin{aligned} \dot{\hat{x}}_1 &= \hat{x}_2 \\ \dot{\hat{x}}_2 &= b\hat{x}_1\hat{x}_4^2 - bg\sin\hat{x}_3 + d(t) = f_1(\hat{X}_1, \hat{x}_4) + g_1\sin(\hat{x}_3) + d(t) \end{aligned} \quad (۷-۵)$$

که در آن $b = M(JR^{-2} + M)^{-1}$, $f_1(\hat{X}_1, \hat{x}_4) = b\hat{x}_1\hat{x}_4^2$, $g_1 = -bg$, \hat{x}_3 به عنوان ورودی کنترل مجازی، \hat{X}_1 متغیرهای حالت تخمین زده شده، $\hat{X}_1 = [\hat{x}_1 \quad \hat{x}_2]^T$ و $d(t)$ به عنوان اغتشاش خارجی و دینامیک مدل نشده در نظر گرفته شده است.

با بازنویسی (۷-۵) به صورت زیر داریم:

$$\dot{\hat{X}}_1 = A\hat{X}_1 + B(f_1(\hat{X}_1, \hat{x}_4) + g_1\sin\hat{x}_3 + d(t)) \quad (۸-۵)$$

$$y = C^T \hat{X}_1 \quad (۹-۵)$$

که در آن داریم:

$$\begin{aligned} \hat{X}_1 &= [\hat{x}_1 \quad \hat{x}_2]^T = [\hat{r} \quad \dot{\hat{r}}]^T \\ A &= \begin{bmatrix} 0 & 1 \\ 0 & 0 \end{bmatrix}, B = \begin{bmatrix} 0 \\ 1 \end{bmatrix}, C = \begin{bmatrix} 1 \\ 0 \end{bmatrix} \end{aligned} \quad (۱۰-۵)$$

اگر خطای تنظیم $\hat{e} = \hat{x}_1 - y_d$ و بردار خروجی مرجع $X_{d1} = [y_d \quad \dot{y}_d]^T$ باشد، آنگاه خطای بردار تعقیب به صورت زیر تعریف می‌گردد.

$$\hat{E}_1 = [X_{d1} - \hat{X}_1]^T = [\hat{e} \quad \dot{\hat{e}}]^T \quad (۱۱-۵)$$

اگر $d(t) = 0$ آنگاه قانون کنترل مجازی ارائه شده در (۴-۳۲) به صورت زیر پیشنهاد می‌گردد.

$$\hat{x}_3^* = x_{3d} = \sin^{-1}\left(\frac{1}{g_1}[-f_1(\hat{X}_1, \hat{x}_4) + \dot{y}_d + K^T \hat{E}_1]\right) \quad (۱۲-۵)$$

که در آن $K^T = [k_1 \quad k_2]$ بردار بهره فیدبک و \hat{x}_3^* قانون کنترل مجازی ایده‌ال می‌باشد. با توجه به اینکه (A, B) کنترل‌پذیر است K به نحوی انتخاب می‌شود که $A - BK^T$ هرویتز گردد. اما قانون کنترل به علت معلوم نبودن $f_1(\hat{X}_1, \hat{x}_4)$ و g_1 قابل پیاده‌سازی نیست، در نتیجه قانون کنترل فازی به صورت زیر پیشنهاد می‌گردد

$$u_I = \sin^{-1}\left(\frac{1}{\hat{g}_1}[-\hat{f}_1(\hat{X}_1, \hat{x}_4) + \ddot{y}_d + K^T \hat{E}_1 + u_r]\right) \quad (13-5)$$

که در آن u_r برای جبران اغتشاش خارجی و همچنین خطای تخمین پیشنهاد شده است و u_I کنترل کننده معادل قطعی نامیده¹ می‌شود چون اگر $\hat{f}_1(\hat{X}_1, \hat{x}_4)$ و \hat{g}_1 به ترتیب معادل با $f_1(\hat{X}_1, \hat{x}_4)$ ، g_1 شوند آنگاه کنترل کننده u_I همان کنترل کننده ایده‌ال \hat{x}_3^* می‌شود.

با استفاده از روابط (8-5) و (13-5) می‌توان رابطه زیر را استنتاج کرد

$$\begin{aligned} \dot{\hat{X}}_1 = & A\hat{X}_1 + B(K^T \hat{E}_1 + \ddot{y}_d + [f_1(\hat{X}_1, \hat{x}_4) - \hat{f}_1(\hat{X}_1, \hat{x}_4)] + [g_1 - \hat{g}_1]\sin u_I \\ & + u_r + d(t)) \end{aligned} \quad (14-5)$$

پس داریم:

$$\begin{aligned} \dot{\hat{E}}_1 = & \dot{X}_d - A\hat{X}_1 - B(K^T \hat{E}_1 + \ddot{y}_d + [f_1(\hat{X}_1, \hat{x}_4) - \hat{f}_1(\hat{X}_1, \hat{x}_4)] \\ & + [g_1 - \hat{g}_1]\sin u_I + u_r + d(t)) \\ = & \dot{X}_d + A\hat{E}_1 - A\dot{X}_d - B(K^T \hat{E}_1 + \ddot{y}_d + [f_1(\hat{X}_1, \hat{x}_4) - \hat{f}_1(\hat{X}_1, \hat{x}_4)] \\ & + [g_1 - \hat{g}_1]\sin u_I + u_r + d(t)) \\ = & A\hat{E}_1 - BK^T \hat{E}_1 - B([f_1(\hat{X}_1, \hat{x}_4) - \hat{f}_1(\hat{X}_1, \hat{x}_4)] + [g_1 - \hat{g}_1]\sin u_I + u_r \\ & + d(t)) \\ = & (A - BK^T)\hat{E}_1 - B(f_1(\hat{X}_1, \hat{x}_4) - \hat{f}_1(\hat{X}_1, \hat{x}_4|\theta_f^*) + u_r + \hat{f}_1(\hat{X}_1, \hat{x}_4|\theta_f^*) \\ & - \hat{f}_1(\hat{X}_1, \hat{x}_4|\theta_f) + [g_1 - \hat{g}_1]\sin u_I + d(t)) \end{aligned} \quad (15-5)$$

که در آن داریم

$$\theta_{f_1}^* = \arg \min_{\theta_{f_1} \in R^m} [\sup_{\hat{X} \in R^n} |\hat{f}_1(\hat{X}_1, \hat{x}_4|\theta_{f_1}) - f_1(\hat{X}_1, \hat{x}_4)|] \quad (16-5)$$

با در نظر گرفتن خطای تقریب حداقل به صورت $w = [f_1(\hat{X}_1, \hat{x}_4) - \hat{f}_1(\hat{X}_1, \hat{x}_4|\theta_f^*) + d(t)]$

داریم

¹ Certainty Equivalent Controller

$$\dot{\hat{E}}_1 = (A - BK^T)\hat{E}_1 - B(u_r + w + \hat{f}_1(\hat{X}_1, \hat{x}_4|\theta_f^*) - \hat{f}_1(\hat{X}_1, \hat{x}_4|\theta_f) + [g_1 - \hat{g}_1]\sin u_l) \quad (17-5)$$

و همچنین با در نظر گرفتن

$$\hat{f}_1(\hat{X}_1, \hat{x}_4) = \theta_{f_1}^T \eta(\hat{X}_1, \hat{x}_4) \quad (18-5)$$

$$\tilde{g}_1 = g_1 - \hat{g}_1 \quad (19-5)$$

$$\tilde{\theta}_{f_1} = \theta_{f_1}^* - \hat{\theta}_{f_1} \quad (20-5)$$

داریم:

$$\dot{\hat{E}}_1 = (A - BK^T)\hat{E}_1 - B(\tilde{\theta}_{f_1}^T \eta(\hat{X}_1, \hat{x}_4) + \tilde{g}_1 \sin u_l + u_r + w) \quad (21-5)$$

بعلاوه فرض می‌شود که $|w| < q_{m1}$ که در آن q_{m1} یک ثابت نامعلوم می‌باشد.

۵-۲-۲- تحلیل پایداری قانون کنترل و قوانین تطبیق زیرسیستم اول

برای سیستم (۲۱-۵) تابع لیانوف زیر پیشنهاد می‌شود

$$V_1 = \frac{1}{2} \hat{E}_1^T P_1 \hat{E}_1 + \frac{1}{2\gamma_{f_1}} \tilde{\theta}_{f_1}^T \tilde{\theta}_{f_1} + \frac{1}{2\gamma_{g_1}} \tilde{g}_1^2 + \frac{1}{2\gamma_{q_1}} \tilde{q}_1^2 \quad (22-5)$$

که در آن $\tilde{q}_1 = q_{m1} - \hat{q}_1$ و تخمین w است و همچنین ماتریس P_1 معین مثبت متقارن می‌-

باشد. با مشتق‌گیری از (۲۲-۵) داریم:

$$\begin{aligned} \dot{V}_1 &= \frac{1}{2} \dot{\hat{E}}_1^T P_1 \hat{E}_1 + \frac{1}{2} \hat{E}_1^T P_1 \dot{\hat{E}}_1 + \frac{1}{\gamma_{f_1}} \tilde{\theta}_{f_1}^T \dot{\tilde{\theta}}_{f_1} + \frac{1}{\gamma_{g_1}} \tilde{g}_1 \dot{\tilde{g}}_1 + \frac{1}{\gamma_q} \tilde{q}_1 \dot{\tilde{q}}_1 \\ &= \frac{1}{2} \hat{E}_1^T (A_s^T P_1 + P_1 A_s) \hat{E}_1 + \hat{E}_1^T P_1 B (\tilde{\theta}_{f_1}^T \eta(\hat{X}_1, \hat{x}_4) + \tilde{g}_1 \sin u_l + u_r + w) \\ &\quad - \frac{1}{\gamma_{f_1}} \tilde{\theta}_{f_1}^T \dot{\tilde{\theta}}_{f_1} - \frac{1}{\gamma_{g_1}} \tilde{g}_1 \dot{\tilde{g}}_1 - \frac{1}{\gamma_q} \tilde{q}_1 \dot{\tilde{q}}_1 \end{aligned} \quad (23-5)$$

که در آن $A_s = A - BK^T$ و ماتریس P_1 به صورت زیر انتخاب می‌شود

$$A_s^T P_1 + P_1 A_s = -Q_1 \quad (24-5)$$

که در آن Q_1 یک ماتریس معین مثبت متقارن می‌باشد. در نتیجه داریم:

$$\begin{aligned} \dot{V}_1 = & -\frac{1}{2}\hat{E}_1^T Q_1 \hat{E}_1 + \hat{E}_1^T P_1 B(\tilde{\theta}_{f_1}^T \eta(\hat{X}_1, \hat{x}_4) + \tilde{g}_1 \sin u_I + u_r + w) \\ & - \frac{1}{\gamma_{f_1}} \tilde{\theta}_{f_1}^T \dot{\hat{\theta}}_{f_1} - \frac{1}{\gamma_{g_1}} \tilde{g}_1 \dot{\hat{g}}_1 - \frac{1}{\gamma_q} \tilde{q}_1 \dot{\hat{q}}_1 \end{aligned} \quad (25-5)$$

با انتخاب قواعد تطبیق به صورت زیر

$$\dot{\hat{\theta}}_{f_1} = \gamma_{f_1} \hat{E}_1^T P_1 B \eta(\hat{X}_1, \hat{x}_4) \quad (26-5)$$

$$\dot{\hat{g}}_1 = \gamma_{g_1} \hat{E}_1^T P_1 B \sin u_I \quad (27-5)$$

$$\dot{\hat{q}}_1 = \gamma_q |\hat{E}_1^T P_1 B| \quad (28-5)$$

$$u_r = -\hat{q}_1 \operatorname{sgn}(\hat{E}_1^T P_1 B) \quad (29-5)$$

و با ساده سازی (25-5) به صورت زیر داریم:

$$\begin{aligned} \dot{V}_1 = & -\frac{1}{2}\hat{E}_1^T Q_1 \hat{E}_1 + \tilde{\theta}_{f_1}^T (\hat{E}_1^T P_1 B \eta(\hat{X}_1, \hat{x}_4) - \frac{1}{\gamma_{f_1}} \dot{\hat{\theta}}_{f_1}) + \tilde{g}_1 (\hat{E}_1^T P_1 B \sin u_I \\ & - \frac{1}{\gamma_{g_1}} \dot{\hat{g}}_1) + \hat{E}_1^T P_1 B (u_r + w) - \frac{1}{\gamma_q} \tilde{q}_1 \dot{\hat{q}}_1 \end{aligned} \quad (30-5)$$

با جایگذاری (26-5) و (27-5) در (30-5) نتیجه می شود:

$$\dot{V}_1 = -\frac{1}{2}\hat{E}_1^T Q_1 \hat{E}_1 + \hat{E}_1^T P_1 B (u_r + w) - \frac{1}{\gamma_q} \tilde{q}_1 \dot{\hat{q}}_1 \quad (31-5)$$

در ادامه با جایگذاری (28-5) و (29-5) در (31-5) داریم:

$$\begin{aligned} \dot{V}_1 = & -\frac{1}{2}\hat{E}_1^T Q_1 \hat{E}_1 - \hat{q}_1 |\hat{E}_1^T P_1 B| + \hat{E}_1^T P_1 B w - (q_{m1} - \hat{q}_1) |\hat{E}_1^T P_1 B| \\ = & -\frac{1}{2}\hat{E}_1^T Q_1 \hat{E}_1 + \hat{E}_1^T P_1 B w - q_{m1} |\hat{E}_1^T P_1 B| \\ \leq & -\frac{1}{2}\hat{E}_1^T Q_1 \hat{E}_1 + |\hat{E}_1^T P_1 B| |w| - q_{m1} |\hat{E}_1^T P_1 B| \\ = & -\frac{1}{2}\hat{E}_1^T Q_1 \hat{E}_1 + |\hat{E}_1^T P_1 B| (|w| - q_{m1}) \end{aligned} \quad (32-5)$$

با توجه به فرض $|w| < q_{m1}$ ، عبارت $|\hat{E}_1^T P_1 B| (|w| - q_{m1})$ همواره منفی می باشد و در بدترین

حالت با جایگذاری $|w| = q_{m1}$ در رابطه (32-5) نتیجه می شود

$$\dot{V}_1 \leq -\frac{1}{2}\hat{E}_1^T Q_1 \hat{E}_1 \leq -\frac{1}{2}\lambda_{\min}(Q_1) \|\hat{E}_1\|^2 \quad (33-5)$$

۵-۲-۳- کنترل کننده پسگام فازی تطبیقی غیرمستقیم برای زیر سیستم دوم

با تعریف $\hat{X}_2 = [\hat{x}_3 \quad \hat{x}_4]^T$ زیر سیستم دوم را در نظر گرفته که به صورت زیر می باشد

$$\begin{aligned} \dot{\hat{x}}_3 &= \hat{x}_4 \\ \dot{\hat{x}}_4 &= a(\tau - 2M\hat{x}_1\hat{x}_2\hat{x}_4 - Mg\hat{x}_1\cos\hat{x}_3) + d(t) = f_2(\hat{X}_1, \hat{X}_2) + g_2(\hat{x}_1)\tau + d(t) \end{aligned} \quad (34-5)$$

که در آن $a = \frac{1}{M\hat{x}_1^2 + J + J_b}$ بعنوان اغتشاش خارجی و دینامیک مدل نشده و همچنین

$$f_2(\hat{X}_1, \hat{X}_2) = \frac{1}{M\hat{x}_1^2 + J + J_b} (-2M\hat{x}_1\hat{x}_2\hat{x}_4 - Mg\hat{x}_1\cos\hat{x}_3) \quad (35-5)$$

$$g_2(\hat{x}_1) = \frac{1}{M\hat{x}_1^2 + J + J_b} \quad (36-5)$$

می باشد.

با بازنویسی (34-5) به صورت زیر داریم:

$$\dot{\hat{X}}_2 = A\hat{X}_2 + B(f_2(\hat{X}_1, \hat{X}_2) + g_2(\hat{x}_1)\tau + d(t)) \quad (37-5)$$

$$y = C^T \hat{X}_2 \quad (38-5)$$

که در آن داریم:

$$\begin{aligned} \hat{X}_2 &= [\hat{x}_3 \quad \hat{x}_4]^T = [\hat{\theta} \quad \dot{\hat{\theta}}]^T \\ A &= \begin{bmatrix} 0 & 1 \\ 0 & 0 \end{bmatrix}, B = \begin{bmatrix} 0 \\ 1 \end{bmatrix}, C = \begin{bmatrix} 1 \\ 0 \end{bmatrix} \end{aligned} \quad (39-5)$$

اگر خطای تنظیم $\hat{e} = \hat{x}_3 - x_{3d}$ و بردار خروجی مرجع $X_{d2} = [x_{3d} \quad \dot{x}_{3d}]^T$ باشد، آنگاه خطای

برداری تعقیب به صورت زیر تعریف می گردد.

$$\hat{E}_2 = [X_{d2} - \hat{X}_2]^T = [\hat{e} \quad \dot{\hat{e}}]^T \quad (40-5)$$

اگر $d(t) = 0$ آنگاه قانون کنترل ارائه شده به صورت زیر پیشنهاد می گردد.

$$\tau^* = \frac{1}{g_2(\hat{x}_1)} [-f_2(\hat{X}_1, \hat{X}_2) + \ddot{x}_{3d} + K^T \hat{E}_2] \quad (41-5)$$

که در آن $K^T = [k_1 \quad k_2]$ بردار بهره فیدبک و τ^* قانون کنترل ایده‌ال می باشد. با توجه به اینکه

(A, B) کنترل پذیر است K به نحوی انتخاب می شود که $A - BK^T$ هرwitz گردد. اما قانون کنترل به

علت معلوم نبودن $f_2(\hat{X}_1, \hat{X}_2)$ و $g_2(\hat{x}_1)$ قابل پیاده‌سازی نیست، در نتیجه قانون کنترل فازی به صورت

زیر پیشنهاد می‌گردد

$$\tau_I = \frac{1}{\hat{g}_2(\hat{x}_1)} [-\hat{f}_2(\hat{X}_1, \hat{X}_2) + \ddot{x}_{3d} + K^T \hat{E}_2 + u_r] \quad (42-5)$$

که در آن u_r برای جبران اغتشاش خارجی و همچنین خطای تخمین پیشنهاد شده است و همچنین τ_I کنترل کننده معادل قطعی نامیده می‌شود چون اگر $\hat{f}_2(\hat{X}_1, \hat{X}_2)$ و $\hat{g}_2(\hat{x}_1)$ به ترتیب معادل با $f_2(\hat{X}_1, \hat{X}_2)$ ، $g_2(\hat{x}_1)$ شوند آنگاه کنترل کننده τ_I همان کنترل کننده ایده ال τ^* می‌شود.

با استفاده از روابط (43-5) و (42-5) می‌توان رابطه زیر را استنتاج کرد

$$\begin{aligned} \dot{\hat{X}}_2 = & A\hat{X}_2 + B(K^T \hat{E}_2 + \ddot{x}_{3d} + [f_2(\hat{X}_1, \hat{X}_2) - \hat{f}_2(\hat{X}_1, \hat{X}_2)] \\ & + [g_2(\hat{x}_1) - \hat{g}_2(\hat{x}_1)]\tau_I + u_r + d(t) \end{aligned} \quad (43-5)$$

پس داریم:

$$\begin{aligned} \dot{\hat{E}}_2 = & \dot{X}_{d2} - A\hat{X}_2 - B(K^T \hat{E}_2 + \ddot{x}_{3d} + [f_2(\hat{X}_1, \hat{X}_2) - \hat{f}_2(\hat{X}_1, \hat{X}_2)] \\ & + [g_2(\hat{x}_1) - \hat{g}_2(\hat{x}_1)]\tau_I + u_r + d(t)) \\ = & \dot{X}_{d2} + A\hat{E}_2 - AX_{d2} - B(K^T \hat{E}_2 + \ddot{x}_{3d} + [f_2(\hat{X}_1, \hat{X}_2) - \hat{f}_2(\hat{X}_1, \hat{X}_2)] \\ & + [g_2(\hat{x}_1) - \hat{g}_2(\hat{x}_1)]\tau_I + u_r + d(t)) \\ = & A\hat{E}_2 - BK^T \hat{E}_2 - B([f_2(\hat{X}_1, \hat{X}_2) - \hat{f}_2(\hat{X}_1, \hat{X}_2)] + [g_2(\hat{x}_1) - \hat{g}_2(\hat{x}_1)]\tau_I \\ & + u_r + d(t)) \\ = & (A - BK^T)\hat{E}_2 - B(f_2(\hat{X}_1, \hat{X}_2) - \hat{f}_2(\hat{X}_1, \hat{X}_2|\theta_f^*) + u_r + \hat{f}_2(\hat{X}_1, \hat{X}_2|\theta_f^*) \\ & - \hat{f}_2(\hat{X}_1, \hat{X}_2|\theta_f) + [g_2(\hat{x}_1) - \hat{g}_2(\hat{x}_1|\theta_f^*) + \hat{g}_2(\hat{x}_1|\theta_f^*) \\ & - \hat{g}_2(\hat{x}_1)]\tau_I + d(t)) \end{aligned} \quad (44-5)$$

که در آن داریم

$$\theta_{f_2}^* = \arg \min_{\theta_{f_2} \in R^m} [\sup_{\hat{X} \in R^n} |\hat{f}_2(\hat{X}_1, \hat{X}_2|\theta_{f_2}) - f_2(\hat{X}_1, \hat{X}_2)|] \quad (45-5)$$

$$\theta_{g_2}^* = \arg \min_{\theta_{g_2} \in R^m} [\sup_{\hat{x} \in R^n} |\hat{g}_2(\hat{x}_1|\theta_{g_2}) - g_2(\hat{x}_1)|] \quad (46-5)$$

با در نظر گرفتن خطای تقریب حداقل به صورت

$$w = [f_2(\hat{X}_1, \hat{X}_2) - \hat{f}_2(\hat{X}_1, \hat{X}_2|\theta_f^*)] + [g_2(\hat{x}_1) - \hat{g}_2(\hat{x}_1|\theta_f^*)]\tau_I - d(t) \quad (47-5)$$

داریم

$$\begin{aligned} \dot{\hat{E}}_2 = & (A - BK^T)\hat{E}_2 - B(u_r + w + \hat{f}_2(\hat{X}_1, \hat{X}_2|\theta_f^*) - \hat{f}_2(\hat{X}_1, \hat{X}_2|\theta_f) \\ & + [\hat{g}_2(\hat{x}_1|\theta_f^*) - \hat{g}_2(\hat{x}_1)]\tau_I) \end{aligned} \quad (48-5)$$

و همچنین با در نظر گرفتن

$$\hat{f}_2(\hat{X}_1, \hat{X}_2) = \theta_{f_2}^T \eta(\hat{X}_1, \hat{X}_2) \quad (49-5)$$

$$\hat{g}_2(\hat{x}_1) = \theta_{g_2}^T \xi(\hat{x}_1) \quad (50-5)$$

$$\tilde{\theta}_{f_2} = \theta_{f_2}^* - \hat{\theta}_{f_2} \quad (51-5)$$

$$\tilde{\theta}_{g_2} = \theta_{g_2}^* - \hat{\theta}_{g_2} \quad (52-5)$$

داریم:

$$\dot{\hat{E}}_2 = (A - BK^T)\hat{E}_2 - B(\tilde{\theta}_{f_1}^T \eta(\hat{X}_1, \hat{X}_2) + \tilde{\theta}_{g_2}^T \xi(\hat{x}_1)\tau_I + u_r + w) \quad (53-5)$$

بعلاوه فرض می‌شود که $|w| < q_{m2}$ که در آن q_{m2} یک ثابت نامعلوم می‌باشد.

۵-۲-۴- تحلیل پایداری قانون کنترل و قوانین تطبیق زیرسیستم دوم

برای سیستم (۵۳-۵) تابع لیاپانوف زیر پیشنهاد می‌شود

$$V_2 = \frac{1}{2} \hat{E}_2^T P_2 \hat{E}_2 + \frac{1}{2\gamma_{f_2}} \tilde{\theta}_{f_2}^T \tilde{\theta}_{f_2} + \frac{1}{2\gamma_{g_2}} \tilde{\theta}_{g_2}^T \tilde{\theta}_{g_2} + \frac{1}{2\gamma_{q_2}} \tilde{q}_2^2 \quad (54-5)$$

که در آن $\tilde{q}_2 = q_{m2} - \hat{q}_2$ و تخمین w است و همچنین ماتریس P_2 معین مثبت متقارن می-

باشد. با مشتق‌گیری از (۵۵-۵) داریم:

$$\begin{aligned} \dot{V}_2 &= \frac{1}{2} \dot{\hat{E}}_2^T P_2 \hat{E}_2 + \frac{1}{2} \hat{E}_2^T P_2 \dot{\hat{E}}_2 + \frac{1}{\gamma_{f_2}} \tilde{\theta}_{f_2}^T \dot{\tilde{\theta}}_{f_2} + \frac{1}{\gamma_{g_2}} \tilde{\theta}_{g_2}^T \dot{\tilde{\theta}}_{g_2} + \frac{1}{\gamma_{q_2}} \tilde{q}_2 \dot{\tilde{q}}_2 \\ &= \frac{1}{2} \hat{E}_2^T (A_s^T P_2 + P_2 A_s) \hat{E}_2 + \hat{E}_2^T P_2 B (\tilde{\theta}_{f_2}^T \eta(\hat{X}_1, \hat{X}_2) + \tilde{\theta}_{g_2}^T \xi(\hat{x}_1)\tau_I + u_r \\ &\quad + w) - \frac{1}{\gamma_{f_2}} \tilde{\theta}_{f_2}^T \dot{\tilde{\theta}}_{f_2} - \frac{1}{\gamma_{g_2}} \tilde{\theta}_{g_2}^T \dot{\tilde{\theta}}_{g_2} - \frac{1}{\gamma_{q_2}} \tilde{q}_2 \dot{\tilde{q}}_2 \end{aligned} \quad (55-5)$$

که در آن $A_s = A - BK^T$ و ماتریس P_2 به‌صورت زیر انتخاب می‌شود

$$A_s^T P_2 + P_2 A_s = -Q_2 \quad (56-5)$$

که در آن Q_2 یک ماتریس معین مثبت متقارن می‌باشد. در نتیجه داریم:

$$\begin{aligned} \dot{V}_2 = & -\frac{1}{2}\hat{E}_2^T Q_2 \hat{E}_2 + \hat{E}_2^T P_2 B (\tilde{\theta}_{f_2}^T \eta(\hat{X}_1, \hat{X}_2) + \tilde{\theta}_{g_2}^T \xi(\hat{x}_1) \tau_I + u_r + w) \\ & - \frac{1}{\gamma_{f_2}} \tilde{\theta}_{f_2}^T \dot{\hat{\theta}}_{f_2} - \frac{1}{\gamma_{g_2}} \tilde{\theta}_{g_2}^T \dot{\hat{\theta}}_{g_2} - \frac{1}{\gamma_{q_2}} \tilde{q}_2 \dot{\hat{q}}_2 \end{aligned} \quad (57-5)$$

با انتخاب قواعد تطبیق به صورت زیر

$$\dot{\hat{\theta}}_{f_2} = \gamma_{f_2} \hat{E}_2^T P_2 B \eta(\hat{X}_1, \hat{X}_2) \quad (58-5)$$

$$\dot{\hat{\theta}}_{g_2} = \gamma_{g_2} \hat{E}_2^T P_2 B \xi(\hat{x}_1) \tau_I \quad (59-5)$$

$$\dot{\hat{q}}_2 = \gamma_{q_2} |\hat{E}_2^T P_2 B| \quad (60-5)$$

$$u_r = -\hat{q}_2 \operatorname{sgn}(\hat{E}_2^T P_2 B) \quad (61-5)$$

و با ساده سازی (57-5) به صورت زیر داریم:

$$\begin{aligned} \dot{V}_2 = & -\frac{1}{2}\hat{E}_2^T Q_2 \hat{E}_2 + \tilde{\theta}_{f_2}^T (\hat{E}_2^T P_2 B \eta(\hat{X}_1, \hat{X}_2) - \frac{1}{\gamma_{f_2}} \dot{\hat{\theta}}_{f_2}) + \tilde{\theta}_{g_2}^T (\hat{E}_2^T P_2 B \xi(\hat{x}_1) \tau_I \\ & - \frac{1}{\gamma_{g_2}} \dot{\hat{\theta}}_{g_2}) + \hat{E}_2^T P_2 B (u_r + w) - \frac{1}{\gamma_{q_2}} \tilde{q}_2 \dot{\hat{q}}_2 \end{aligned} \quad (62-5)$$

با جایگذاری (58-5) و (59-5) در (62-5) نتیجه می شود:

$$\dot{V}_2 = -\frac{1}{2}\hat{E}_2^T Q_2 \hat{E}_2 + \hat{E}_2^T P_2 B (u_r + w) - \frac{1}{\gamma_{q_2}} \tilde{q}_2 \dot{\hat{q}}_2 \quad (63-5)$$

در ادامه با جایگذاری (60-5) و (61-5) در (63-5) داریم:

$$\begin{aligned} \dot{V}_2 = & -\frac{1}{2}\hat{E}_2^T Q_2 \hat{E}_2 - \hat{q}_2 |\hat{E}_2^T P_2 B| + \hat{E}_2^T P_2 B w - (q_{m2} - \hat{q}_2) |\hat{E}_2^T P_2 B| \\ = & -\frac{1}{2}\hat{E}_2^T Q_2 \hat{E}_2 + \hat{E}_2^T P_2 B w - q_{m2} |\hat{E}_2^T P_2 B| \\ \leq & -\frac{1}{2}\hat{E}_2^T Q_2 \hat{E}_2 + |\hat{E}_2^T P_2 B| |w| - q_{m2} |\hat{E}_2^T P_2 B| \\ = & -\frac{1}{2}\hat{E}_2^T Q_2 \hat{E}_2 + |\hat{E}_2^T P_2 B| (|w| - q_{m2}) \end{aligned} \quad (64-5)$$

با توجه به فرض $|w| < q_{m2}$ ، عبارت $|\hat{E}_2^T P_2 B| (|w| - q_{m2})$ همواره منفی می باشد و در بدترین

حالت با جایگذاری $|w| = q_{m2}$ در رابطه (64-5) نتیجه می شود

$$\dot{V}_2 \leq -\frac{1}{2}\hat{E}_2^T Q_2 \hat{E}_2 \leq -\frac{1}{2}\lambda_{\min}(Q_2) \|\hat{E}_2\|^2 \quad (65-5)$$

در نتیجه برای معادلات کامل سیستم گوی و میله تابع لیاپانوف زیر پیشنهاد می‌گردد

$$V = V_1 + V_2 = \frac{1}{2} \hat{E}_1^T P_1 \hat{E}_1 + \frac{1}{2} \hat{E}_2^T P_2 \hat{E}_2 + \frac{1}{2\gamma_{f_1}} \tilde{\theta}_{f_1}^T \tilde{\theta}_{f_1} + \frac{1}{2\gamma_{g_1}} \tilde{g}_1^2 + \frac{1}{2\gamma_{q_1}} \tilde{q}_1^2 + \frac{1}{2\gamma_{f_2}} \tilde{\theta}_{f_2}^T \tilde{\theta}_{f_2} + \frac{1}{2\gamma_{g_2}} \tilde{\theta}_{g_2}^T \tilde{\theta}_{g_2} + \frac{1}{2\gamma_{q_2}} \tilde{q}_2^2 \quad (66-5)$$

که در آن V_1 و V_2 از روابط (5-22) و (5-54) جایگذاری شده‌اند و چون V_1 و V_2 همواره مثبت می‌باشند در نتیجه با توجه به (66-5)، V هم مثبت معین می‌باشد. در ادامه از (66-5) مشتق گرفته و داریم:

$$\dot{V} = \dot{V}_1 + \dot{V}_2 \quad (67-5)$$

با جایگذاری (5-33) و (5-65) در (67-5) داریم:

$$\dot{V} = -\frac{1}{2} \hat{E}_1^T Q_1 \hat{E}_1 - \frac{1}{2} \hat{E}_2^T Q_2 \hat{E}_2 \leq -\frac{1}{2} \lambda_{\min}(Q_1) \|\hat{E}_1\|^2 - \frac{1}{2} \lambda_{\min}(Q_2) \|\hat{E}_2\|^2 \quad (68-5)$$

با تعریف $\hat{E} = [\hat{E}_1^T \ \hat{E}_2^T]^T$ و همچنین β به صورتی که

$$\beta = \min\{\lambda_{\min}(Q_1), \lambda_{\min}(Q_2)\} \quad (69-5)$$

داریم:

$$\dot{V} \leq -\frac{1}{2} \beta \|\hat{E}\|^2 \quad (70-5)$$

با انتگرال گیری از (70-5) داریم

$$\int_0^\infty \|\hat{E}\|^2 dt \leq \frac{V(0) - V(\infty)}{\frac{1}{2}\beta} \quad (71-5)$$

با توجه به (70-5) داریم

$$V(t) \leq V(0) \quad (72-5)$$

همچنین با توجه (71-5)، $\|\hat{E}\|$ موجود و محدود است یعنی $\hat{E}(t) \in L_2$. از طرفی با توجه به (5-

66) و می‌توان نتیجه گرفت که $\hat{E}_1(t) \in L_\infty$ ، $\hat{E}_2(t) \in L_\infty$ و همچنین $\theta_{f_1}, g_1, q_1, \theta_{f_2}, \theta_{g_2}, q_2$ نیز

محدود می‌باشند. از معادله‌های (۲۱-۵) و (۵۳-۵) نتیجه می‌شود که $\hat{E}(t) \in L_\infty$ و این مورد نشان می‌دهد $\hat{E}(t)$ یکنواخت پیوسته است. در نتیجه با استفاده از لم باربالات داریم:

$$\lim_{t \rightarrow \infty} \hat{E}(t) = 0 \quad (۷۳-۵)$$

در نتیجه $\hat{X} \in L_\infty$ خواهد بود. با توجه به روابط (۳۲-۴) تا (۳۶-۴)، به صورت خلاصه کنترل کننده

فازی تطبیقی غیرمستقیم برای سیستم گوی و میله به صورت زیر به دست می‌آید

$$x_{3d} = \sin^{-1} \left(\frac{1}{\hat{g}_1} (-\hat{f}_1(\hat{X}) + \dot{y}_d - c_2(\hat{x}_2 - \dot{y}_d) - c_1(\hat{x}_1 - y_d)) \right) \quad (۷۴-۵)$$

$$x_{4d} = \dot{x}_{3d} - k_1(\hat{x}_3 - x_{3d}) - \frac{1}{\gamma_1} \frac{\partial V_1}{\partial e_2} \hat{g}_1 \frac{\sin(\hat{x}_3) - \sin(x_{3d})}{x_3 - x_{3d}} \quad (۷۵-۵)$$

$$\tau = \frac{1}{\hat{g}_2(\hat{X})} \left(\dot{x}_{4d} - k_2(\hat{x}_4 - x_{4d}) - \frac{\gamma_1}{\gamma_2} (\hat{x}_3 - x_{3d}) - \hat{f}_2(\hat{X}) \right) \quad (۷۶-۵)$$

که در آن V_1 در (۳۵-۴) تعریف شده است.

۵-۳- شبیه‌سازی کنترل کننده پسگام فازی تطبیقی غیرمستقیم

۵-۳-۱- مقادیر پارامترها و شرایط اولیه

جهت بررسی عملکرد کنترل کننده پسگام فازی تطبیقی غیرمستقیم، کنترل کننده طراحی شده را بر روی سیستم گوی و میله شبیه‌سازی کرده و در ادامه مورد بررسی قرار می‌گیرد. مقادیر پارامترهای مورداستفاده در این سیستم در جدول (۱-۴) درج شده است.

توابع عضویت هر کدام از سیستم‌های فازی به صورت زیر در نظر گرفته شده است.

$$\mu_{A_1}^1(x_1) = \frac{1}{1 + e^{5(x_1+1)}} \quad (۷۷-۵)$$

$$\mu_{A_1}^2(x_1) = \frac{1}{1 + e^{-(x_1^2)}} \quad (۷۸-۵)$$

$$\mu_{A_1}^3(x_1) = \frac{1}{1 + e^{-5(-x_1-1)}} \quad (۷۹-۵)$$

در ادامه پارامترهای موردنیاز در کنترل کننده پسگام طراحی شده در جدول (۱-۵) آورده شده است.

جدول (۵-۱) پارامترهای موردنیاز کنترل کننده پسگام

پارامترهای بخش پسگام	مقدار
c_1	2
c_2	5
γ_1	1
γ_2	1
k_1	0.5
k_2	20

همچنین پارامترهای موردنیاز در کنترل کننده فازی تطبیقی غیرمستقیم طراحی شده در جدول (۵-۲) آورده شده است.

جدول (۵-۲) پارامترهای موردنیاز کنترل کننده فازی تطبیقی غیرمستقیم

پارامترهای بخش فازی تطبیقی غیر مستقیم زیرسیستم اول	مقدار	پارامترهای بخش فازی تطبیقی غیر مستقیم زیرسیستم دوم	مقدار
γ_{f_1}	0.005	γ_{f_2}	0.005
γ_{g_1}	10	γ_{g_2}	0.01
γ_q	0.001	γ_q	0.001
$\hat{\theta}_{f_1}(0)$	[zeros(1,9)]	$\hat{\theta}_{f_2}(0)$	[zeros(1,81)]
$\hat{g}_1(0)$	7	$\hat{\theta}_{g_2}(0)$	[0.5 0.5 0.5]
$\hat{q}(0)$	0	$\hat{q}(0)$	0

که در آن $\hat{\theta}_{f_1}(0)$ ، $\hat{\theta}_{f_2}(0)$ ، $\hat{g}_1(0)$ ، $\hat{\theta}_{g_2}(0)$ و $\hat{q}(0)$ به ترتیب بیانگر شرایط اولیه $\hat{\theta}_{f_1}$ ، $\hat{\theta}_{f_2}$ ، \hat{g}_1 ، $\hat{\theta}_{g_2}$ و \hat{q} می باشد.

در ادامه برای بررسی عملکرد کنترل کننده طراحی شده، نتایج شبیه سازی روش ارائه شده با روش فازی تطبیقی سطح لغزشی^۱ که در [۳۵] ارائه شد، مقایسه می شود. همچنین در هر دو روش از مشاهده گر طراحی شده در فصل ۳ با پارامترهای ذکر شده در جدول (۳-۱) استفاده شده است.

برای اینکه مقایسه در شرایط یکسان انجام پذیرد، شرایط اولیه متغیرهای حالت سیستم اصلی و مشاهده گر در هر دو روش به صورت زیر در نظر گرفته می شود.

$$X(0) = [0.1 \ 0.1 \ 0 \ 0.1] \quad (۵-۸۰)$$

$$\hat{X}(0) = [0.1 \ 0 \ 0 \ 0] \quad (۵-۸۱)$$

^۱ Adaptive Fuzzy Dynamic Surface Control (AFDSC)

در ادامه از دو ورودی مرجع سینوسی و مربعی برای مقایسه استفاده شده است. مدل مرجع نیز به به صورت زیر انتخاب شده است.

$$G(s) = \frac{1}{s^2 + 2s + 1} \quad (82-5)$$

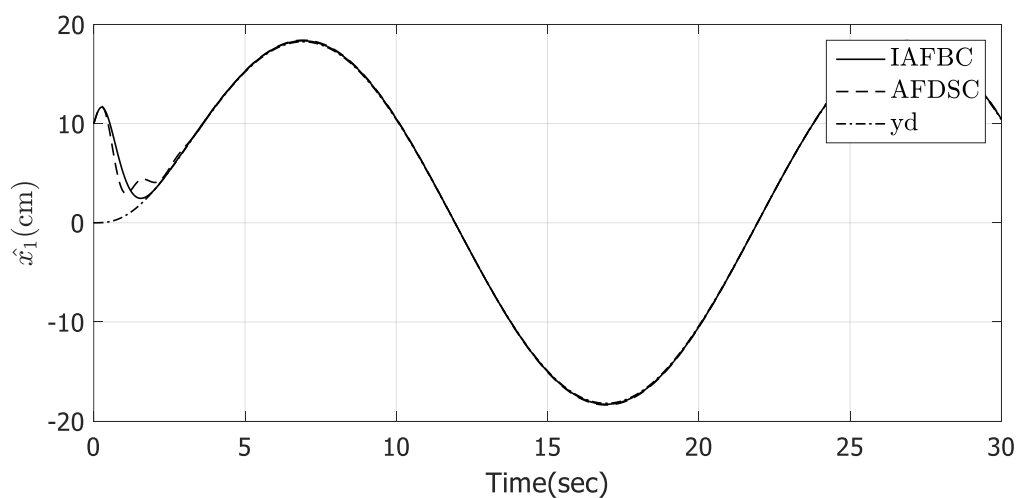
در همه شبیه‌سازی‌های انجام‌شده در این بخش زمان شبیه‌سازی ۳۰ ثانیه در نظر گرفته شده و همچنین به جای تابع $sgn(x)$ از $sat(\frac{x}{0.1})$ استفاده شده است.

۵-۳-۲- ورودی مرجع سینوسی

در این بخش ورودی مرجع را به صورت یک سیگنال سینوسی با دامنه ۰,۲ و دوره تناوب ۲۰ ثانیه در نظر گرفته و پس از عبور از مدل مرجع ارائه‌شده در (۴-۳۸) به سیستم اعمال شده است.

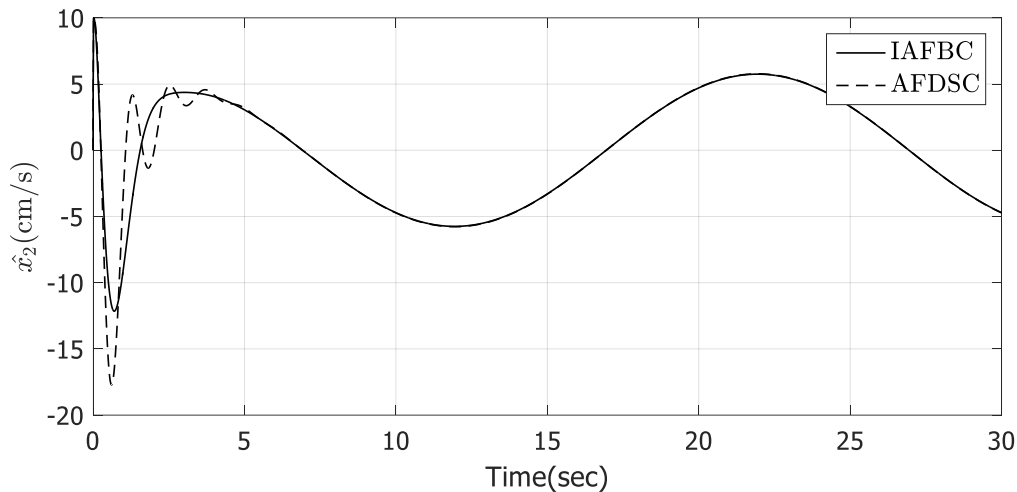
$$y_d = 0.2 \sin\left(\frac{\pi}{10} t\right) \quad (83-5)$$

پس از شبیه‌سازی، در شکل (۵-۱) موقعیت گوی بر حسب سانتیمتر، در شکل (۵-۲) سرعت گوی بر حسب سانتیمتر بر ثانیه، در شکل (۵-۳) زاویه میله بر حسب درجه، در شکل (۵-۴) سرعت زاویه‌ای میله بر حسب درجه بر ثانیه، در شکل (۵-۵) قانون کنترل اعمالی به سیستم بر حسب میلی نیوتون متر و در شکل (۵-۶) نمودار خطای ردگیری خروجی بر حسب سانتی متر نشان داده شده است.



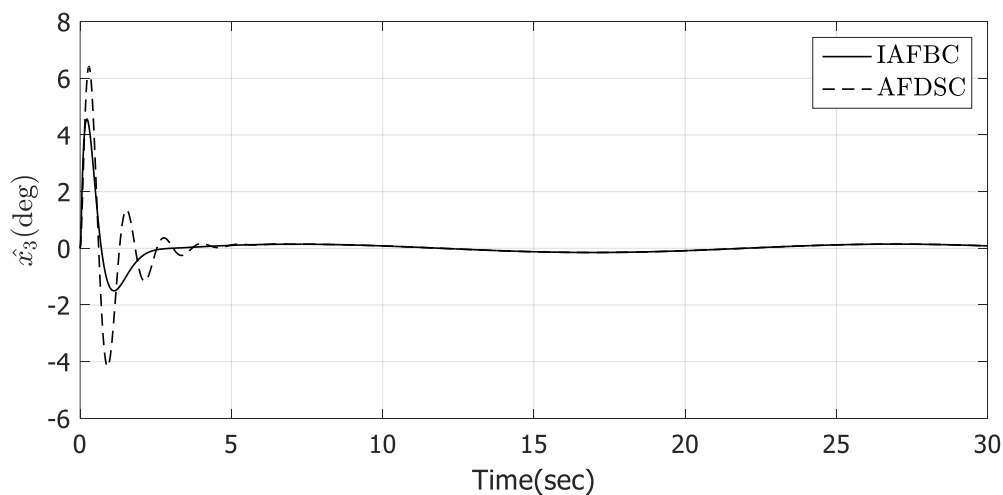
شکل (۵-۱) مقایسه موقعیت گوی بر حسب سانتیمتر در هر دو روش

همان طور که در شکل (۱-۵) مشخص است عملکرد روش ارائه شده نسبت به روش مورد مقایسه بهتر بوده و در مدت زمان کمتری به سیگنال مرجع رسیده و آن را دنبال کرده است. این امر نشان از عملکرد مطلوب تر کنترل کننده طراحی شده دارد.



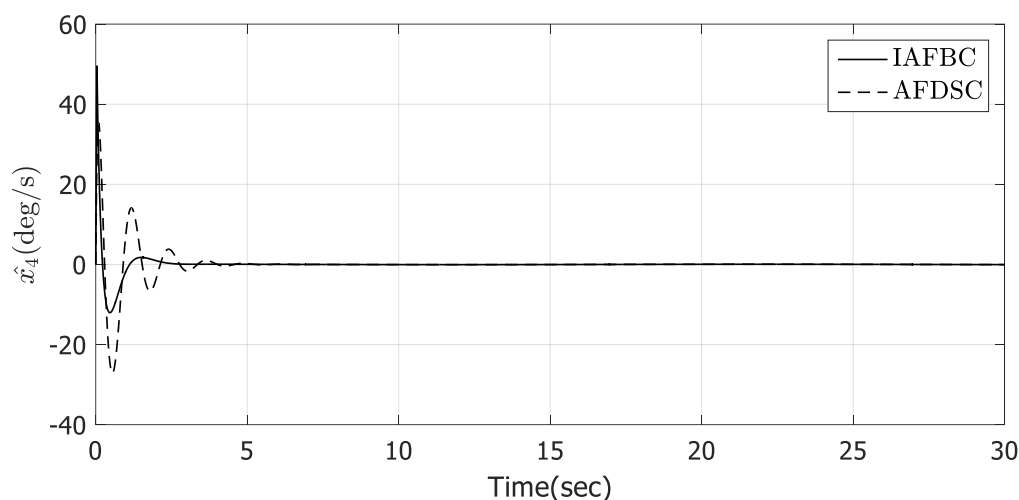
شکل (۲-۵) مقایسه سرعت گوی برحسب سانتی متر بر ثانیه در هر دو روش

با توجه به شکل (۲-۵) که در آن سرعت گوی در هر لحظه نشان داده شده، مشخص است که روش ارائه شده نوسان سرعت کمتری دارد و برتری روش پایان نامه مشهود می باشد.



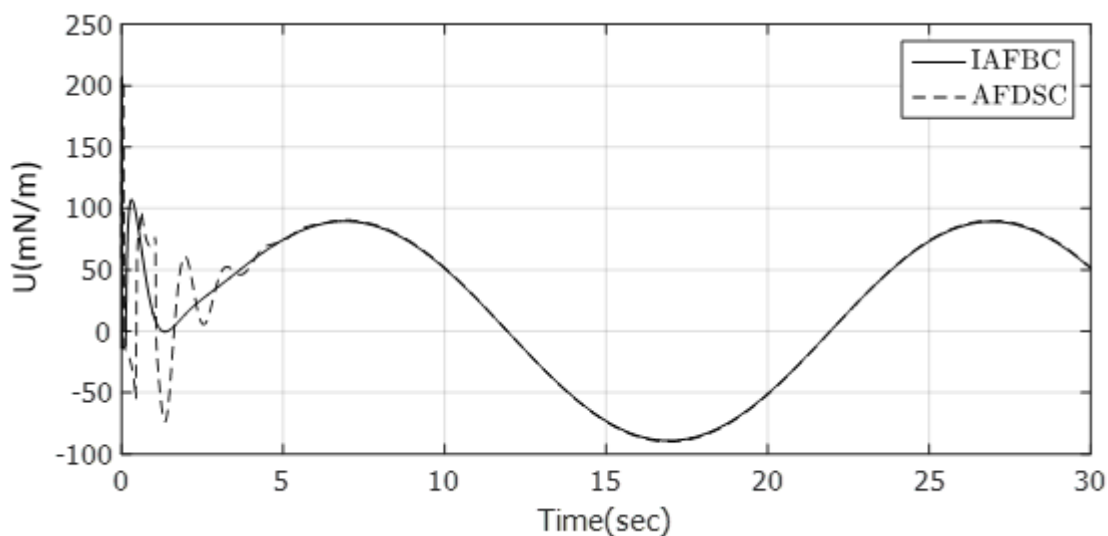
شکل (۳-۵) مقایسه زاویه میله برحسب درجه در هر دو روش

در شکل (۳-۵) زاویه میله نشان داده شده و در آن مشخص است که روش ارائه شده در این پایان نامه تغییر زاویه کمتری دارد و نوسان زاویه نیز کمتر می باشد.



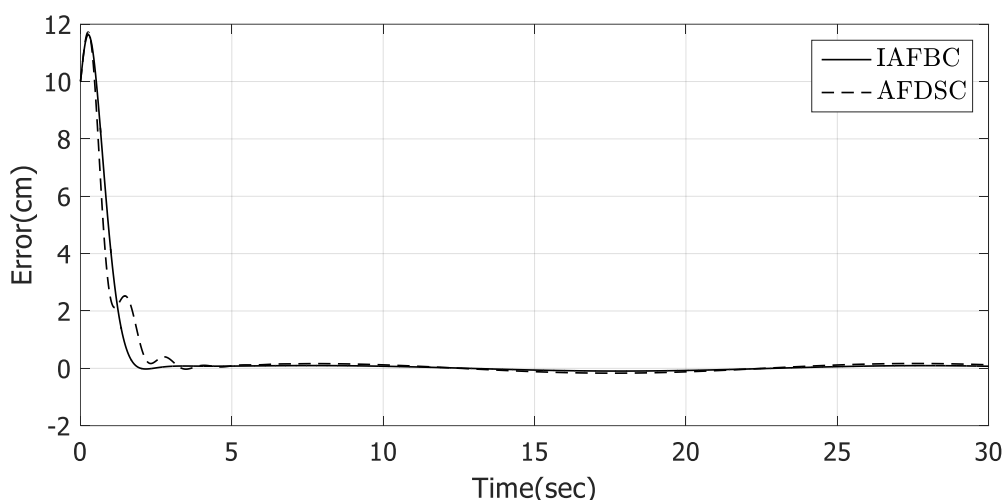
شکل (۴-۵) مقایسه سرعت زاویه‌ای میله بر حسب درجه بر ثانیه در هر دو روش

همان‌طور که در شکل (۴-۵) مشخص می‌باشد تغییرات سرعت زاویه میله در روش ارائه‌شده خیلی کمتر از روش مورد مقایسه می‌باشد و در مدت‌زمان کمتری به صفر رسیده است.



شکل (۵-۵) مقایسه قانون کنترل اعمالی به سیستم بر حسب میلی نیوتون متر در هر دو روش

در شکل (۵-۵) سیگنال کنترلی تولیدشده بر حسب میلی نیوتون متر نشان داده است. همان‌طور که مشخص است ورودی کنترل در روش ارائه‌شده نوسان کمتری دارد و تغییرات نرم‌تری نیز دارد و دامنه نوسان آن نیز کمتر می‌باشد و چون ورودی مرجع سینوسی می‌باشد، سیگنال کنترل هم‌شکل سینوسی به خود گرفته است.

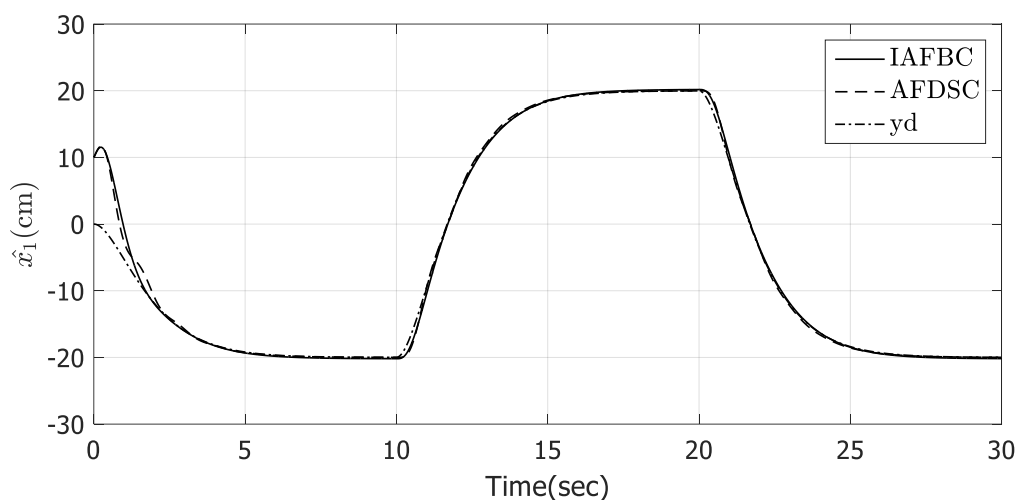


شکل (۶-۵) مقایسه خطای ردگیری خروجی بر حسب سانتی متر در هر دو روش

در شکل (۶-۵) هم نمودار خطای دو روش باهم مقایسه شده است و همان طور که مشخص است روش ارائه شده در این پایان نامه در مدت زمان سریع تری صفر شده و در نهایت با خطای کمتری ورودی مرجع را هم دنبال کرده است.

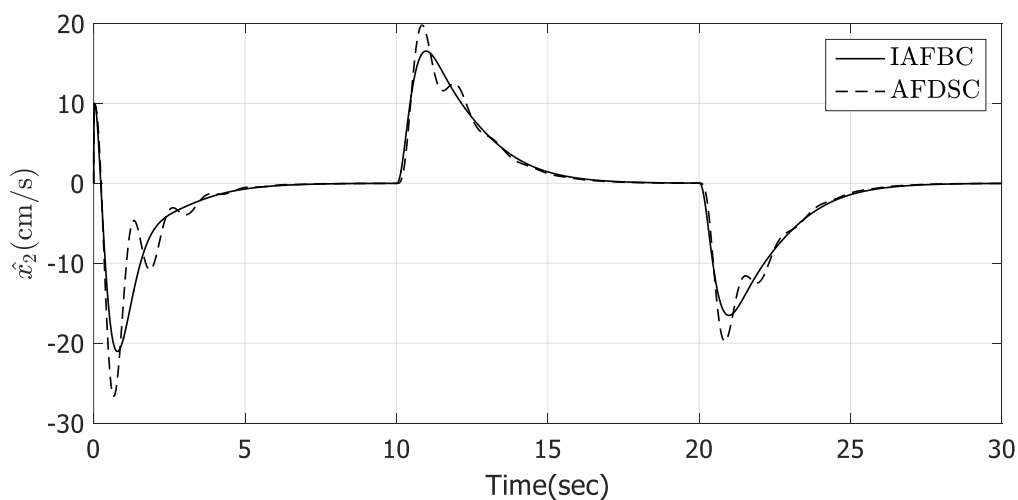
۵-۳-۳- وروودی مرجع مربعی

در این بخش ورودی مرجع را به صورت یک سیگنال مربعی با دامنه ۰,۲ و دوره تناوب ۲۰ ثانیه در نظر گرفته و پس از عبور از مدل مرجع ارائه شده در (۵-۸۳) به سیستم اعمال شده است. پس از شبیه سازی، در شکل (۵-۷) موقعیت گوی بر حسب سانتیمتر، در شکل (۵-۸) سرعت گوی بر حسب سانتیمتر بر ثانیه، در شکل (۵-۹) زاویه میله بر حسب درجه، در شکل (۵-۱۰) سرعت زاویه ای میله بر حسب درجه بر ثانیه، در شکل (۵-۱۱) قانون کنترل اعمالی به سیستم بر حسب میلی نیوتون متر و در شکل (۵-۱۲) نمودار خطای ردگیری خروجی بر حسب سانتی متر نشان داده شده است.



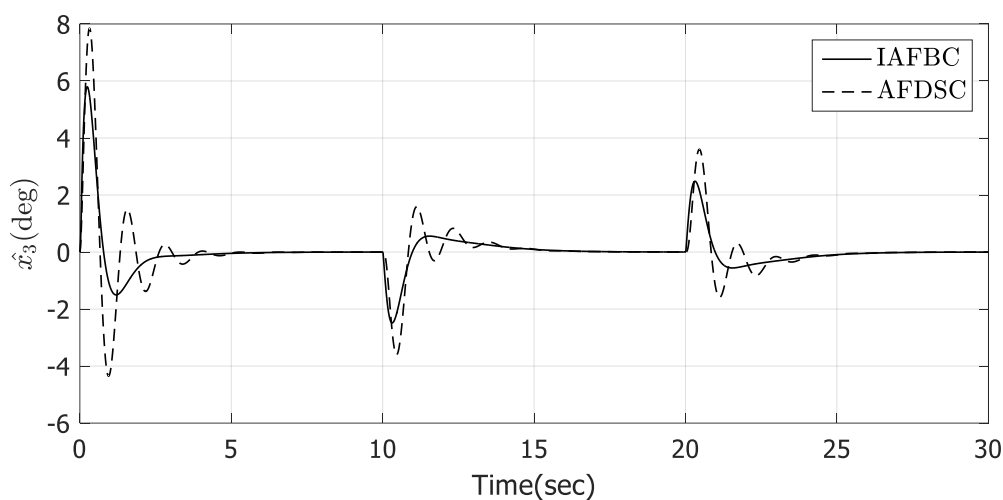
شکل (۷-۵) مقایسه موقعیت گوی بر حسب سانتی متر در هر دو روش

همان‌طور که در شکل (۷-۵) مشخص است عملکرد روش ارائه‌شده نسبت به روش مورد مقایسه بهتر بوده و در مدت‌زمان کمتری به سیگنال مرجع رسیده و آن را دنبال کرده است. این امر نشان از عملکرد مطلوب‌تر کنترل‌کننده طراحی شده دارد.



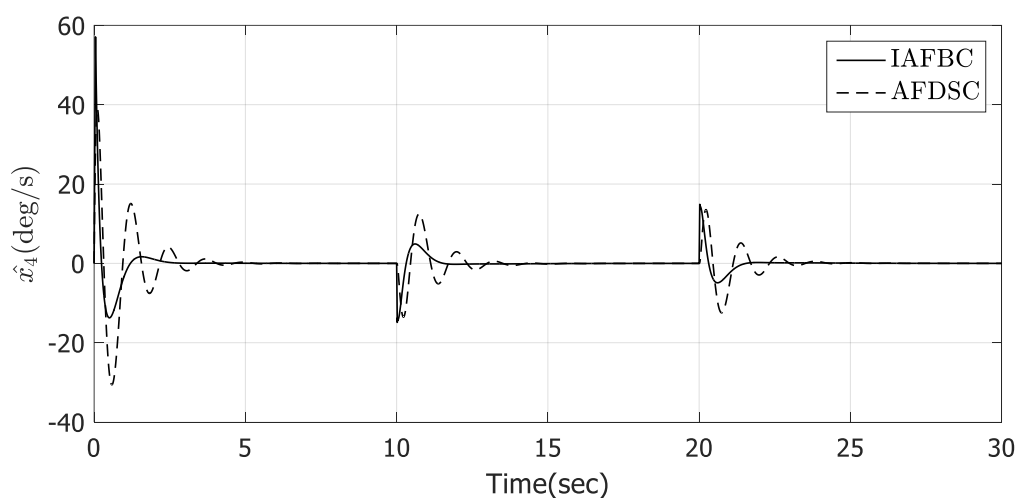
شکل (۸-۵) مقایسه سرعت گوی بر حسب سانتی متر بر ثانیه در هر دو روش

با توجه به شکل (۸-۵) که در آن سرعت گوی در هر لحظه نشان داده شده، مشخص است که روش ارائه‌شده نوسان سرعت کمتری دارد و برتری روش پایان‌نامه مشهود می‌باشد.



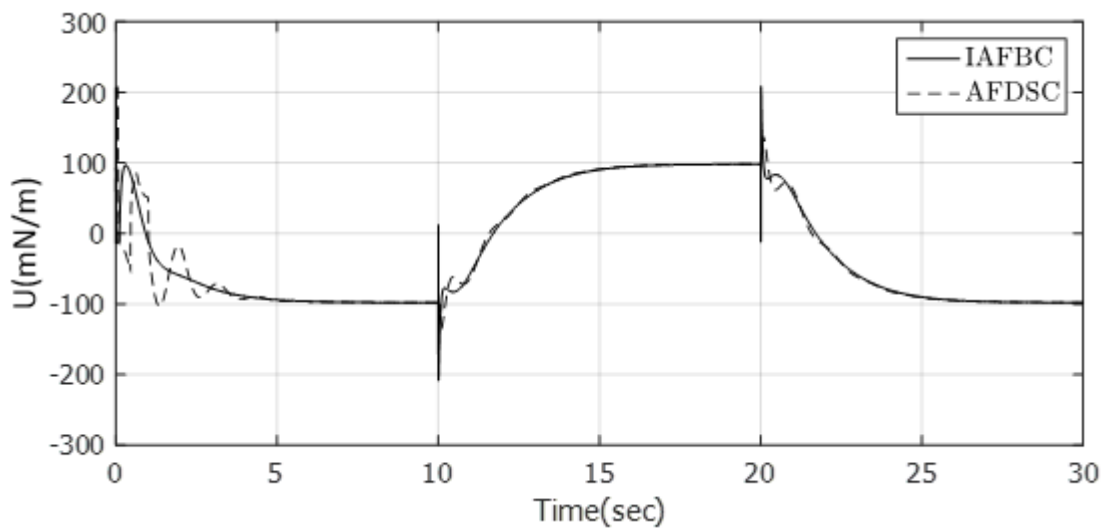
شکل (۹-۵) مقایسه زاویه میله برحسب درجه در هر دو روش

در شکل (۹-۵) زاویه میله نشان داده شده و در آن مشخص است که روش ارائه شده در این پایان نامه تغییر زاویه کمتری دارد و نوسان زاویه نیز کمتر می باشد.



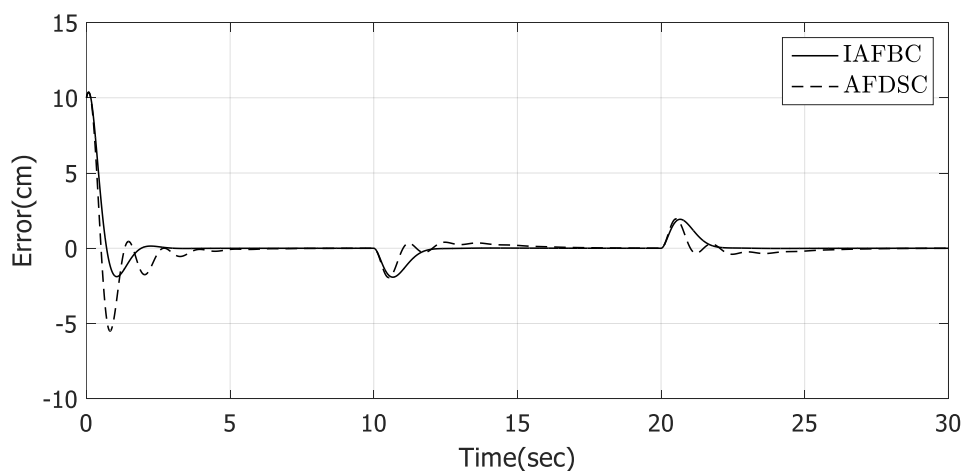
شکل (۱۰-۵) مقایسه سرعت زاویه ای میله برحسب درجه بر ثانیه در هر دو روش

همان طور که در شکل (۱۰-۵) مشخص می باشد تغییرات سرعت زاویه میله در روش ارائه شده کمتر از روش مورد مقایسه می باشد و در مدت زمان کمتری به صفر رسیده است.



شکل (۱۱-۵) مقایسه قانون کنترل اعمالی به سیستم برحسب میلی نیوتون متر در هر دو روش

در شکل (۱۱-۵) سیگنال کنترلی تولیدشده برحسب گشتاور نشان داده است. همان‌طور که مشخص است ورودی کنترل در روش ارائه‌شده نوسان کمتری دارد و چون ورودی مرجع مربعی می‌باشد، سیگنال کنترل هم، شکلی تقریباً مربعی به خود گرفته است. همچنین در بعضی لحظات یک پیک در سیگنال کنترلی دیده می‌شود که با توجه به روابط (۴-۳۳) و (۴-۳۴)، در رابطه سیگنال کنترل از مشتق x_{3d} و x_{4d} استفاده شده است. در لحظاتی که سیگنال مربعی تغییر مقدار می‌دهد، مقادیر x_{3d} و x_{4d} به صورت آنی تغییر می‌کنند در نتیجه مشتق آنها مقدار بزرگی می‌شود و چون مستقیماً در سیگنال کنترلی وارد می‌شوند باعث ایجاد چنین پیکی می‌شوند.



شکل (۱۲-۵) مقایسه خطای ردگیری خروجی بر حسب سانتی متر در هر دو روش

در شکل (۵-۱۲) هم نمودار خطای دو روش باهم مقایسه شده است و همان‌طور که مشخص است روش ارائه‌شده در این پایان‌نامه در مدت‌زمان سریع‌تری صفر شده و درنهایت با خطای کمتری ورودی مرجع را هم دنبال کرده است.

فصل ۶: کنترل پسگام فازی تطبیقی

مستقیم سیستم گوی و میله بر پایه رویتگر

۶-۱- مقدمه

از آنجایی که مدل‌سازی سیستم‌های فیزیکی همواره با عدم قطعیت همراه است و همچنین کنترل‌کننده طراحی شده به روش پسگام نیازمند اطلاعات دقیق از دینامیک سیستم می‌باشد، می‌بایست از یک سیستم فازی با مکانیزم تطبیق برای تخمین دینامیک‌های سیستم استفاده شود. در فصل قبل دینامیک‌های سیستم به روش فازی تطبیقی غیرمستقیم تخمین زده شد و در روابط به دست آمده در روش پسگام جایگذاری شد و نتایج نشان از عملکرد مناسب کنترل‌کننده داشته است. روشی دیگر برای کنترل یک سیستم بدون داشتن اطلاع دقیق از دینامیک‌های آن سیستم، استفاده از روش فازی تطبیقی مستقیم می‌باشد. به همین دلیل در ادامه کنترل پسگام فازی تطبیقی مستقیم برای سیستم گوی و میله ارائه و همچنین پایداری آن، توسط تئوری لیاپانوف نشان داده می‌شود. هدف از این بخش، طراحی کنترل‌کننده u با روش فازی تطبیقی مستقیم به نحوی می‌باشد که متغیرهای حالت سیستم را به سمت مقدار مطلوب خود که از روش پسگام به دست آمده همگرا و بدین ترتیب سیستم گوی و میله را کنترل کند. همچنین در این فصل برای کنترل سیستم، از متغیرهای حالت تخمین زده شده که در فصل ۳ به دست آمد به جای متغیرهای حالت سیستم اصلی استفاده می‌شود.

۶-۲- طراحی کنترل‌کننده پسگام فازی تطبیقی مستقیم بر پایه رویتگر^۱

همان‌طور که در بخش ۴-۳- در روابط (۴-۲۵) و (۴-۲۶) ذکر شد، سیستم گوی و میله به صورت دو زیرسیستم جداگانه در نظر گرفته شده بودند. در این بخش برای هر زیرسیستم به صورت جداگانه کنترل‌کننده فازی تطبیقی مستقیم طراحی خواهد شد.

^۱ Direct Adaptive Fuzzy Backstepping Control (DAFBC)

۶-۲-۱- کنترل کننده پسگام فازی تطبیقی مستقیم برای زیرسیستم اول

ابتدا زیر سیستم اول را در نظر گرفته که به صورت زیر می باشد:

$$\begin{aligned}\dot{\hat{x}}_1 &= \hat{x}_2 \\ \dot{\hat{x}}_2 &= b\hat{x}_1\hat{x}_4^2 - bg\sin\hat{x}_3 + d(t) = f_1(\hat{X}_1, \hat{x}_4) + g_1\sin(\hat{x}_3) + d(t)\end{aligned}\quad (۱-۶)$$

که در آن $b = M(JR^{-2} + M)^{-1}$ ، $g_1 = bg$ ، $f_1(\hat{X}_1, \hat{x}_4) = b\hat{x}_1\hat{x}_4^2$ ، به عنوان ورودی کنترل مجازی، $\hat{X} = [\hat{x}_1 \quad \hat{x}_2]^T$ ، تخمین زده شده، و $d(t)$ بعنوان اغتشاش خارجی و دینامیک مدل نشده در نظر گرفته شده است.

با بازنویسی (۱-۶) به صورت زیر داریم:

$$\dot{\hat{X}}_1 = A\hat{X}_1 + B(f_1(\hat{X}_1, \hat{x}_4) + g_1\sin\hat{x}_3 + d(t))\quad (۲-۶)$$

$$y = C^T \hat{X}\quad (۳-۶)$$

که در آن داریم:

$$\begin{aligned}\hat{X}_1 &= [\hat{x}_1 \quad \hat{x}_2]^T = [\hat{r} \quad \dot{\hat{r}}]^T \\ A &= \begin{bmatrix} 0 & 1 \\ 0 & 0 \end{bmatrix}, B = \begin{bmatrix} 0 \\ 1 \end{bmatrix}, C = \begin{bmatrix} 1 \\ 0 \end{bmatrix}\end{aligned}\quad (۴-۶)$$

اگر خطای تنظیم $\hat{e} = y_d - \hat{x}_1$ و بردار خروجی مرجع $X_{d1} = [y_d \quad \dot{y}_d]^T$ باشد، آنگاه خطای بردار تعقیب به صورت زیر تعریف می گردد.

$$\hat{E}_1 = [X_{d1} - \hat{X}_1]^T = [\hat{e} \quad \dot{\hat{e}}]^T\quad (۵-۶)$$

اگر $d(t) = 0$ آنگاه قانون کنترل مجازی ارائه شده برای زیر سیستم اول به صورت زیر پیشنهاد می گردد.

$$\hat{x}_3^* = \sin^{-1}\left(\frac{1}{g_1}[-f_1(\hat{X}_1, \hat{x}_4) + \dot{y}_d + K^T \hat{E}_1]\right)\quad (۶-۶)$$

که در آن $K^T = [k_1 \quad k_2]$ بردار بهره فیدبک و \hat{x}_3^* قانون کنترل مجازی ایده آل می باشد. با توجه به اینکه (A, B) کنترل پذیر است K به نحوی انتخاب می شود که $A - BK^T$ هر ویتز گردد. کنترل کننده فازی برای زیر سیستم اول به صورت زیر تعریف می شود

$$\hat{x}_{3D} = \sin^{-1}(u_D(\hat{X}_1|\theta_1) + u_r) = \sin^{-1}(\theta_1^T \xi(\hat{X}_1) + u_{r1})\quad (۷-۶)$$

که در آن u_D یک سیستم فازی، θ_1 مجموعه‌ای از پارامترهای قابل تنظیم، $\xi(\hat{X}_1)$ همانند (۳-۵) و همچنین u_{r1} برای جبران اغتشاش خارجی و همچنین خطای تخمین پیشنهاد شده است.

با جایگذاری (۷-۶) در (۲-۶) و همچنین کم و اضافه کردن عبارت $g_1 \sin \hat{x}_3^*$ می‌توان رابطه زیر را استنتاج کرد

$$\dot{\hat{X}}_1 = A\hat{X}_1 + B \left(f_1(\hat{X}_1, \hat{x}_4) + g_1 u_D(\hat{X}_1 | \theta_1) + g_1 \sin \hat{x}_3^* - g_1 \sin \hat{x}_3 + g_1 u_{r1} + d(t) \right) \quad (۸-۶)$$

با جایگذاری (۶-۶) در (۸-۶) داریم:

$$\dot{\hat{X}}_1 = A\hat{X}_1 + B(\ddot{y}_d + K^T \hat{E}_1 + g_1 u_D(\hat{X}_1 | \theta_1) - g_1 \sin \hat{x}_3^* + g_1 u_{r1} + d(t)) \quad (۹-۶)$$

با توجه به (۵-۶) و (۹-۶) معادله خطا به صورت زیر به دست می‌آید:

$$\begin{aligned} \dot{\hat{E}}_1 &= \dot{X}_d - A\hat{X}_1 \\ &\quad - B(\ddot{y}_d + K^T \hat{E}_1 + g_1 u_D(\hat{X}_1 | \theta_1) - g_1 \sin \hat{x}_3^* + g_1 u_{r1} + d(t)) \\ &= \dot{X}_{d1} - A\hat{X}_1 - B(\ddot{y}_d + K^T \hat{E}_1 + g_1(u_D(\hat{X}_1 | \theta_1) - \sin \hat{x}_3^*) + g_1 u_{r1} + d(t)) \\ &= \dot{X}_{d1} + A\hat{E}_1 - A\dot{X}_d - B(\ddot{y}_d + K^T \hat{E}_1 + g_1(u_D(\hat{X}_1 | \theta_1) - \sin \hat{x}_3^*) + g_1 u_{r1} + d(t)) \\ &= (A - BK^T)\hat{E}_1 - B(g_1(u_D(\hat{X}_1 | \theta_1) - \sin \hat{x}_3^*) + g_1 u_{r1} + d(t)) \end{aligned} \quad (۱۰-۶)$$

پارامترهای بهینه بدین شکل تعریف می‌شوند

$$\theta_1^* = \arg \min_{\theta_1 \in R^m} [\sup_{\hat{X}_1 \in R^n} |u_D(\hat{X}_1 | \theta_1) - \sin \hat{x}_3^*|] \quad (۱۱-۶)$$

در نتیجه داریم:

$$\begin{aligned} \dot{\hat{E}}_1 &= (A - BK^T)\hat{E}_1 - B(g_1(u_D(\hat{X}_1 | \theta_1) - u_D(\hat{X}_1 | \theta_1^*)) + u_D(\hat{X}_1 | \theta_1^*) \\ &\quad - \sin \hat{x}_3^*) + g_1 u_{r1} + d(t)) \end{aligned} \quad (۱۲-۶)$$

خطای تقریب حداقل و $\tilde{\theta}$ به صورت زیر در نظر گرفته می‌شود

$$w = g_1(u_D(\hat{X}_1 | \theta_1^*) - \sin \hat{x}_3^*) + d(t) \quad (۱۳-۶)$$

$$\tilde{\theta}_1 = \hat{\theta}_1 - \theta_1^* \quad (۱۴-۶)$$

در نهایت با توجه به (۶-۱۲)، (۶-۱۳) و (۶-۱۴) معادله خطا به صورت زیر به دست می‌آید

$$\dot{\hat{E}}_1 = (A - BK^T)\hat{E}_1 - B(g_1\tilde{\theta}_1^T\xi(\hat{X}_1) + w + g_1u_{r1}) \quad (۱۵-۶)$$

بعلاوه فرض می‌شود که $|w| < q_{m1}$ که در آن q_{m1} یک ثابت نامعلوم می‌باشد.

۶-۲-۲- تحلیل پایداری قانون کنترل و قوانین تطبیق زیرسیستم اول

برای سیستم (۱۵-۶) تابع لیاپانوف زیر پیشنهاد می‌شود

$$V_1 = \frac{1}{2}\hat{E}_1^T P_1 \hat{E}_1 + \frac{1}{2\gamma_1}\tilde{\theta}_1^T \tilde{\theta}_1 + \frac{1}{2\gamma_{q1}}\tilde{q}_1^2 \quad (۱۶-۶)$$

که در آن $\tilde{q}_1 = q_{m1} - \hat{q}_1$ و تخمین w است و همچنین ماتریس P_1 معین مثبت متقارن می‌باشد.

با مشتق‌گیری از (۱۶-۶) داریم:

$$\begin{aligned} \dot{V}_1 &= \frac{1}{2}\dot{\hat{E}}_1^T P_1 \hat{E}_1 + \frac{1}{2}\hat{E}_1^T P_1 \dot{\hat{E}}_1 + \frac{1}{\gamma_1}\tilde{\theta}_1^T \dot{\tilde{\theta}}_1 + \frac{1}{\gamma_{q1}}\tilde{q}_1 \dot{\tilde{q}}_1 \\ &= \frac{1}{2}\hat{E}_1^T (A_s^T P_1 + P_1 A_s)\hat{E}_1 + \hat{E}_1^T P_1 B (g_1\tilde{\theta}_1^T \xi(\hat{X}_1) + w + g_1u_{r1}) - \frac{1}{\gamma_1}\tilde{\theta}_1^T \dot{\tilde{\theta}}_1 \\ &\quad - \frac{1}{\gamma_{q1}}\tilde{q}_1 \dot{\tilde{q}}_1 \end{aligned} \quad (۱۷-۶)$$

که در آن $A_s = A - BK^T$ و ماتریس P_1 به صورت زیر انتخاب می‌شود

$$A_s^T P_1 + P_1 A_s = -Q_1 \quad (۱۸-۶)$$

که در آن Q_1 یک ماتریس معین مثبت متقارن می‌باشد. در نتیجه داریم:

$$\begin{aligned} \dot{V}_1 &= -\frac{1}{2}\hat{E}_1^T Q_1 \hat{E}_1 + \hat{E}_1^T P_1 B (g_1\tilde{\theta}_1^T \xi(\hat{X}_1) + w + g_1u_{r1}) - \frac{1}{\gamma_1}\tilde{\theta}_1^T \dot{\tilde{\theta}}_1 \\ &\quad - \frac{1}{\gamma_{q1}}\tilde{q}_1 \dot{\tilde{q}}_1 \end{aligned} \quad (۱۹-۶)$$

با انتخاب قواعد تطبیق به صورت زیر

$$\dot{\tilde{\theta}}_1 = \gamma_1 \hat{E}_1^T P_1 B g_1 \xi(\hat{X}_1) \quad (۲۰-۶)$$

$$\dot{\tilde{q}}_1 = \gamma_{q1} |\hat{E}_1^T P_1 B| \quad (۲۱-۶)$$

$$u_{r1} = -\frac{\hat{q}_1}{g_1} \text{sgn}(\hat{E}_1^T P_1 B) \quad (22-6)$$

و با ساده سازی (۱۹-۶) به صورت زیر داریم:

$$\begin{aligned} \dot{V}_1 = & -\frac{1}{2} \hat{E}_1^T Q_1 \hat{E}_1 + \tilde{\theta}_1^T (\hat{E}_1^T P_1 B g_1 \xi(\hat{X}_1) - \frac{1}{\gamma_1} \dot{\hat{\theta}}_1) + \hat{E}_1^T P_1 B (g_1 u_{r1} + w) \\ & - \frac{1}{\gamma_{q_1}} \tilde{q}_1 \dot{\hat{q}}_1 \end{aligned} \quad (23-6)$$

با جایگذاری (۲۰-۶) در (۲۳-۶) نتیجه می شود:

$$\dot{V}_1 = -\frac{1}{2} \hat{E}_1^T Q_1 \hat{E}_1 + \hat{E}_1^T P_1 B (g_1 u_{r1} + w) - \frac{1}{\gamma_{q_1}} \tilde{q}_1 \dot{\hat{q}}_1 \quad (24-6)$$

در ادامه با جایگذاری (۲۱-۶) و (۲۲-۶) در (۲۴-۶) داریم:

$$\begin{aligned} \dot{V}_1 = & -\frac{1}{2} \hat{E}_1^T Q_1 \hat{E}_1 - \hat{q}_1 |\hat{E}_1^T P_1 B| + \hat{E}_1^T P_1 B w - (q_{m1} - \hat{q}_1) |\hat{E}_1^T P_1 B| \\ = & -\frac{1}{2} \hat{E}_1^T Q_1 \hat{E}_1 + \hat{E}_1^T P_1 B w - q_{m1} |\hat{E}_1^T P_1 B| \\ \leq & -\frac{1}{2} \hat{E}_1^T Q_1 \hat{E}_1 + |\hat{E}_1^T P_1 B| |w| - q_{m1} |\hat{E}_1^T P_1 B| \\ = & -\frac{1}{2} \hat{E}_1^T Q_1 \hat{E}_1 + |\hat{E}_1^T P_1 B| (|w| - q_{m1}) \end{aligned} \quad (25-6)$$

با توجه به فرض $|w| < q_{m1}$ ، عبارت $|\hat{E}_1^T P_1 B| (|w| - q_{m1})$ همواره منفی می باشد و در بدترین

حالت با جایگذاری $|w| = q_{m1}$ در رابطه (۲۵-۶) نتیجه می شود

$$\dot{V}_1 = -\frac{1}{2} \hat{E}_1^T Q_1 \hat{E}_1 \leq -\frac{1}{2} \lambda_{\min}(Q_1) \|\hat{E}_1\|^2 \quad (26-6)$$

۶-۲-۳- کنترل کننده پسگام فازی تطبیقی مستقیم برای زیرسیستم دوم

با تعریف $\hat{X}_2 = [\hat{x}_3 \quad \hat{x}_4]^T$ ، زیر سیستم دوم را در نظر گرفته که به صورت زیر می باشد

$$\begin{aligned} \dot{\hat{x}}_3 &= \hat{x}_4 \\ \dot{\hat{x}}_4 &= a(\tau - 2M\hat{x}_1\hat{x}_2\hat{x}_4 - Mg\hat{x}_1\cos\hat{x}_3) + d(t) = f_2(\hat{X}_1, \hat{X}_2) + g_2(\hat{x}_1)\tau + d(t) \end{aligned} \quad (27-6)$$

که در آن $d(t)$ ، بعنوان اغتشاش خارجی و دینامیک مدل نشده و همچنین $a = \frac{1}{M\hat{x}_1^2 + J + J_b}$

$$f_2(\hat{X}_1, \hat{X}_2) = \frac{1}{M\hat{x}_1^2 + J + J_b} (-2M\hat{x}_1\hat{x}_2\hat{x}_4 - Mg\hat{x}_1\cos\hat{x}_3) \quad (28-6)$$

$$g_2(\hat{x}_1) = \frac{1}{M\hat{x}_1^2 + J + J_b} \quad (29-6)$$

می‌باشد.

فرم معادلات زیرسیستم دوم به گونه‌ای نیست که روش فازی تطبیقی مستقیم بر روی آن پیاده سازی شود به همین دلیل تابع $g_2(\hat{x}_1)$ به صورت زیر بسط داده می‌شود

$$g_2(\hat{x}_1) = g_{20} + \Delta g_2 \quad (30-6)$$

که در آن g_{20} یک مقدار ثابت می‌باشد. در نتیجه معادلات زیرسیستم دوم به صورت زیر بازنویسی

می‌شود

$$\begin{aligned} \dot{\hat{x}}_3 &= \hat{x}_4 \\ \dot{\hat{x}}_4 &= f_2(\hat{X}_1, \hat{X}_2) + (g_{20} + \Delta g_2)\tau + d(t) \end{aligned} \quad (31-6)$$

با بازنویسی (31-6) به صورت زیر داریم:

$$\dot{\hat{X}}_2 = A\hat{X}_2 + B(f_2(\hat{X}_1, \hat{X}_2) + (g_{20} + \Delta g_2)\tau + d(t)) \quad (32-6)$$

$$y = C^T \hat{X}_2 \quad (33-6)$$

که در آن داریم:

$$\begin{aligned} \hat{X}_2 &= [\hat{x}_3 \quad \hat{x}_4]^T = [\hat{\theta} \quad \dot{\hat{\theta}}]^T \\ A &= \begin{bmatrix} 0 & 1 \\ 0 & 0 \end{bmatrix}, B = \begin{bmatrix} 0 \\ 1 \end{bmatrix}, C = \begin{bmatrix} 1 \\ 0 \end{bmatrix} \end{aligned} \quad (34-6)$$

با در نظر گرفتن x_{3d} به صورت رابطه (6-7)، اگر خطای تنظیم $\hat{e} = \hat{x}_3 - x_{3d}$ و بردار خروجی مرجع

$$X_{d2} = [x_{3d} \quad \dot{x}_{3d}]^T$$

باشد، آنگاه خطای بردار تعقیب به صورت زیر تعریف می‌گردد.

$$\hat{E}_2 = [X_{d2} - \hat{X}_2]^T = [\hat{e} \quad \dot{\hat{e}}]^T \quad (35-6)$$

اگر $d(t) = 0$ آنگاه قانون کنترل ارائه شده ایده‌ال به صورت زیر پیشنهاد می‌گردد.

$$\tau^* = \frac{1}{g_2(\hat{x}_1)} [-f_2(\hat{X}_1, \hat{X}_2) + \ddot{x}_{3d} + K^T \hat{E}_2] \quad (36-6)$$

که در آن $K^T = [k_1 \quad k_2]$ بردار بهره فیدبک و τ^* قانون کنترل ایده‌ال می‌باشد. با توجه به اینکه

(A, B) کنترل‌پذیر است K به نحوی انتخاب می‌شود که $A - BK^T$ هرویتز گردد.

در ادامه کنترل کننده فازی برای زیر سیستم دوم به صورت زیر تعریف می‌شود

$$\tau_D = \tau_D(\hat{X}_2|\theta_2) + u_r = \theta_2^T \eta(\hat{X}_2) + u_{r2} \quad (37-6)$$

که در آن τ_D یک سیستم فازی بوده، θ_2 مجموعه‌ای از پارامترهای قابل تنظیم، u_{r2} برای جبران

اغتشاش خارجی و همچنین خطای تخمین و $\eta(\hat{X}_2)$ همانند (3-5) می‌باشد.

با جایگذاری (37-6) در (31-6) و همچنین کم و اضافه کردن عبارت $g_{20}\tau^*$ می‌توان رابطه زیر را

استنتاج کرد

$$\begin{aligned} \dot{\hat{X}}_2 &= A\hat{X}_2 + B(f_2(\hat{X}_1, \hat{X}_2) + (g_{20} + \Delta g_2)(\tau_D(\hat{X}_2|\theta_2) + u_{r2}) + g_{20}\tau^* \\ &\quad - g_{20}\tau^* + d(t)) \\ &= A\hat{X}_2 + B(f_2(\hat{X}_1, \hat{X}_2) + g_{20}\tau_D(\hat{X}_2|\theta_2) + g_{20}u_{r2} + g_{20}\tau^* - g_{20}\tau^* \\ &\quad + \Delta g_2(\tau_D(\hat{X}_2|\theta_2) + u_{r2}) + d(t)) \end{aligned} \quad (38-6)$$

با جایگذاری (36-6) در (38-6) داریم:

$$\begin{aligned} \dot{\hat{X}}_2 &= A\hat{X}_2 + B(\ddot{x}_{3d} + K^T \hat{E}_2 + g_{20}\tau_D(\hat{X}_2|\theta_2) - g_{20}\tau^* + \Delta g_2(\tau_D(\hat{X}_2|\theta_2) \\ &\quad + u_{r2}) + g_{20}u_{r2} + d(t)) \end{aligned} \quad (39-6)$$

با توجه به (35-6) و (39-6) معادله خطا به صورت زیر به دست می‌آید:

$$\begin{aligned} \dot{\hat{E}}_2 &= \dot{X}_{d2} - A\hat{X}_2 - B(\ddot{x}_{3d} + K^T \hat{E}_2 + g_{20}\tau_D(\hat{X}_2|\theta_2) - g_{20}\tau^* + g_{20}u_{r2} \\ &\quad + \Delta g_2(\tau_D(\hat{X}_2|\theta_2) + u_{r2}) + d(t)) \\ &= \dot{X}_{d2} + A\hat{E}_2 - AX_d - B(\ddot{x}_{3d} + K^T \hat{E}_2 + g_{20}\tau_D(\hat{X}_2|\theta_2) + \Delta g_2(\tau_D(\hat{X}_2|\theta_2) \\ &\quad + u_{r2}) - g_{20}\tau^* + g_{20}u_{r2} + d(t)) \\ &= (A - BK^T)\hat{E}_2 - B(g_{20}\tau_D(\hat{X}_2|\theta_2) + \Delta g_2(\tau_D(\hat{X}_2|\theta_2) + u_{r2}) - g_{20}\tau^* \\ &\quad + g_{20}u_{r2} + d(t)) \end{aligned} \quad (40-6)$$

پارامترهای بهینه بدین شکل تعریف می‌شوند

$$\theta^* = \arg \min_{\theta_2 \in R^m} [\sup_{\hat{X}_2 \in R^n} |\tau_D(\hat{X}_2|\theta_2) - \tau^*|] \quad (41-6)$$

در نتیجه داریم:

$$\begin{aligned} \dot{\hat{E}}_2 = & (A - BK^T)\hat{E}_2 - B(g_{20}(\tau_D(\hat{X}_2|\theta_2) - \tau_D(\hat{X}_2|\theta_2^*) + \tau_D(\hat{X}_2|\theta_2^*) - \tau^*) \\ & + \Delta g_2(\tau_D(\hat{X}_2|\theta_2) + u_{r2}) + g_{20}u_{r2} + d(t)) \end{aligned} \quad (42-6)$$

خطای تقریب حداقل و $\tilde{\theta}_2$ به صورت زیر در نظر گرفته می شود

$$w = g_{20}(\tau_D(\hat{X}_2|\theta_2^*) - \tau^*) + \Delta g_2(\tau_D(\hat{X}_2|\theta_2) + u_{r2}) + d(t) \quad (43-6)$$

$$\tilde{\theta}_2 = \hat{\theta}_2 - \theta_2^* \quad (44-6)$$

در نهایت با توجه به (43-6)، (44-6) و (42-6) معادله خطا به صورت زیر به دست می آید

$$\dot{\hat{E}}_2 = (A - BK^T)\hat{E}_2 - B(g_{20}\tilde{\theta}_2^T \eta(\hat{X}_2) + w + g_{20}u_{r2}) \quad (45-6)$$

بعلاوه فرض می شود که $|w| < q_{m2}$ که در آن q_{m2} یک ثابت نامعلوم می باشد.

۶-۲-۴- تحلیل پایداری قانون کنترل و قوانین تطبیق زیرسیستم دوم

برای سیستم (۱۵-۶) تابع لیپانوف زیر پیشنهاد می شود

$$V_2 = \frac{1}{2} \hat{E}_2^T P_2 \hat{E}_2 + \frac{1}{2\gamma_2} \tilde{\theta}_2^T \tilde{\theta}_2 + \frac{1}{2\gamma_{q2}} \tilde{q}_2^2 \quad (46-6)$$

که در آن $\hat{q}_2 = q_{m2} - \tilde{q}_2$ و تخمین w است و همچنین ماتریس P_2 معین مثبت متقارن می-

باشد. با مشتق گیری از (۱۶-۶) داریم:

$$\begin{aligned} \dot{V}_2 = & \frac{1}{2} \dot{\hat{E}}_2^T P_2 \hat{E}_2 + \frac{1}{2} \hat{E}_2^T P_2 \dot{\hat{E}}_2 + \frac{1}{\gamma_2} \tilde{\theta}_2^T \dot{\tilde{\theta}}_2 + \frac{1}{\gamma_{q2}} \tilde{q}_2 \dot{\tilde{q}}_2 \\ = & \frac{1}{2} \hat{E}_2^T (A_s^T P_2 + P_2 A_s) \hat{E}_2 + \hat{E}_2^T P_2 B (g_{20} \tilde{\theta}_2^T \eta(\hat{X}_2) + w + g_{20} u_{r2}) \\ & - \frac{1}{\gamma_2} \tilde{\theta}_2^T \dot{\tilde{\theta}}_2 - \frac{1}{\gamma_{q2}} \tilde{q}_2 \dot{\tilde{q}}_2 \end{aligned} \quad (47-6)$$

که در آن $A_s = A - BK^T$ و ماتریس P_2 به صورت زیر انتخاب می شود

$$A_s^T P_2 + P_2 A_s = -Q_2 \quad (48-6)$$

که در آن Q_2 یک ماتریس معین مثبت متقارن می باشد. در نتیجه داریم:

$$\begin{aligned} \dot{V}_2 = & -\frac{1}{2}\hat{E}_2^T Q_2 \hat{E}_2 + \hat{E}_2^T P_2 B (g_{20} \tilde{\theta}_2^T \eta(\hat{X}_2) + w + g_{20} u_{r2}) - \frac{1}{\gamma_2} \tilde{\theta}_2^T \dot{\hat{\theta}}_2 \\ & - \frac{1}{\gamma_{q2}} \tilde{q}_2 \dot{\hat{q}}_2 \end{aligned} \quad (49-6)$$

با انتخاب قواعد تطبیق به صورت زیر

$$\dot{\hat{\theta}}_2 = \gamma_2 \hat{E}_2^T P_2 B g_{20} \eta(\hat{X}_2) \quad (50-6)$$

$$\dot{\hat{q}}_2 = \gamma_{q2} |\hat{E}_2^T P_2 B| \quad (51-6)$$

$$u_{r2} = -\frac{\hat{q}_2}{g_{20}} \text{sgn}(\hat{E}_2^T P_2 B) \quad (52-6)$$

و با ساده سازی (49-6) به صورت زیر داریم:

$$\begin{aligned} \dot{V}_2 = & -\frac{1}{2}\hat{E}_2^T Q_2 \hat{E}_2 + \tilde{\theta}_2^T (\hat{E}_2^T P_2 B g_{20} \eta(\hat{X}_2) - \frac{1}{\gamma_2} \dot{\hat{\theta}}_2) + \hat{E}_2^T P_2 B (g_{20} u_{r2} \\ & + w) - \frac{1}{\gamma_{q2}} \tilde{q}_2 \dot{\hat{q}}_2 \end{aligned} \quad (53-6)$$

با جایگذاری (50-6) در (53-6) نتیجه می شود:

$$\dot{V}_2 = -\frac{1}{2}\hat{E}_2^T Q_2 \hat{E}_2 + \hat{E}_2^T P_2 B (g_{20} u_{r2} + w) - \frac{1}{\gamma_{q2}} \tilde{q}_2 \dot{\hat{q}}_2 \quad (54-6)$$

در ادامه با جایگذاری (51-6) و (52-6) در (54-6) داریم:

$$\begin{aligned} \dot{V}_2 = & -\frac{1}{2}\hat{E}_2^T Q_2 \hat{E}_2 - \hat{q}_2 |\hat{E}_2^T P_2 B| + \hat{E}_2^T P_2 B w - (q_{m2} - \hat{q}_2) |\hat{E}_2^T P_2 B| \\ = & -\frac{1}{2}\hat{E}_2^T Q_2 \hat{E}_2 + \hat{E}_2^T P_2 B w - q_{m2} |\hat{E}_2^T P_2 B| \\ \leq & -\frac{1}{2}\hat{E}_2^T Q_2 \hat{E}_2 + |\hat{E}_2^T P_2 B| |w| - q_{m2} |\hat{E}_2^T P_2 B| \\ = & -\frac{1}{2}\hat{E}_2^T Q_2 \hat{E}_2 + |\hat{E}_2^T P_2 B| (|w| - q_{m2}) \end{aligned} \quad (55-6)$$

با توجه به فرض $|w| < q_{m2}$ ، عبارت $|\hat{E}_2^T P_2 B| (|w| - q_{m2})$ همواره منفی می باشد و در بدترین

حالت با جایگذاری $|w| = q_{m2}$ در رابطه (55-6) نتیجه می شود

$$\dot{V}_2 = -\frac{1}{2}\hat{E}_2^T Q_2 \hat{E}_2 \leq -\frac{1}{2} \lambda_{\min}(Q_2) \|\hat{E}_2\|^2 \quad (56-6)$$

در نتیجه برای معادلات کامل سیستم گوی و میله تابع لیاپانوف زیر پیشنهاد می گردد

$$V = V_1 + V_2 = \frac{1}{2} \hat{E}_1^T P_1 \hat{E}_1 + \frac{1}{2} \hat{E}_2^T P_2 \hat{E}_2 + \frac{1}{2\gamma_1} \tilde{\theta}_1^T \tilde{\theta}_1 + \frac{1}{2\gamma_{q1}} \tilde{q}_1^2 + \frac{1}{2\gamma_2} \tilde{\theta}_2^T \tilde{\theta}_2 + \frac{1}{2\gamma_{q2}} \tilde{q}_2^2 \quad (57-6)$$

که در آن V_1 و V_2 از روابط (16-6) و (46-6) جایگذاری شده‌اند و چون V_1 و V_2 همواره مثبت می‌باشند در نتیجه با توجه به (57-6)، V هم مثبت معین می‌باشد. در ادامه از (57-6) مشتق گرفته و داریم:

$$\dot{V} = \dot{V}_1 + \dot{V}_2 \quad (58-6)$$

با جایگذاری (23-6) و (56-6) در (52-6) داریم:

$$\dot{V} = -\frac{1}{2} \hat{E}_1^T Q_1 \hat{E}_1 - \frac{1}{2} \hat{E}_2^T Q_2 \hat{E}_2 \leq -\frac{1}{2} \lambda_{\min}(Q_1) \|\hat{E}_1\|^2 - \frac{1}{2} \lambda_{\min}(Q_2) \|\hat{E}_2\|^2 \quad (59-6)$$

با تعریف $\hat{E} = [\hat{E}_1^T \ \hat{E}_2^T]^T$ و همچنین β به صورتی که

$$\beta = \min\{\lambda_{\min}(Q_1), \lambda_{\min}(Q_2)\} \quad (60-6)$$

داریم:

$$\dot{V} \leq -\frac{1}{2} \beta \|\hat{E}\|^2 \quad (61-6)$$

با انتگرال‌گیری از (61-6) داریم

$$\int_0^\infty \|\hat{E}\|^2 dt \leq \frac{V(0) - V(\infty)}{\frac{1}{2}\beta} \quad (62-6)$$

با توجه به (61-6) داریم

$$V(t) \leq V(0) \quad (63-6)$$

همچنین با توجه به (55-6)، $\|\hat{E}\|$ موجود و محدود است یعنی $\hat{E}(t) \in L_2$. از طرفی با توجه به (6-6)

(57) می‌توان نتیجه گرفت که $\hat{E}_1(t) \in L_\infty$ ، $\hat{E}_2(t) \in L_\infty$ و همچنین $q_1, q_2, \theta_1, \theta_2$ نیز محدود

می‌باشند. از معادله‌های (15-6) و (42-6) نتیجه می‌شود که $\hat{E}(t) \in L_\infty$ و این مورد نشان

می‌دهد $\hat{E}(t)$ یکنواخت پیوسته است. در نتیجه با استفاده از لم باربالات داریم:

$$\lim_{t \rightarrow \infty} \hat{E}(t) = 0 \quad (۶۴-۶)$$

در نتیجه $\hat{X} \in L_\infty$ خواهد بود.

۳-۶- شبیه‌سازی کنترل کننده پسگام فازی تطبیقی مستقیم

۱-۳-۶- مقادیر پارامترها و شرایط اولیه

جهت بررسی عملکرد کنترل کننده پسگام، کنترل کننده طراحی شده را بر روی سیستم گوی و میله شبیه‌سازی کرده و در ادامه مورد بررسی قرار می‌گیرد. مقادیر پارامترهای مورد استفاده در این سیستم در جدول (۱-۴) درج شده است.

توابع عضویت هر کدام از سیستم‌های فازی به صورت زیر در نظر گرفته شده است.

$$\mu_{A_1}^1(x_1) = \frac{1}{1 + e^{5(x_1+1)}} \quad (۶۵-۶)$$

$$\mu_{A_1}^2(x_1) = \frac{1}{1 + e^{-(x_1^2)}} \quad (۶۶-۶)$$

$$\mu_{A_1}^3(x_1) = \frac{1}{1 + e^{-5(-x_1-1)}} \quad (۶۷-۶)$$

همچنین پارامترهای مورد نیاز برای تنظیم کنترل کننده پسگام، فازی و مشاهده گر طراحی شده، مطابق جدول (۱-۵) و جدول (۱-۳) می‌باشد و پارامترهای تنظیم کنترل کننده فازی تطبیقی مستقیم نیز مطابق جدول (۱-۶) می‌باشد.

جدول (۱-۶) پارامترهای مورد نیاز کنترل کننده فازی تطبیقی مستقیم طراحی شده برای سیستم گوی و میله

پارامترهای بخش فازی تطبیقی مستقیم زیرسیستم اول	مقدار	پارامترهای بخش فازی تطبیقی مستقیم زیرسیستم دوم	مقدار
γ_1	0.001	γ_2	0.005
γ_{q_1}	0.05	γ_{q_2}	0.01
g_1	7	g_{20}	0.0001
$\hat{\theta}_1(0)$	$[0.1 \dots 0.1]_{1 \times 9}$	$\hat{\theta}_2(0)$	$[0.01 \dots 0.01]_{1 \times 9}$
$\hat{q}(0)$	0	$\hat{q}(0)$	0

که در آن $\hat{\theta}_i(0)$ و $\hat{q}(0)$ به ترتیب بیانگر شرایط اولیه $\hat{\theta}_i$ و \hat{q} می‌باشد.

در ادامه برای بررسی عملکرد کنترل کننده طراحی شده، نتایج شبیه سازی روش ارائه شده با روش فازی تطبیقی سطح لغزشی که در [35] ارائه شد، مقایسه می شود. برای اینکه مقایسه در شرایط یکسان انجام پذیرد، شرایط اولیه متغیرهای حالت سیستم اصلی و مشاهده گر در هر دو روش به صورت زیر در نظر گرفته می شود.

$$X(0) = [0.1 \ 0.01 \ 0 \ 0.1] \quad (۶۸-۶)$$

$$\hat{X}(0) = [0.1 \ 0 \ 0 \ 0] \quad (۶۹-۶)$$

همچنین از دو ورودی مرجع ثابت و سینوسی برای مقایسه استفاده شده است. مدل مرجع نیز به صورت زیر انتخاب شده است.

$$G(s) = \frac{1}{s^2 + 2s + 1} \quad (۷۰-۶)$$

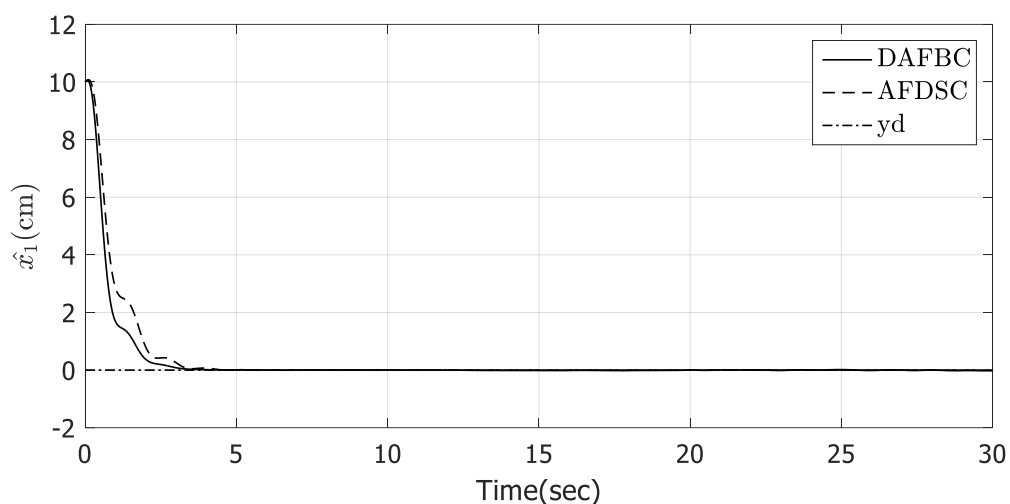
در همه شبیه سازی های انجام شده در این بخش زمان شبیه سازی ۳۰ ثانیه در نظر گرفته شده و همچنین به جای تابع $sgn(x)$ از $sat(\frac{x}{0.1})$ استفاده شده است.

۶-۳-۲- ورودی مرجع ثابت

در این بخش ورودی مرجع را صفر در نظر گرفته و به عبارتی، رگولاسیون مورد بررسی قرار می گیرد.

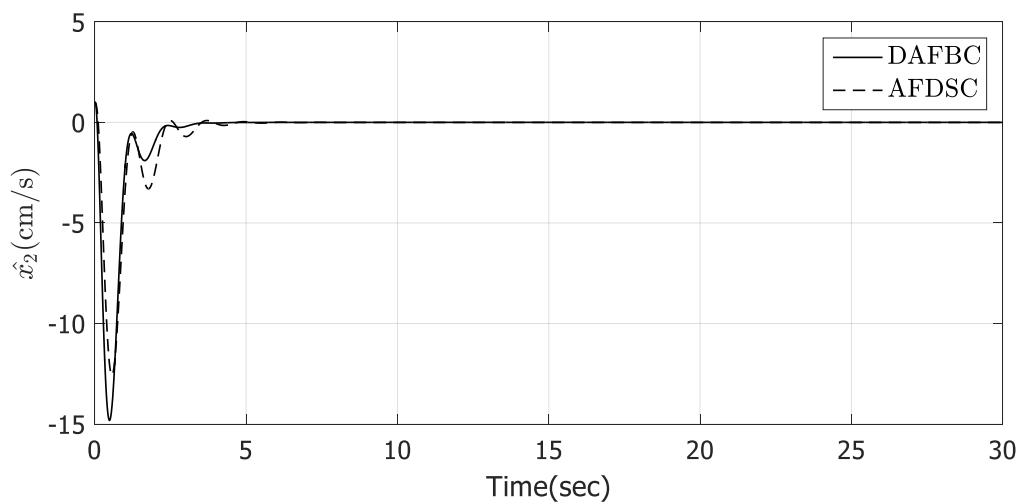
$$y_d = 0 \quad (۷۱-۶)$$

پس از شبیه سازی، در شکل (۱-۶) موقعیت گوی بر حسب سانتی متر، در شکل (۲-۶) سرعت گوی بر حسب سانتی متر بر ثانیه، در شکل (۳-۶) زاویه میله بر حسب درجه، در شکل (۴-۶) سرعت زاویه ای میله بر حسب درجه بر ثانیه، در شکل (۵-۶) قانون کنترل اعمالی به سیستم بر حسب میلی نیوتون متر و در شکل (۶-۶) نمودار خطای ردگیری خروجی بر حسب سانتی متر نشان داده شده است.



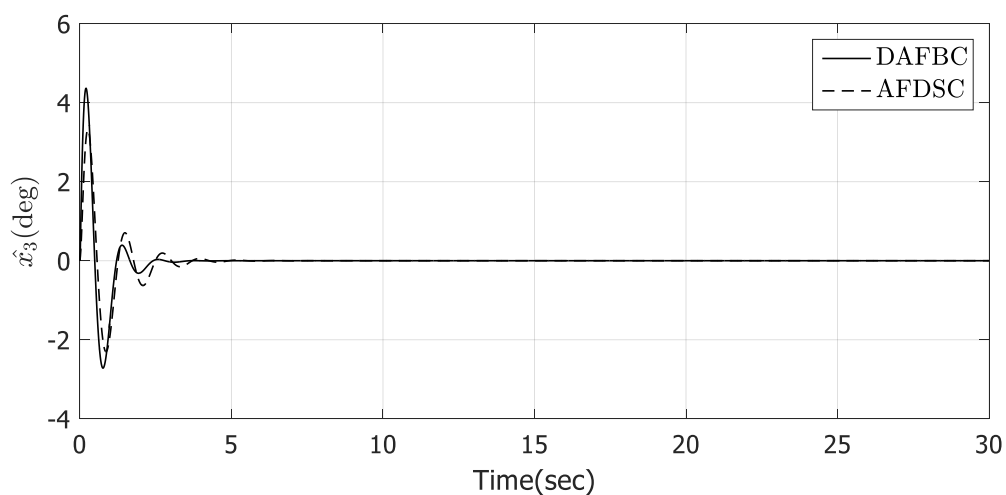
شکل (۱-۶) مقایسه موقعیت گوی برحسب سانتی متر در هر دو روش

همان طور که در شکل (۱-۶) مشخص است عملکرد روش ارائه شده در این پایان نامه بهتر بوده و سریعتر به مقدار اصلی همگرا شده و ورودی مرجع را دنبال کرده است.



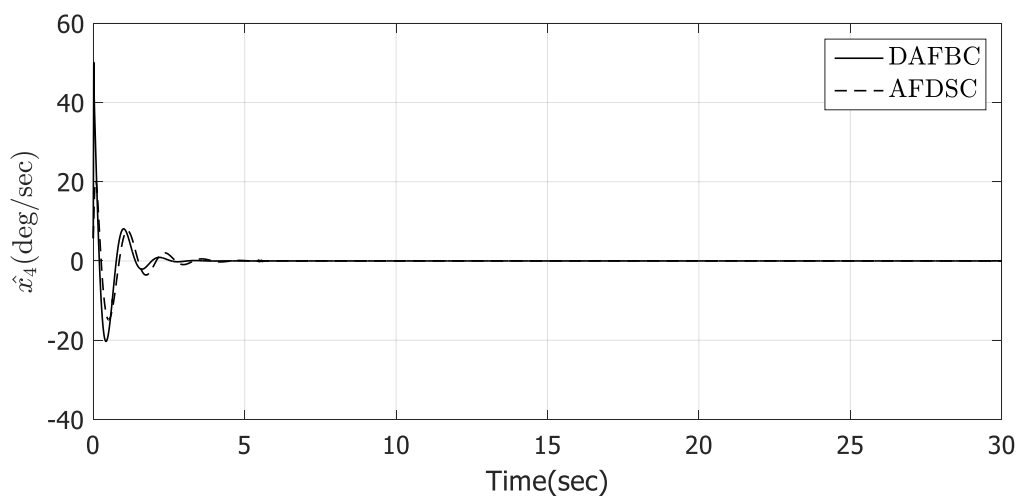
شکل (۲-۶) مقایسه سرعت گوی برحسب سانتی متر بر ثانیه در هر دو روش

همان طور که در شکل (۲-۶) مشخص می‌باشد سرعت گوی در روش ارائه شده در این مقاله نوسان کمتری دارد و همچنین دامنه تغییرات سرعت گوی نیز کمتر می‌باشد.



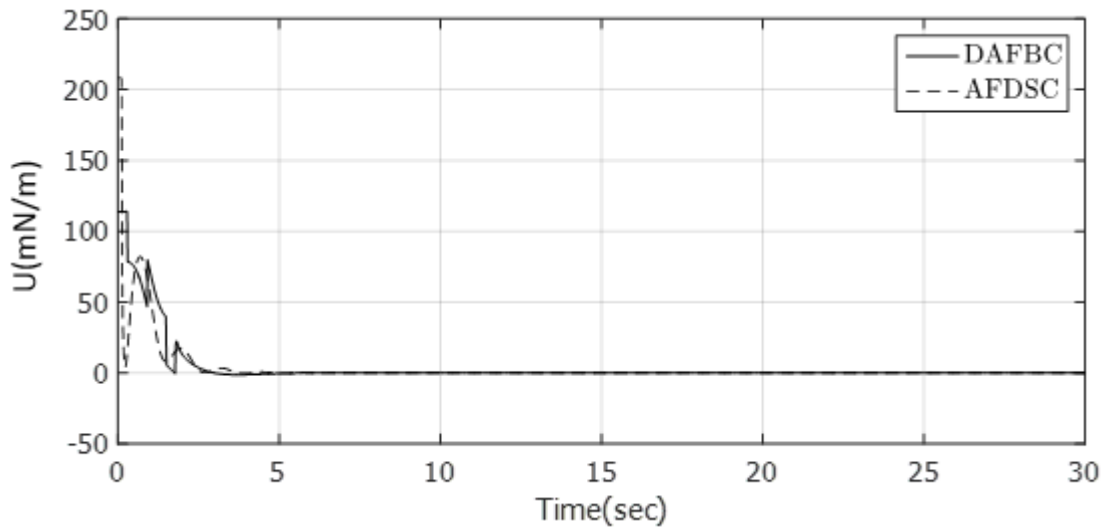
شکل (۳-۶) مقایسه زاویه میله برحسب درجه در هر دو روش

با توجه به شکل (۳-۶) تغییرات زاویه میله در روش پایان نامه کمتر از روش مورد مقایسه بوده و همچنین دامنه تغییرات نیز کمتر می باشد.



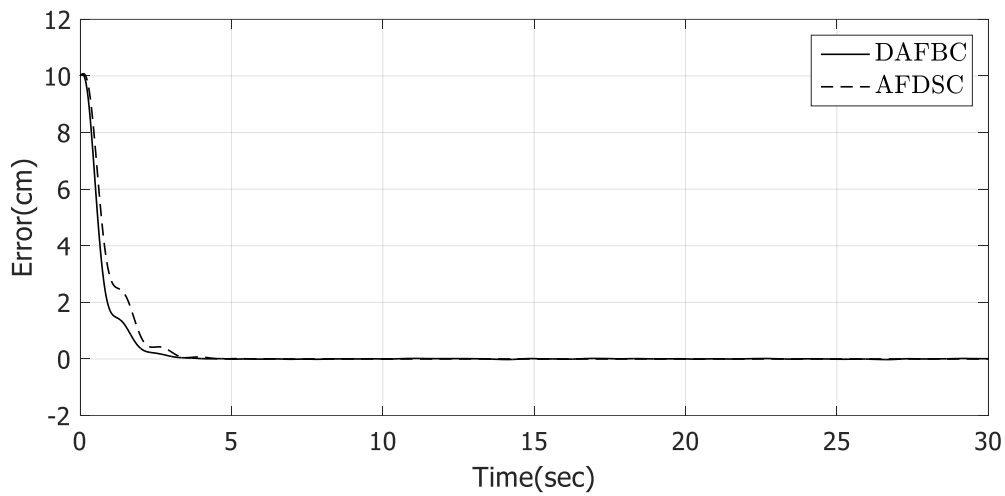
شکل (۴-۶) مقایسه سرعت زاویه ای میله برحسب درجه بر ثانیه در هر دو روش

در شکل (۴-۶) سرعت زاویه ای میله در دو روش با یکدیگر مقایسه شده است و عملکرد دو روش در این بخش تقریباً یکسان می باشد اما سرعت تغییرات در روش ارائه شده کمی کمتر می باشد.



شکل (۵-۶) مقایسه ورودی کنترل برحسب میلی نیوتون متر در هر دو روش

در شکل (۵-۶) هم ورودی کنترل دو روش مقایسه شده است که نتایج برحسب میلی نیوتون متر می‌باشند.



شکل (۶-۶) مقایسه نمودار خطا در هر دو روش

همان‌طور که در شکل (۶-۶) مشخص می‌باشد، نمودار خطای ردیابی در روش ارائه‌شده در این پایان‌نامه در زمان کوتاه‌تری صفر شده و خروجی را دنبال می‌کند.

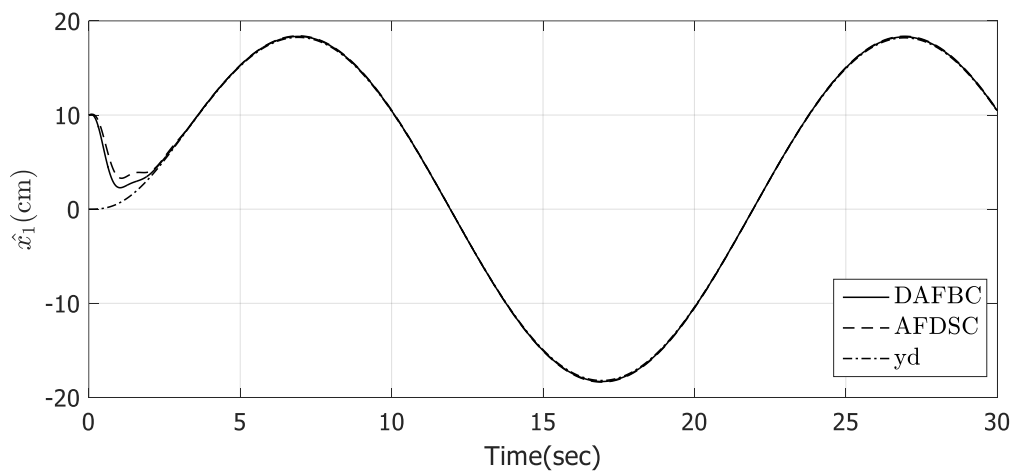
۶-۳-۳- ورودی مرجع سینوسی

در این بخش ورودی مرجع را به صورت یک سیگنال سینوسی با دامنه ۰٫۲ و دوره تناوب ۲۰ ثانیه

در نظر گرفته و پس از عبور از مدل مرجع ارائه شده در (۴-۳۸) به سیستم اعمال شده است.

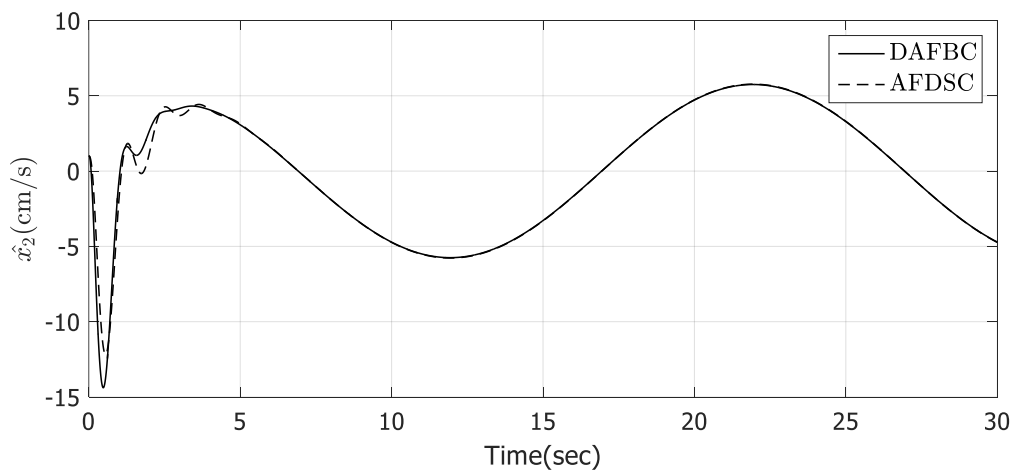
$$Y_d = 0.2\sin\left(\frac{\pi}{10}t\right) \quad (۶-۷۲)$$

پس از شبیه سازی، در شکل (۶-۷) موقعیت گوی برحسب سانتی متر، در شکل (۶-۸) سرعت گوی برحسب سانتی متر بر ثانیه، در شکل (۶-۹) زاویه میله برحسب درجه، در شکل (۶-۱۰) سرعت زاویه ای میله برحسب درجه بر ثانیه، در شکل (۶-۱۱) قانون کنترل اعمالی به سیستم برحسب میلی نیوتون متر و در شکل (۶-۱۲) نمودار خطای ردگیری خروجی نشان داده شده است.



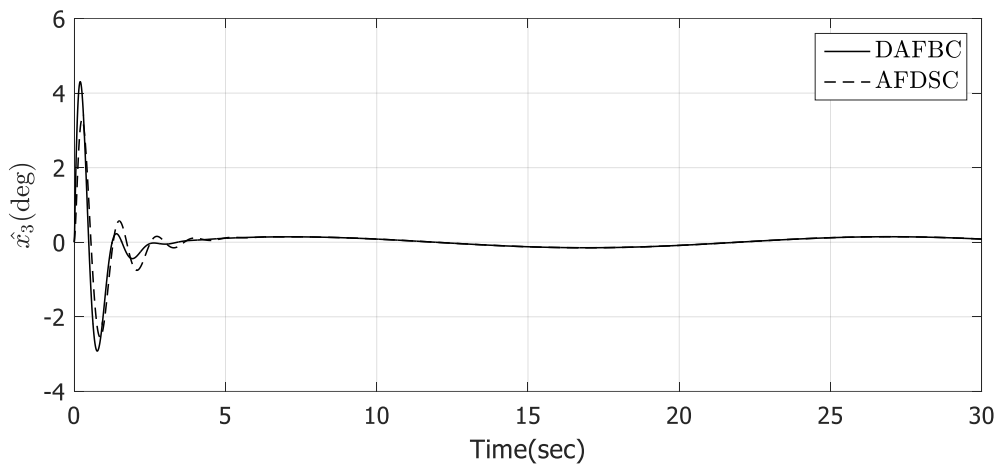
شکل (۶-۷) مقایسه موقعیت گوی برحسب سانتی متر در هر دو روش

همان طور که در شکل (۶-۷) مشخص است عملکرد ارائه شده در این پایان نامه بهتر می باشد و همچنین سیگنال خروجی زودتر به مقدار اصلی همگرا شده و ورودی مرجع را دنبال کرده است.



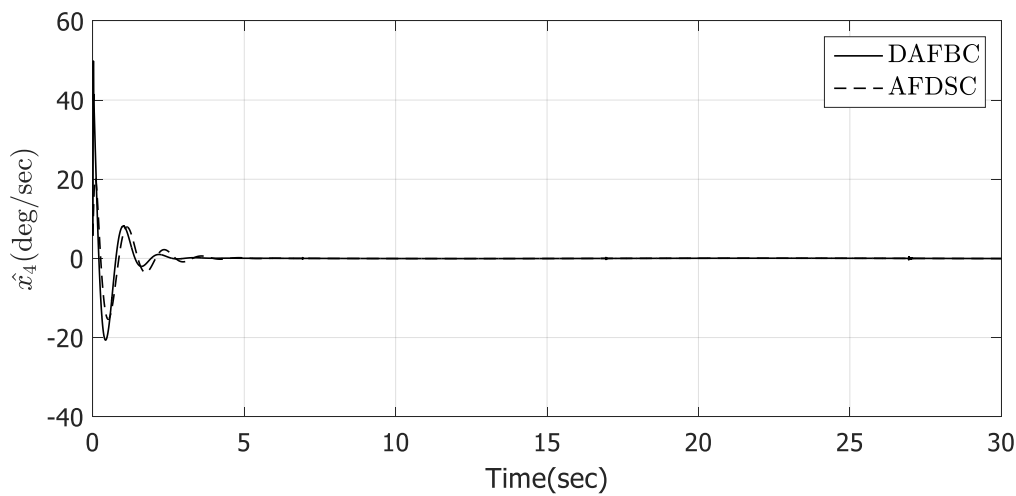
شکل (۸-۶) مقایسه سرعت گوی برحسب سانتی متر بر ثانیه در هر دو روش

در شکل (۸-۶) سرعت گوی در هر لحظه نشان داده شده است و نوسانات روش ارائه شده در این پایان نامه کمتر از روش مورد مقایسه می باشد و به این دلیل که ورودی مرجع سینوسی می باشد، در نتیجه گوی دائما به سمت چپ و راست مرکز میله تغییر مکان می دهد و به همین دلیل نمودار سرعت میله تغییرات سینوسی دارد.



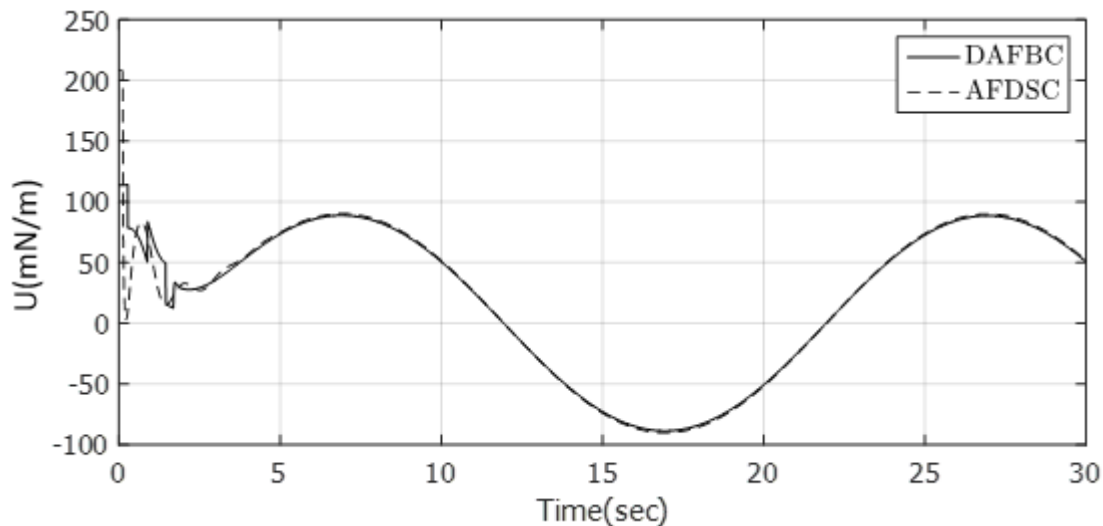
شکل (۹-۶) مقایسه زاویه میله برحسب درجه در هر دو روش

در شکل (۹-۶) نیز زاویه میله نشان داده شده است و تغییرات زاویه و همچنین دامنه تغییرات در روش ارائه شده در این پایان نامه بهتر از روش مورد مقایسه می باشد.



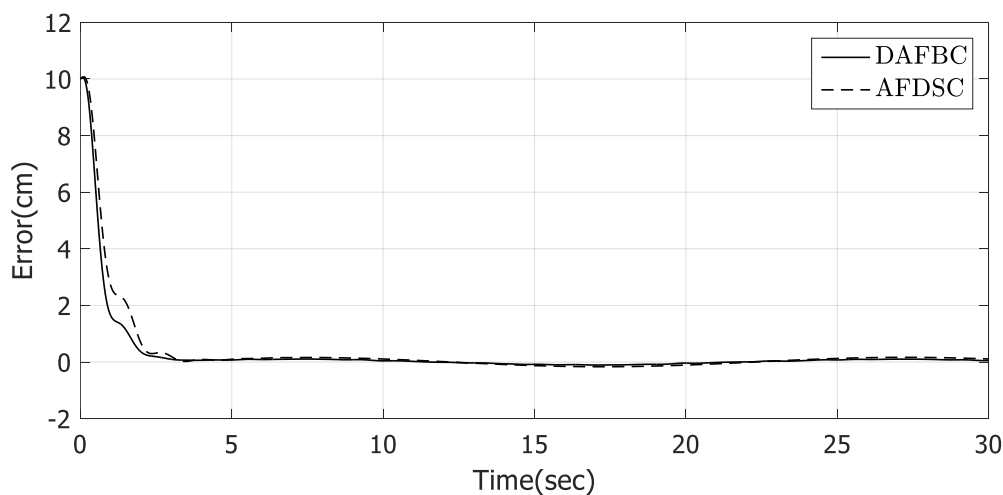
شکل (۱۰-۶) مقایسه سرعت زاویه ای برحسب درجه بر ثانیه در هر دو روش

در شکل (۶-۱۰) نیز سرعت زاویه‌ای میله در هر دو روش با یکدیگر مقایسه شده است که تغییرات روش پایان‌نامه سریع‌تر صفر می‌شود.



شکل (۶-۱۱) مقایسه ورودی کنترل بر حسب میلی نیوتون متر در هر دو روش

همان‌طور که در شکل (۶-۱۱) مشخص می‌باشد، ورودی کنترل در هر دو روش پس از مدتی که خروجی به مرجع همگرا شد، شبیه سیگنال سینوسی شده است و این امر به دلیل ورودی مرجع سینوسی می‌باشد.



شکل (۶-۱۲) مقایسه نمودار خطا بر حسب سانتی متر در هر دو روش

با توجه به شکل (۶-۱۲) مشخص است که خطای در روش پایان‌نامه زودتر صفر شده و همچنین با

خطای کمتری نیز خروجی را دنبال می‌کند در صورتی که خطا در روش مقاله مورد مقایسه، به مقدار

کمی نوسان دارد.

فصل ۷: نتیجه‌گیری و پیشنهادات

۷-۱- نتیجه گیری

در این پایان نامه، کنترل کننده پسگام فازی تطبیقی به دو روش مستقیم و غیرمستقیم برای سیستم گوی و میله با استفاده از فیدبک خروجی طراحی شد. بدین ترتیب که ابتدا یک مشاهده گر برای سیستم طراحی شده و سپس با استفاده از تخمین حالت های سیستم، کنترل پسگام فازی تطبیقی به انجام می رسد. در ادامه یک کنترل کننده پسگام برای سیستم طراحی شده است و نتایج شبیه سازی نشان از عملکرد مناسب کنترل کننده طراحی شده داشت. از آنجایی که مدل سازی سیستم های فیزیکی همواره با عدم قطعیت همراه است و همچنین کنترل کننده طراحی شده به روش پسگام نیازمند اطلاعات دینامیکی سیستم می باشد، از سیستم فازی تطبیقی برای تقریب دینامیک های سیستم استفاده شد. به همین دلیل در ادامه با استفاده از حالت های تخمین زده شده، کنترل کننده های پسگام فازی تطبیقی مستقیم و پسگام فازی تطبیقی غیرمستقیم برای سیستم گوی و میله ارائه شد. از آنجایی قوانین تطبیق سیستم فازی بر اساس نظریه لیاپانوف به دست آمده است، لذا پایداری روش های کنترلی با در نظر گرفتن خطای تقریب نیز اثبات شد. همچنین پایداری کنترل کننده و مشاهده گر ارائه شده نیز توسط تئوری لیاپانوف نشان داده شد. نتایج شبیه سازی نشان از عملکرد مناسب کنترل کننده های طراحی شده برای سیستم گوی و میله داشت. همچنین برای نشان دادن سرعت و دقت کنترل کننده، نتایج روش ارائه شده با روش فازی تطبیقی سطح لغزشی مقایسه شده است. همان طور که مشاهده شد در هر دو روش پسگام فازی تطبیقی مستقیم و پسگام فازی تطبیقی غیرمستقیم عملکرد کنترل کننده ها از روش فازی تطبیقی سطح لغزشی از نظر سرعت و دقت بهتر و این بهبود در روش پسگام فازی تطبیقی غیرمستقیم بیشتر و ملموس تر بود.

۲-۷- پیشنهادات

در این قسمت برای انجام تحقیقات در آینده بر روی این مدل و همچنین بهتر شدن نتایج، پیشنهادهایی ارائه می‌شود که به شرح زیر می‌باشند.

- در این پایان‌نامه پارامترهای مشاهده‌گر و کنترل‌کننده در بخش پسگام و فازی تطبیقی به صورت سعی و خطا انتخاب شده است، در نتیجه استفاده از الگوریتم‌های هوشمند برای انتخاب این پارامترها می‌تواند منجر به بهبود عملکرد کنترل‌کننده شود.
- استفاده از سایر تقریب زنده‌های جامع مثل شبکه‌های عصبی فازی یا عصبی تطبیقی برای تقریب دینامیک‌های سیستم
- استفاده از سایر روش‌های کنترلی به جای کنترل پسگام و ترکیب آن با سیستم فازی تطبیقی
- طراحی یک مشاهده‌گر فازی تطبیقی برای سیستم گوی و میله

مراجع

- [1] J. Hauser, S. Sastry, and P. Kokotovic, "Nonlinear control via approximate input-output linearization: The ball and beam example," *IEEE transactions on automatic control*, vol. 37, pp. 392-398, 1992.
- [2] I. Fantoni and R. Lozano, *Non-linear control for underactuated mechanical systems*: Springer Science & Business Media, 2002.
- [3] J.-J. E. Slotine and W. Li, *Applied nonlinear control* vol. 199: prentice-Hall Englewood Cliffs, NJ, 1991.
- [4] M. Lai, C. Chien, C. Cheng, Z. Xu, and Y. Zhang, "Nonlinear tracking control via approximate backstepping," in *American Control Conference, 1994*, 1994, pp. 1339-1343.
- [5] B. Chang, H. Kwatny, and S.-S. Hu, "An application of robust feedback linearization to a ball and beam control problem," in *Control Applications, 1998. Proceedings of the 1998 IEEE International Conference on*, 1998, pp. 694-698.
- [6] D. Leith and W. Leithead, "Input-output linearisation of nonlinear systems with ill-defined relative degree: the ball and beam revisited," in *American Control Conference, 2001. Proceedings of the 2001*, 2001, pp. 2811-2816.
- [7] S. Uran and K. Jezernik, "Control of a ball and beam like mechanism," in *Advanced Motion Control, 2002. 7th International Workshop on*, 2002, pp. 376-380.
- [8] F. Gordillo, J. Aracil, and F. Gómez-Estern, "Stabilization of autonomous oscillations and the Hopf bifurcation in the ball and beam," in *Decision and Control, 2002, Proceedings of the 41st IEEE*

- Conference on, 2002, pp. 3924-3925.
- [9] Y. Guo, D. J. Hill, and Z.-P. Jiang, "Global nonlinear control of the ball and beam system," in *Decision and Control, 1996., Proceedings of the 35th IEEE Conference on*, 1996, pp. 2818-2823.
 - [10] C. Tomlin and S. S. Sastry, "Switching through singularities," *Systems & control letters*, vol. 35, pp. 145-154, 1998.
 - [11] W.-H. Chen and D. J. Ballance, "On a switching control scheme for nonlinear systems with ill-defined relative degree," *Systems & control letters*, vol. 47, pp. 159-166, 2002.
 - [12] F. Zhang and B. Fernandez-Rodriguez, "Feedback linearization control of systems with singularities: a ball-beam revisit," in *Proc. of the Int. Conf. on Complex Systems*, 2006.
 - [13] S. Spurgeon and X. Lu, "Output tracking using dynamic sliding mode techniques," *International Journal of Robust and Nonlinear Control*, vol. 7, pp. 407-427, 1997.
 - [14] R. M. Hirschorn, "Output tracking through singularities," *SIAM journal on control and optimization*, vol. 40, pp. 993-1010, 2002.
 - [15] R. M. Hirschorn, "Incremental sliding mode control of the ball and beam," *IEEE transactions on automatic control*, vol. 47, pp. 1696-1700, 2002.
 - [16] N. B. Almutairi and M. Zribi, "On the sliding mode control of a ball on a beam system," *Nonlinear dynamics*, vol. 59, pp. 221-238, 2010.
 - [17] J. Huang and C.-F. Lin, "Robust nonlinear control of the ball and beam system," in *American Control Conference, Proceedings of the 1995*, 1995, pp. 306-310.
 - [18] H.-K. Kim, D.-H. Lee, T.-Y. Kuc, and T.-C. Yi, "A backstepping design of adaptive robust learning controller for fast trajectory tracking of ball-beam dynamic systems," in *Systems, Man, and Cybernetics, 1996., IEEE International Conference on*, 1996, pp. 2311-2314.
 - [19] R. Olfati-Saber and A. Megretski, "Controller design for the beam-and-ball system," in *Decision and Control, 1998. Proceedings of the 37th IEEE Conference on*, 1998, pp. 4555-4560.
 - [20] F. Mazenc, A. Astolfi, and R. Lozano, "Lyapunov function for the ball and beam: robustness property," in *Decision and Control, 1999. Proceedings of the 38th IEEE Conference on*, 1999, pp. 1208-1213.
 - [21] H. Sira-Ramirez, "On the Control of the " Ball and Beam " System: A Trajectory Planning Approach r," 2000.
 - [22] Y. Jiang, C. McCorkell, and R. Zmood, "Application of neural networks for real time control of a ball-beam system," in *Neural Networks, 1995. Proceedings., IEEE International Conference on*, 1995, pp. 2397-2402.
 - [23] Q. Wang, M. Mi, G. Ma, and P. Spronck, "Evolving a neural controller

- for a ball-and-beam system," in *Machine Learning and Cybernetics, 2004. Proceedings of 2004 International Conference on*, 2004, pp. 757-761.
- [24] P. H. Eaton, D. V. Prokhorov, and D. C. Wunsch, "Neurocontroller alternatives for "fuzzy" ball-and-beam systems with nonuniform nonlinear friction," *IEEE transactions on Neural Networks*, vol. 11, pp. 423-435, 2000.
- [25] L.-C. Hung and H.-Y. Chung, "Decoupled control using neural network-based sliding-mode controller for nonlinear systems," *Expert Systems with Applications*, vol. 32, pp. 1168-1182, 2007.
- [26] J. S. Glower and J. Munighan, "Designing fuzzy controllers from a variable structures standpoint," *IEEE Transactions on Fuzzy Systems*, vol. 5, pp. 138-144, 1997.
- [27] J.-C. Lo and Y.-H. Kuo, "Decoupled fuzzy sliding-mode control," *IEEE Transactions on Fuzzy Systems*, vol. 6, pp. 426-435, 1998.
- [28] R. Ordonez, J. Zumberge, J. T. Spooner, and K. M. Passino, "Adaptive fuzzy control: experiments and comparative analyses," *IEEE Transactions on Fuzzy Systems*, vol. 5, pp. 167-188, 1997.
- [29] L.-X. Wang, "Stable and optimal fuzzy control of linear systems," *IEEE Transactions on Fuzzy Systems*, vol. 6, pp. 137-143, 1998.
- [30] W. Yu and F. Ortiz, "Stability analysis of PD regulation for ball and beam system," in *Proceedings of 2005 IEEE Conference on Control Applications, 2005. CCA 2005.*, 2005, pp. 517-522.
- [31] F. O. Rodriguez, W. Yu, R. L. Feregrino, and J. Serrano, "Stable PD control for ball and beam system," in *Proc. International Symposium on Robotics and Automation, Querétaro, México*, 2004, pp. 333-338.
- [32] A. T. Simmons and J. Y. Hung, "Hybrid control of systems with poorly defined relative degree: The ball-on-beam example," in *IEEE Industrial Electronics Society. Annual conference*, 2004.
- [33] L. Marton and B. Lantos, "Stable adaptive ball and beam control," in *2006 IEEE International Conference on Mechatronics*, 2006, pp. 507-512.
- [34] Y.-H. Chang, W.-S. Chan, C.-W. Chang, C.-H. Hsu, and C. Tao, "Adaptive fuzzy control for under-actuated ball and beam system with virtual state following," in *Proceedings of the 9th WSEAS international conference on Robotics, control and manufacturing technology*, 2009, pp. 136-141.
- [35] Y.-H. Chang, W.-S. Chan, C.-W. Chang, and C. Tao, "Adaptive fuzzy dynamic surface control for ball and beam system," *International Journal of Fuzzy Systems*, vol. 13, pp. 1-7, 2011.
- [36] W. Yuanyuan and L. Yongxin, "Fuzzy PID controller design and implement in Ball-Beam system," in *Control Conference (CCC), 2015 34th Chinese*, 2015, pp. 3613-3616.

- [37] K. Prasad and Y. Hote, "Optimal PID controller for Ball and Beam system," in *Recent Advances and Innovations in Engineering (ICRAIE), 2014*, 2014, pp. 1-5.
- [38] S. Zhou, G. Feng, and C.-B. Feng, "Robust control for a class of uncertain nonlinear systems: adaptive fuzzy approach based on backstepping," *Fuzzy Sets and systems*, vol. 151, pp. 1-20, 2005.
- [39] M. M. Polycarpou and M. J. Mears, "Stable adaptive tracking of uncertain systems using nonlinearly parametrized on-line approximators," *International journal of control*, vol. 70, pp. 363-384, 1998.
- [40] T.-S. Li, D. Wang, G. Feng, and S.-C. Tong, "A DSC approach to robust adaptive NN tracking control for strict-feedback nonlinear systems," *IEEE Transactions on Systems, Man, and Cybernetics, Part B (Cybernetics)*, vol. 40, pp. 915-927, 2010.
- [41] T.-P. Zhang, H. Wen, and Q. Zhu, "Adaptive fuzzy control of nonlinear systems in pure feedback form based on input-to-state stability," *IEEE Transactions on Fuzzy Systems*, vol. 18, pp. 80-93, 2010.
- [42] H. Ho, Y. Wong, and A. Rad, "Adaptive fuzzy approach for a class of uncertain nonlinear systems in strict-feedback form," *ISA transactions*, vol. 47, pp. 286-299, 2008.
- [43] Z. Ramezani, M. M. Arefi, H. Zargarzadeh, and M. R. Jahed-Motlagh, "Neuro-adaptive backstepping control of SISO non-affine systems with unknown gain sign," *ISA transactions*, vol. 65, pp. 199-209, 2016.
- [44] C.-S. Chen, "Robust self-organizing neural-fuzzy control with uncertainty observer for MIMO nonlinear systems," *IEEE Transactions on Fuzzy Systems*, vol. 19, pp. 694-706, 2011.
- [45] B. Chen, X. Liu, K. Liu, and C. Lin, "Novel adaptive neural control design for nonlinear MIMO time-delay systems," *Automatica*, vol. 45, pp. 1554-1560, 2009.
- [46] S. Mehraeen, S. Jagannathan, and M. L. Crow, "Decentralized dynamic surface control of large-scale interconnected systems in strict-feedback form using neural networks with asymptotic stabilization," *IEEE Transactions on Neural Networks*, vol. 22, pp. 1709-1722, 2011.
- [47] S. J. Yoo and J. B. Park, "Neural-network-based decentralized adaptive control for a class of large-scale nonlinear systems with unknown time-varying delays," *IEEE Transactions on Systems, Man, and Cybernetics, Part B (Cybernetics)*, vol. 39, pp. 1316-1323, 2009.
- [48] C.-C. Hua, Q.-G. Wang, and X.-P. Guan, "Adaptive fuzzy output-feedback controller design for nonlinear time-delay systems with unknown control direction," *IEEE Transactions on Systems, Man, and*

- Cybernetics, Part B (Cybernetics)*, vol. 39, pp. 363-374, 2009.
- [49] C. Hua, X. Guan, and P. Shi, "Robust output feedback tracking control for time-delay nonlinear systems using neural network," *IEEE Transactions on Neural Networks*, vol. 18, pp. 495-505, 2007.
- [50] S. Tong, T. Wang, Y. Li, and H. Zhang, "Adaptive neural network output feedback control for stochastic nonlinear systems with unknown dead-zone and unmodeled dynamics," *IEEE transactions on cybernetics*, vol. 44, pp. 910-921, 2014.
- [51] J. Yu, P. Shi, W. Dong, and H. Yu, "Observer and command-filter-based adaptive fuzzy output feedback control of uncertain nonlinear systems," *IEEE Transactions on Industrial Electronics*, vol. 62, pp. 5962-5970, 2015.
- [52] H. Wang and G.-H. Yang, "Dynamic output feedback controller design for affine T-S fuzzy systems with quantized measurements," *ISA transactions*, vol. 64, pp. 202-215, 2016.
- [53] Y.-J. Liu and N. Zhou, "Observer-based adaptive fuzzy-neural control for a class of uncertain nonlinear systems with unknown dead-zone input," *ISA transactions*, vol. 49, pp. 462-469, 2010.
- [54] S. Tong, Y. Li, and P. Shi, "Observer-based adaptive fuzzy backstepping output feedback control of uncertain MIMO pure-feedback nonlinear systems," *IEEE Transactions on Fuzzy Systems*, vol. 20, pp. 771-785, 2012.
- [55] R. Shahnazi, "Output feedback adaptive fuzzy control of uncertain MIMO nonlinear systems with unknown input nonlinearities," *ISA transactions*, vol. 54, pp. 39-51, 2015.
- [56] S. Tong, C. Liu, and Y. Li, "Fuzzy-adaptive decentralized output-feedback control for large-scale nonlinear systems with dynamical uncertainties," *IEEE Transactions on Fuzzy Systems*, vol. 18, pp. 845-861, 2010.
- [57] N. H. Jo, J. Jin, S. Joo, and J. Seo, "Generalized luenberger-like observer for nonlinear systems," in *American Control Conference, 1997. Proceedings of the 1997*, 1997, pp. 2180-2183.
- [58] N. H. Jo and J. H. Seo, "A state observer for nonlinear systems and its application to ball and beam system," *IEEE transactions on automatic control*, vol. 45, pp. 968-973, 2000.
- [59] P. Rapp, O. Sawodny, and C. Tarín, "An immersion and invariance based speed and rotation angle observer for the ball and beam system," in *2013 American Control Conference*, 2013, pp. 1069-1075.
- [60] H. Ye and H. Xu, "Global stabilization for ball-and-beam systems via state and partial state feedback," *JOURNAL OF INDUSTRIAL AND MANAGEMENT OPTIMIZATION*, vol. 12, pp. 17-29, 2016.
- [61] C. G. Bolívar-Vincenty and G. Beauchamp-Báez, "Modelling the Ball-and-Beam System From Newtonian Mechanics and from

Lagrange Methods," *12th Latin American and Caribbean Conference for Engineering and Technology*, July 22-24, 2014.

- [62] ع. خ. صدیق, "اصول کنترل مدرن," انتشارات دانشگاه تهران, ۱۳۸۶.
- [63] G. Hu, D. Aiken, S. Gupta, and W. E. Dixon, "Lyapunov-based range identification for paracatadioptric systems," *IEEE Transactions on Automatic Control*, vol. 53, pp. 1775-1781, 2008.
- [64] D. Chwa, A. Dani, H. Kim, and W. Dixon, "Camera motion estimation for 3-D structure reconstruction of moving objects," in *2012 IEEE International Conference on Systems, Man, and Cybernetics (SMC)*, 2012, pp. 1788-1793.
- [65] W. E. Dixon, Y. Fang, D. M. Dawson, and T. J. Flynn, "Range identification for perspective vision systems," *IEEE transactions on automatic control*, vol. 48, pp. 2232-2238, 2003.
- [66] P. V. Kokotovic, "The joy of feedback: nonlinear and adaptive," *IEEE Control Systems Magazine*, vol. 12, pp. 7-17, 1992.
- [67] وانگ, "سیستم های فازی و کنترل فازی," انتشارات دانشگاه صنعتی خواجه نصیرالدین طوسی ۱۳۸۹.

Abstract:

In this paper, both direct and indirect adaptive fuzzy backstepping control is provided for a ball and beam system utilizing output feedback. Firstly, a nonlinear velocity observer is designed for the system and then adaptive fuzzy backstepping control is accomplished by the system states estimate. A fuzzy system with adaptive mechanism should be used to estimate the dynamics of the system because modeling physical systems is always associated with uncertainty and also backstepping controller requires dynamic information system. For this reason, in the following, direct and indirect adaptive fuzzy backstepping controller is provided for the ball and beam system. The observer and control system stability are shown by the Lyapunov theory. Simulation results illustrate the proper functioning of the observer and also adaptive fuzzy backstepping control method on the ball and beam system. Also, the results of the proposed method are compared with an existing method in order to show the performance and accuracy of the controller.

Keywords: Ball and beam system; velocity observer; Adaptive fuzzy control; Backstepping control.



Faculty of Electrical Engineering and Robotic

M.Sc. Thesis in Control Engineering

An Adaptive Fuzzy control for a Ball and beam system

By: Faraz Rahbar

Supervisor:

Dr. Ali Akbarzadeh Kalat

February 2017